

# **Complexité des systèmes neuronaux : apport du traitement du signal et de la modélisation dans l'interprétation des activités épileptiques**

F. Wendling

**Laboratoire Traitement du Signal et de L'Image**  
INSERM U642 - Université de Rennes 1  
35042 Rennes - France

# Objectifs de ce cours

- Présenter une pathologie neurologique « l'épilepsie » dans laquelle les **signaux** acquis sur les patients occupent une place essentielle
- Montrer comment l'**articulation** entre **traitement du signal et modèles physiologiques** peut permettre de réaliser des progrès dans l'interprétation des observations
  - Introduire les **signaux** et les **systèmes neuronaux** générant ces signaux
  - Présenter une classe de **modèles décrivant ces systèmes neuronaux** (à une échelle donnée)

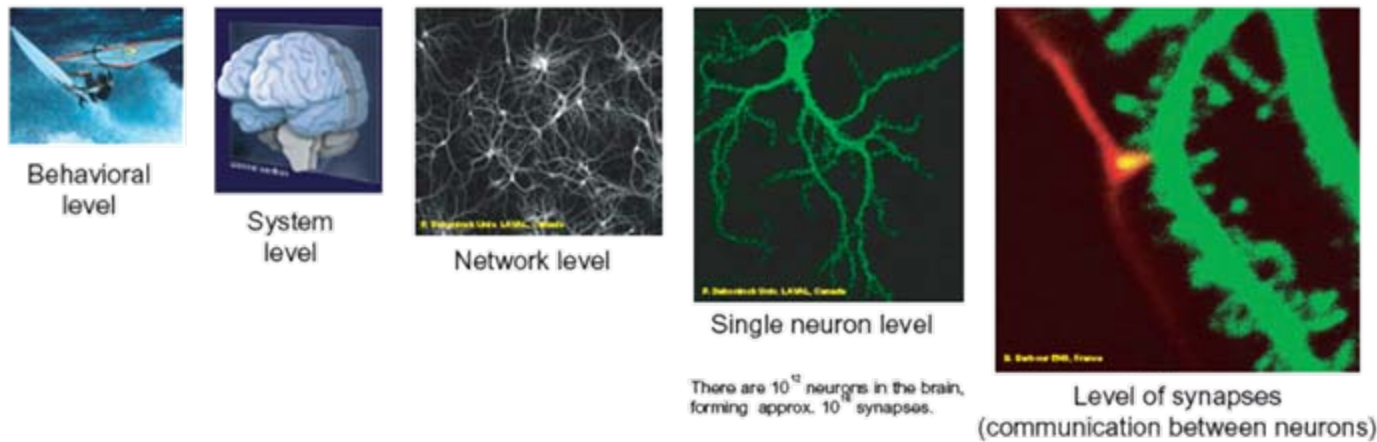
# Complexité des systèmes neuronaux : apport du traitement du signal et de la modélisation dans l'interprétation des activités épileptiques

F. Wendling

INSERM U642 - Université de Rennes 1  
Laboratoire Traitement du Signal et de L'Image  
35042 Rennes - France

# Systèmes neuronaux: différents niveaux d'étude

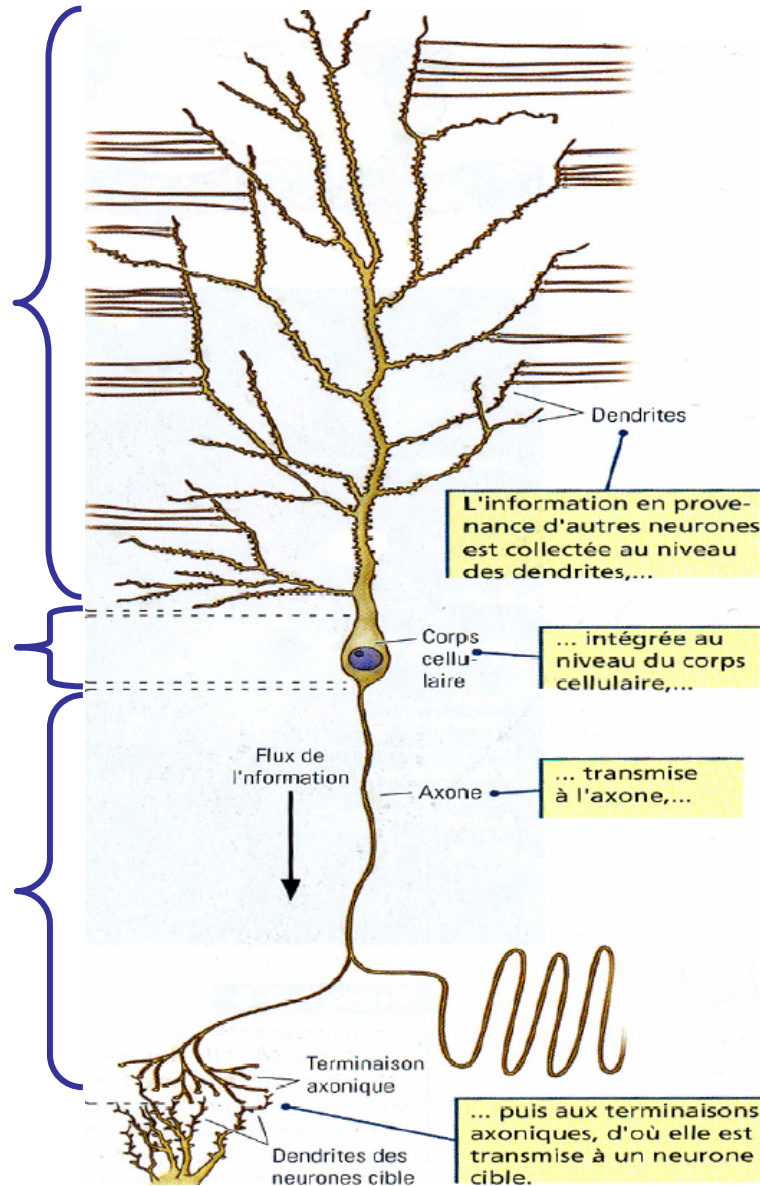
- **Moléculaire** (dynamique membranaire, chimie cellulaire)
- **Sous-cellulaire** (dendrite, axone, synapse)
- **Cellulaire** (neurone entier)
- **Réseaux ou groupes de neurones** (excitation, inhibition, dynamique de la plasticité entre 2 ou 3 neurones)
- **Assemblées de neurones** (colonne corticale, aire V1 de la vision, ...)
- **Système neuronal** (fonction cognitive, vision, olfaction, ou d'une unité organique identifiée, hypothalamus, hippocampe...)
- **Comportementale** (fonctions cognitives, comportements)



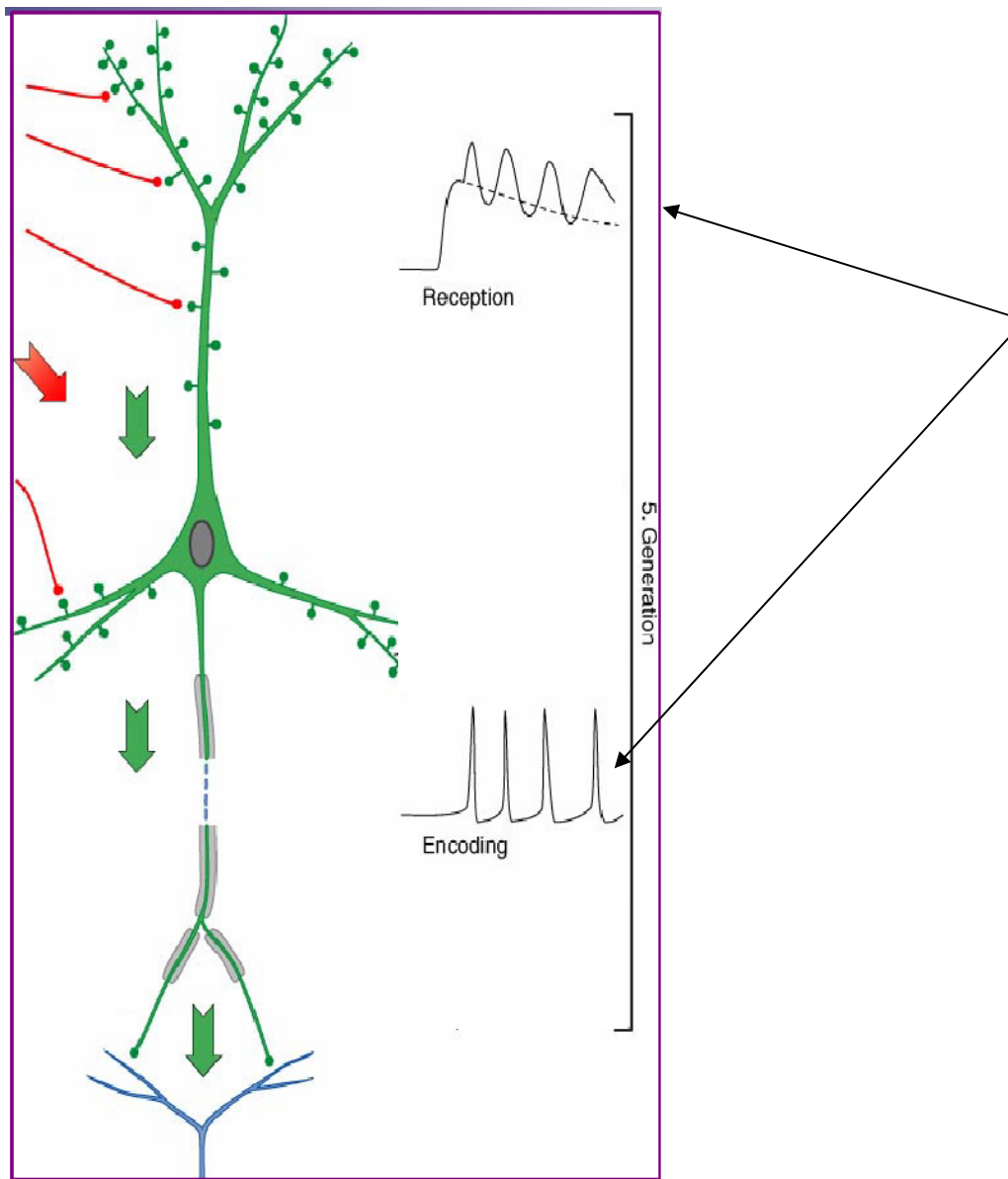
# « Brique de base » du SNC : le neurone

## Principales fonctions:

1. Collecter de l'information
2. Intégrer de l'information
3. Transmettre de l'information

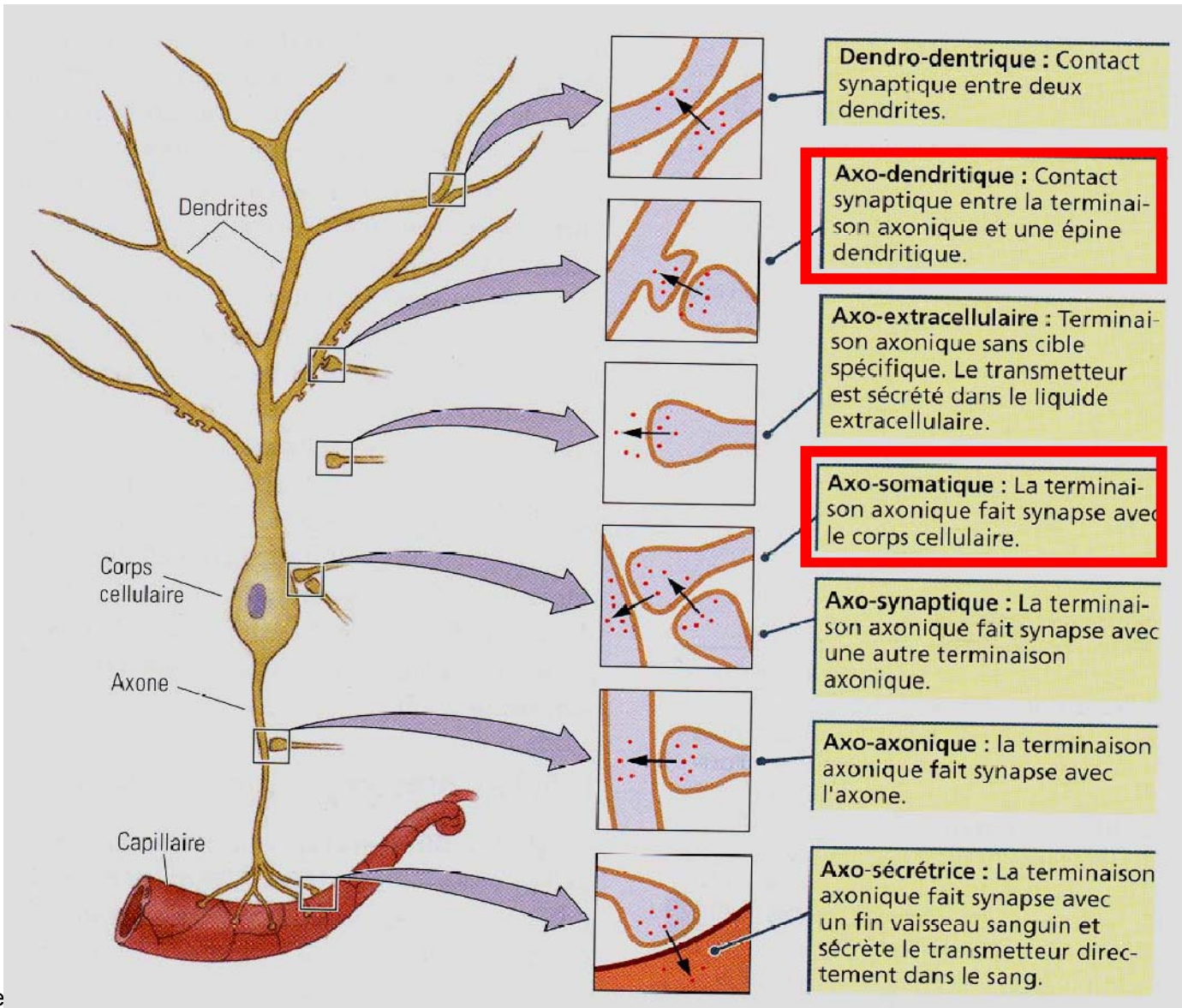


# Signaux neuronaux

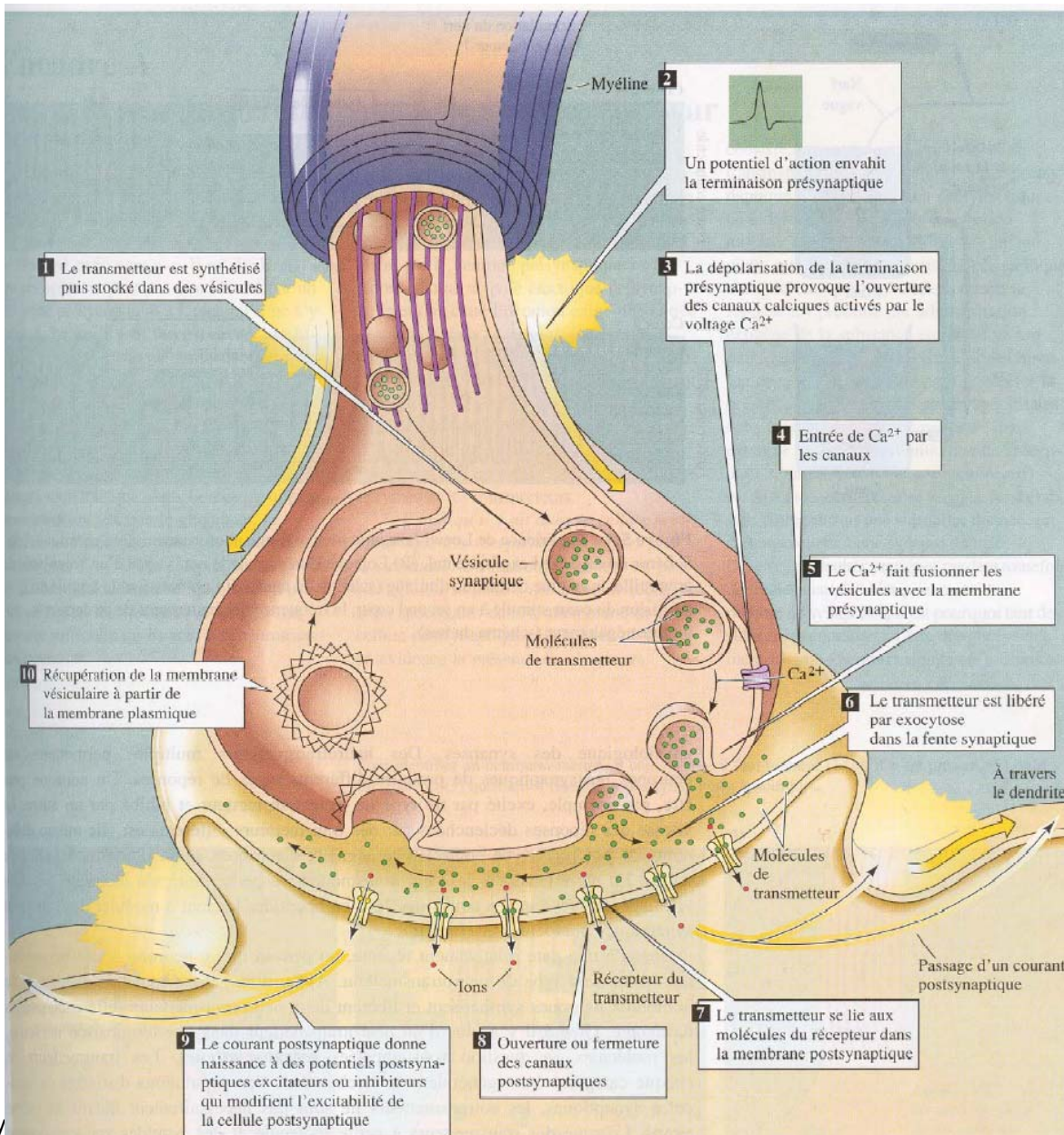


Les signaux enregistrés au niveau des dendrites et de l'axone sont différents

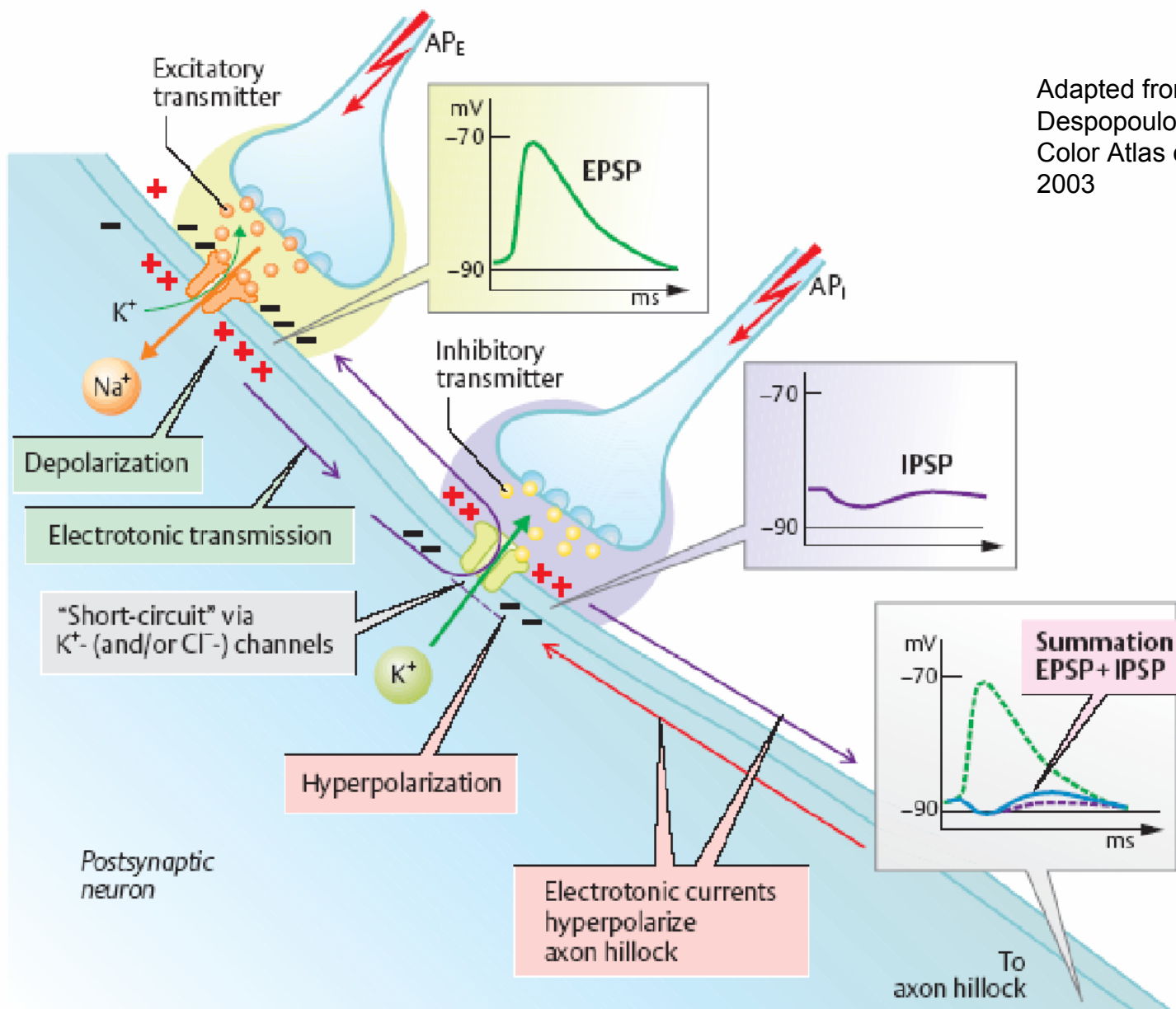
# Transmission synaptique



# Synapse

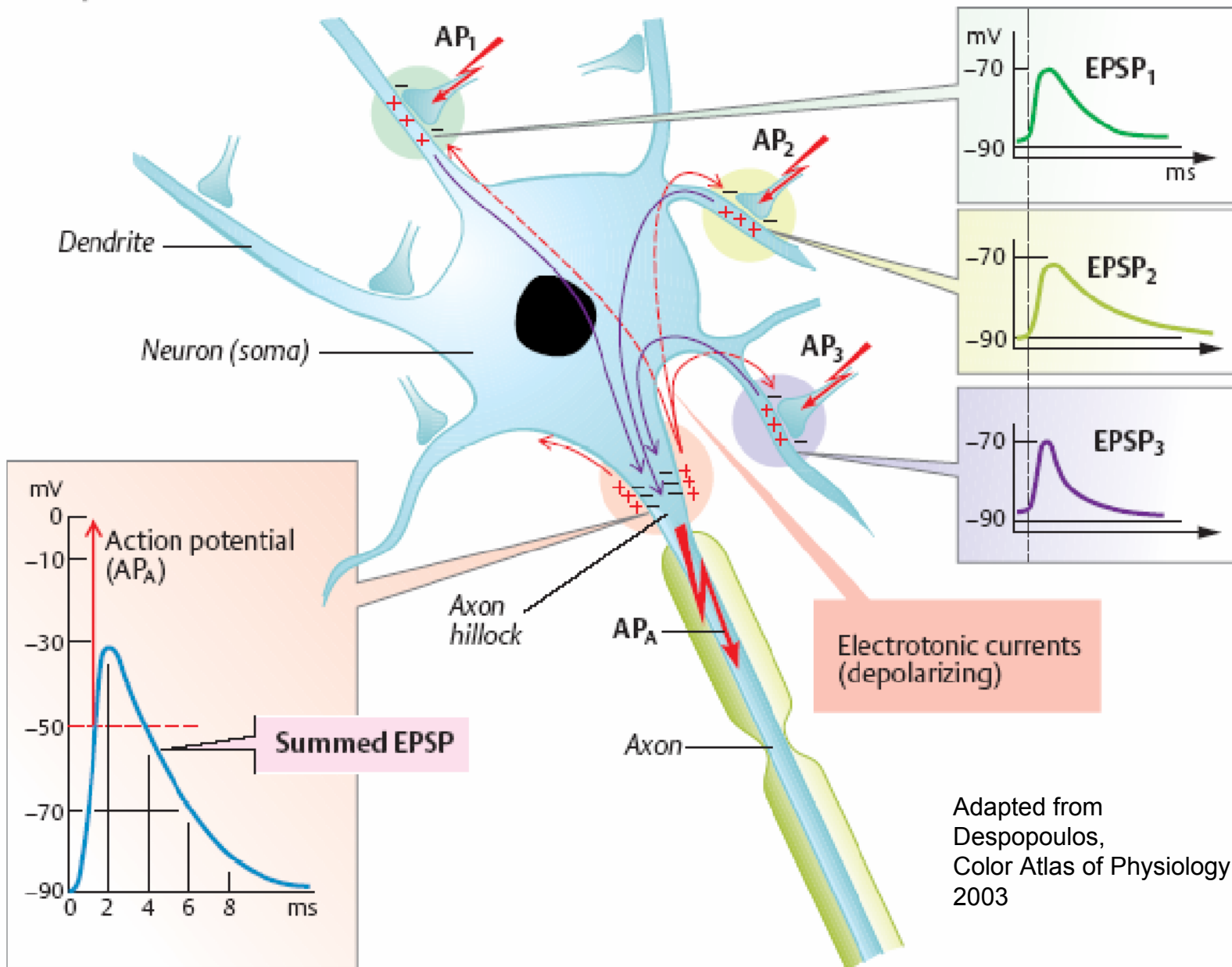


# Potentiels post-synaptiques

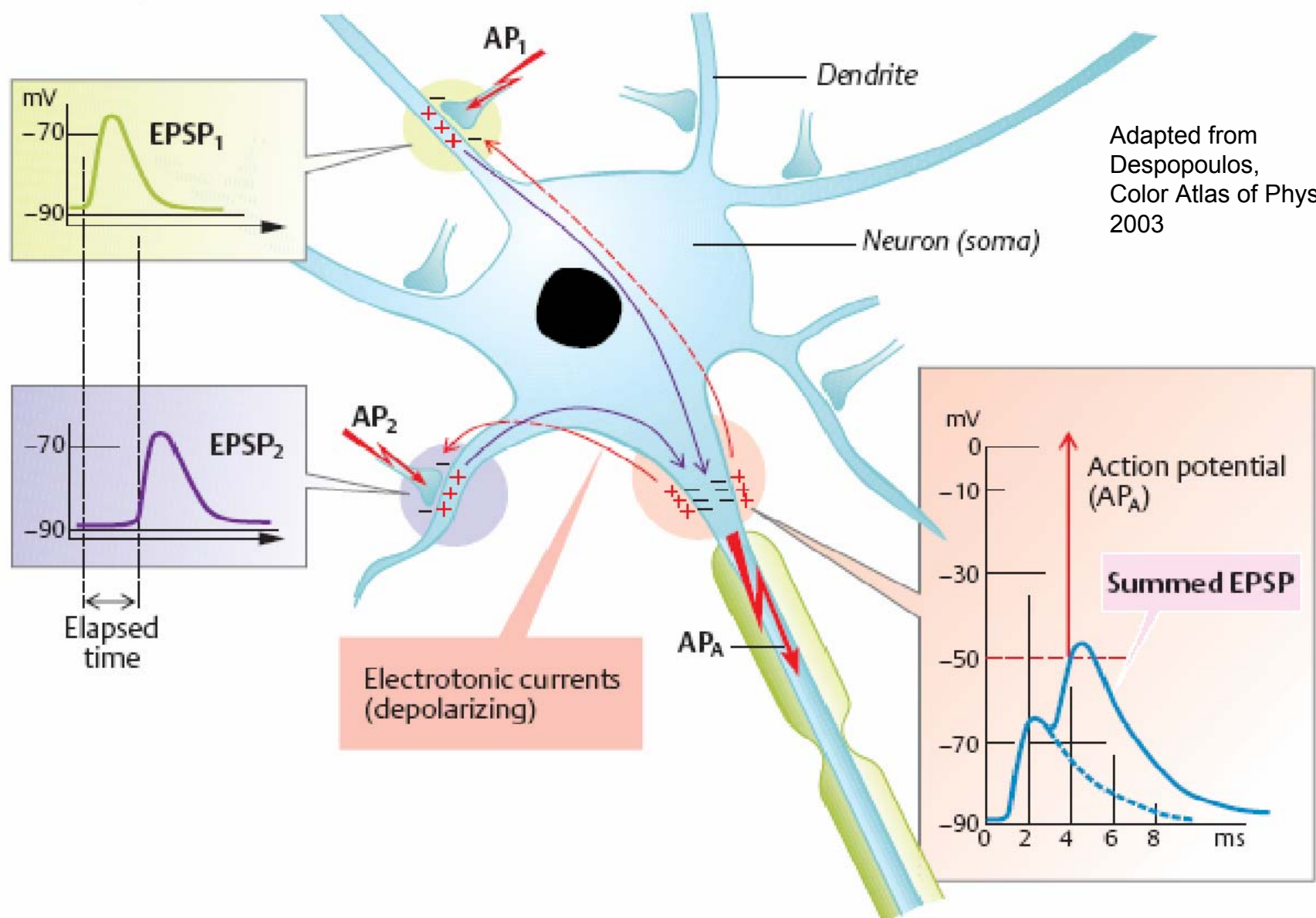


Adapted from  
Despopoulos,  
Color Atlas of Physiology  
2003

# Sommation spatiale

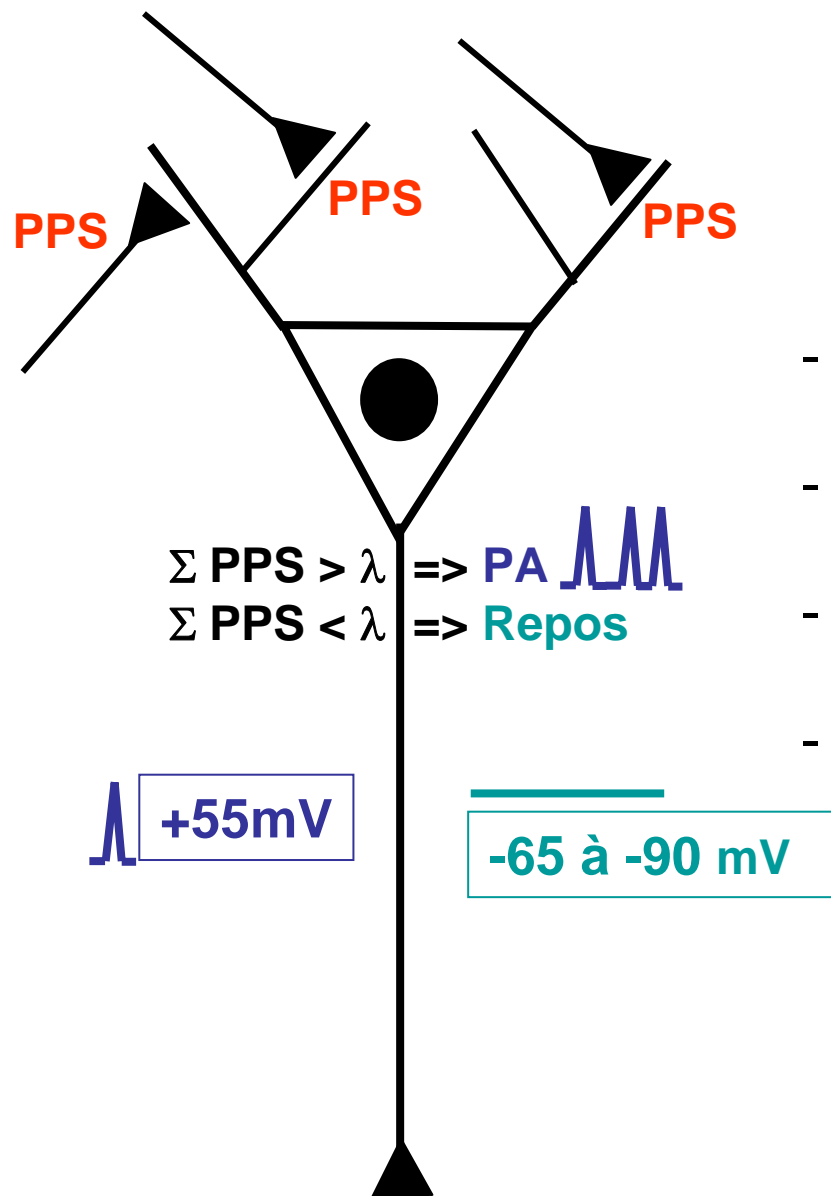


## Sommation temporelle



Adapted from  
Despopoulos,  
Color Atlas of Physiology  
2003

# Ce qu'il faut retenir ...



- Intégration spatiale et temporelle :  $\Sigma \text{ PPS}$
- Seuillage : PA si  $\Sigma \text{ PPS} > \lambda$
- Codage : fréquence des PA =  $f(\Sigma \text{ PPS})$
- Saturation: fréquence des PA <  $f_{\max}$

# Complexité des systèmes neuronaux : apport du traitement du signal et de la modélisation dans l'interprétation des **activités épileptiques**

F. Wendling

INSERM U642 - Université de Rennes 1  
Laboratoire Traitement du Signal et de L'Image  
35042 Rennes - France

# Épilepsie (1/2)

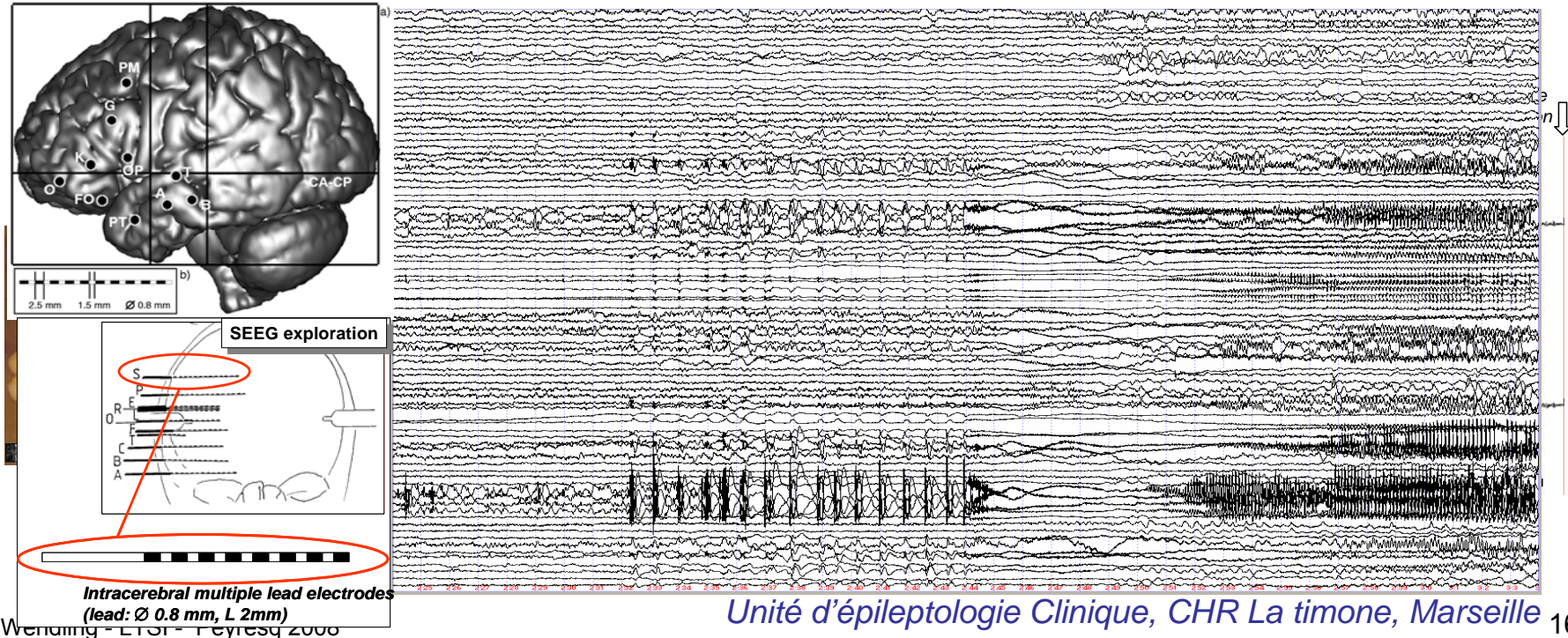
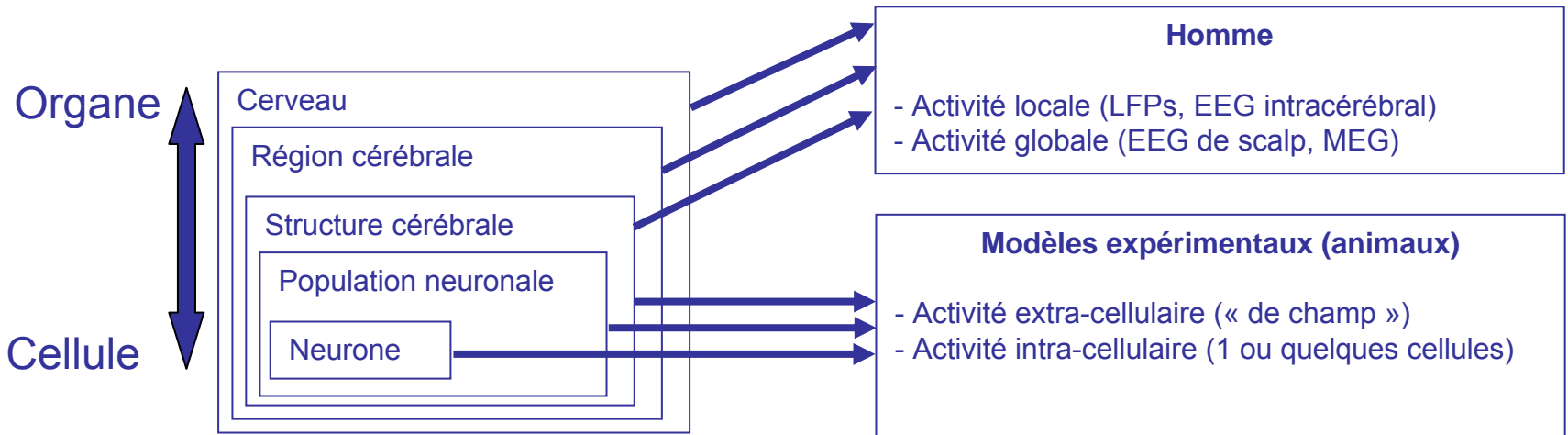
- Pathologie neurologique caractérisée par des crises récurrentes
- 1% de la population
- Crises partielles vs généralisées
- 30% pharmaco-résistantes (chirurgie? ⇒ UEC)



## Épilepsie (2/2)

- Pathologie neurologique caractérisée par des crises récurrentes
- Mécanismes de transition entre activité normale et épileptique encore mal connus
  - Altérations au niveau des cellules et des réseaux
  - Décharges excessives des neurones, synchronisation anormalement élevée au sein des réseaux neuronaux
  - Déséquilibre entre excitation et inhibition neuronale
- Développement de nombreuses techniques d'observation de l'activité neuronale
- Développement de modèles

# Méthodes d'observation électrophysiologiques



# Résolutions spatiale et temporelle

## Activité neuronale

### ***Mesures directes (électrophysiologie.)***

- Intracellular (single cell)
- Single/multiple unit recordings
- Potentiels de champ locaux (LFP)
- Stereoelectroencephalography (**SEEG**)
- Electrocorticography (**ECoG**)
- Electroencephalography (**EEG**)
- Magnetoencephalography (MEG)

### Résolution spatiale

Elevée  
↑  
Basse

Aspect invasif

Elevée

### Résolution temporelle

↓  
Niveau d'intégration

Elevée

Basse

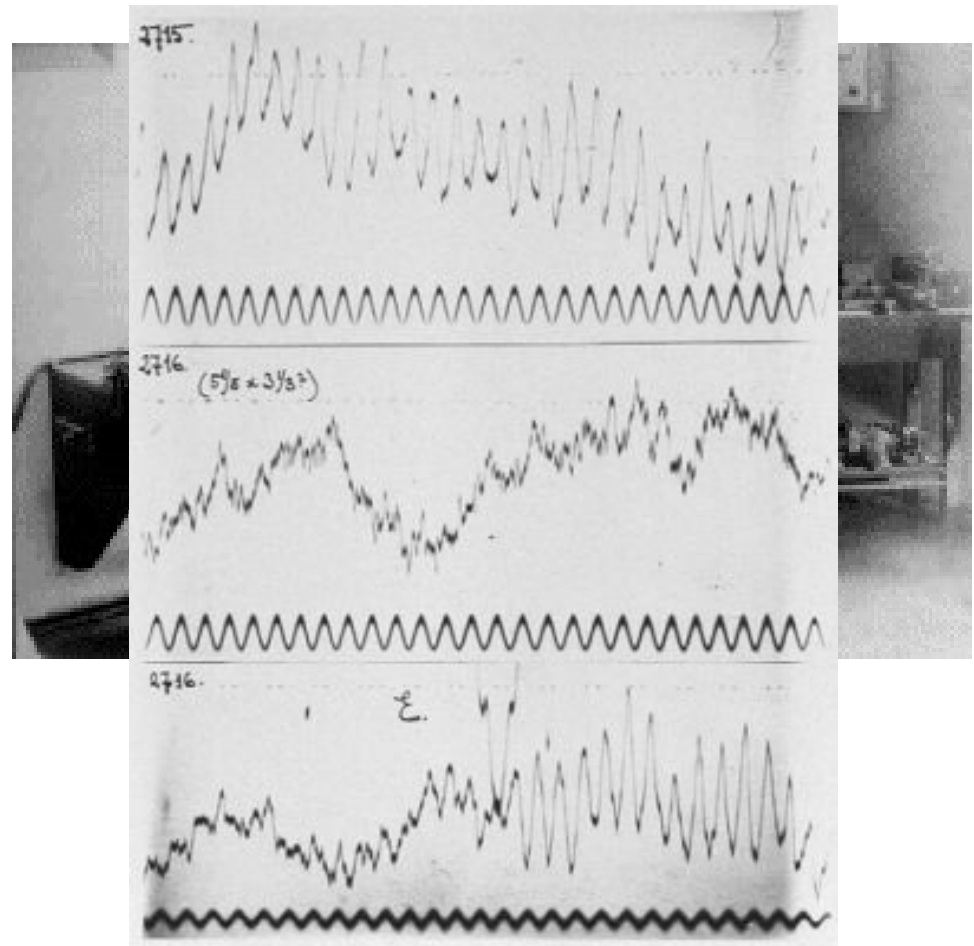
### ***Mesures indirectes (imagerie)***

- TEP / SPECT
- IRM / IRMf

# Electroencéphalographie (EEG): un peu d'histoire ...



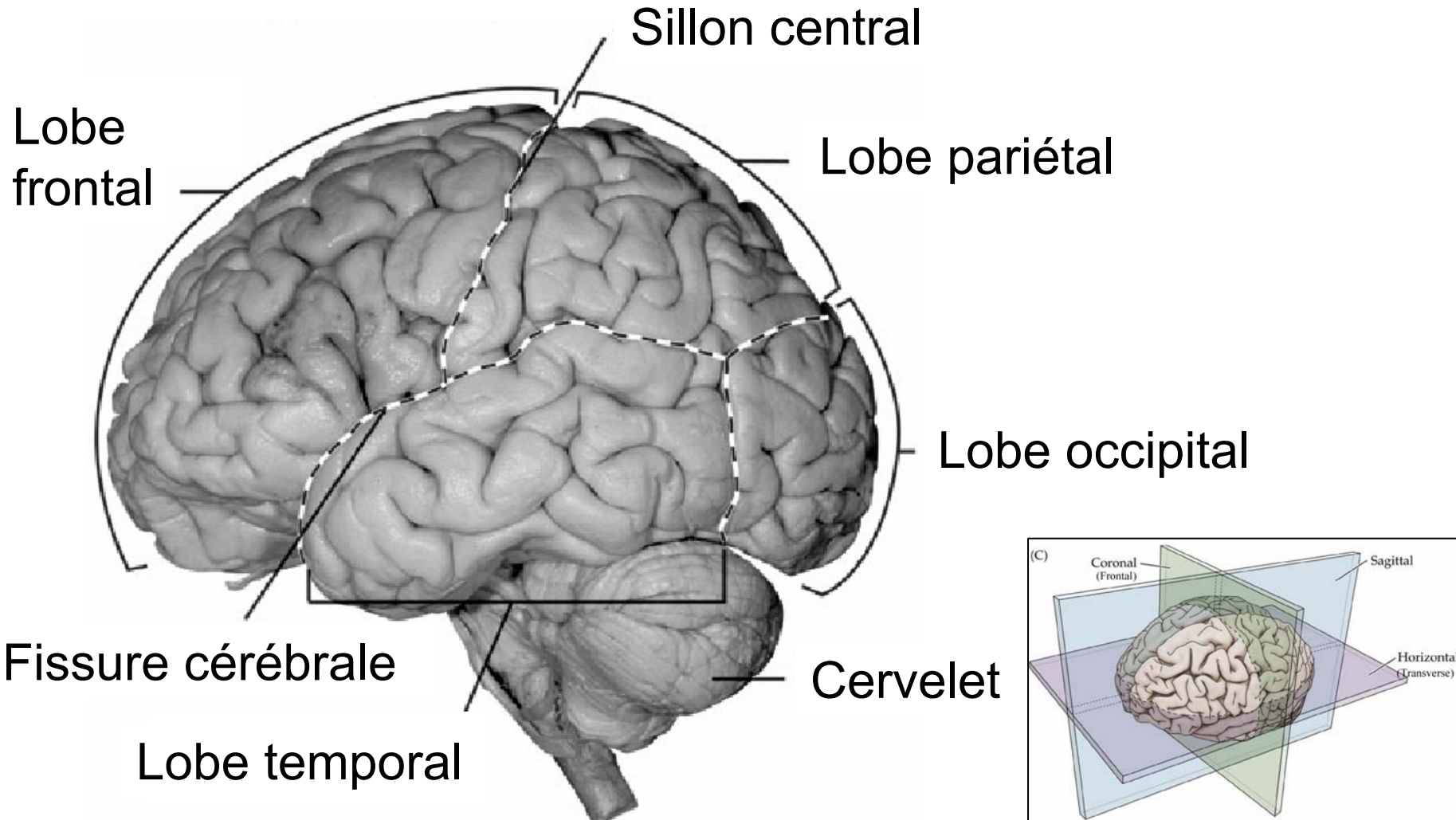
**Hans Berger (1873 - 1941)**



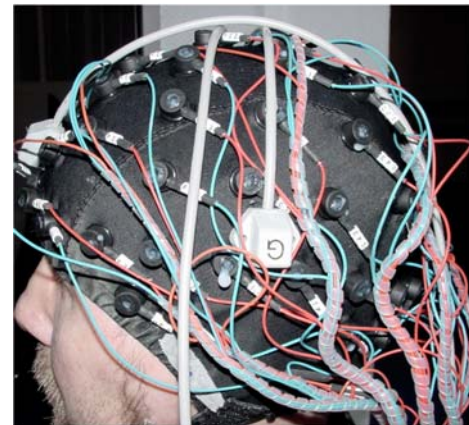
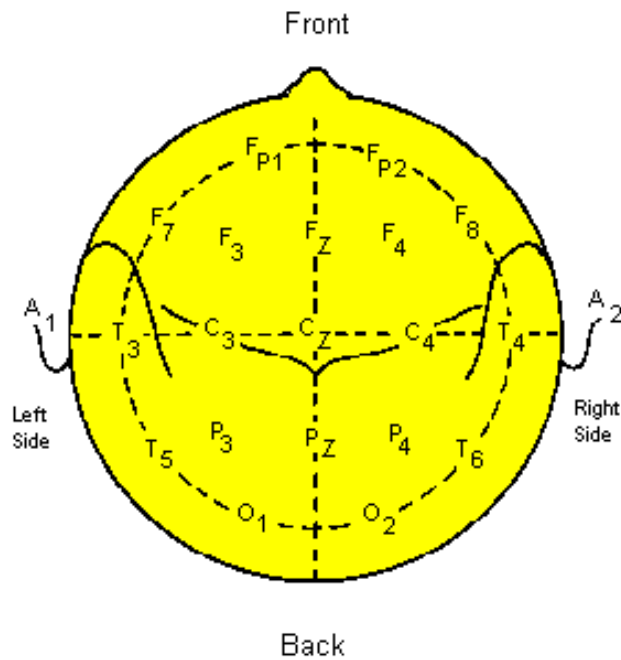
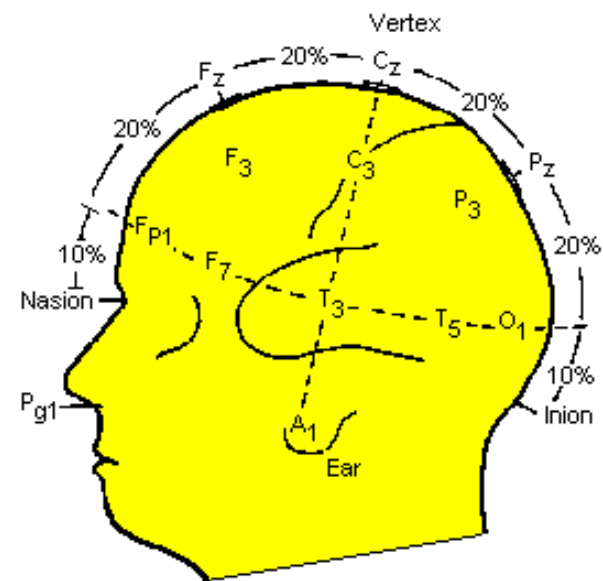
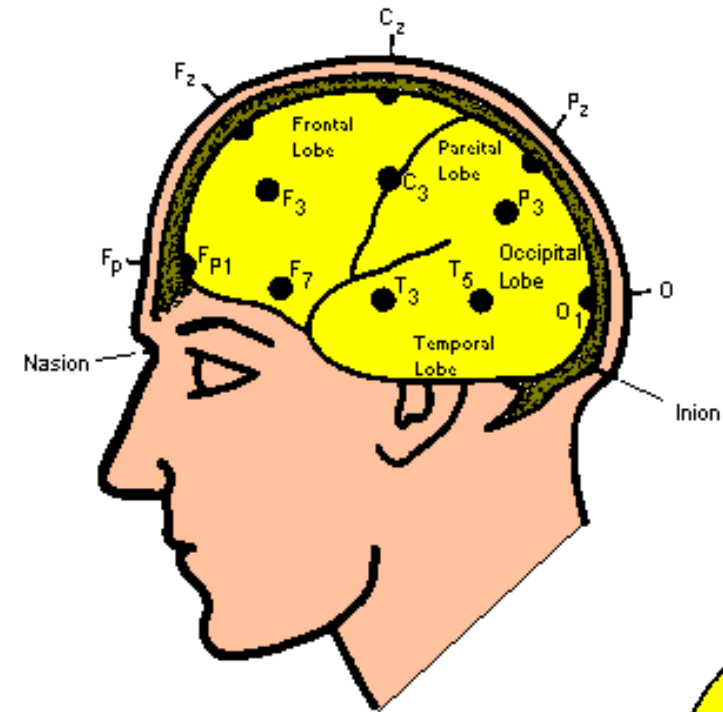
Psychiatre allemand

Premier à mesurer les potentiels électriques du cerveau humain à l'aide d'un appareil nommé électroencéphalographe, qui en amplifiait les signaux (~1928)

# Notions d'anatomie cérébrale

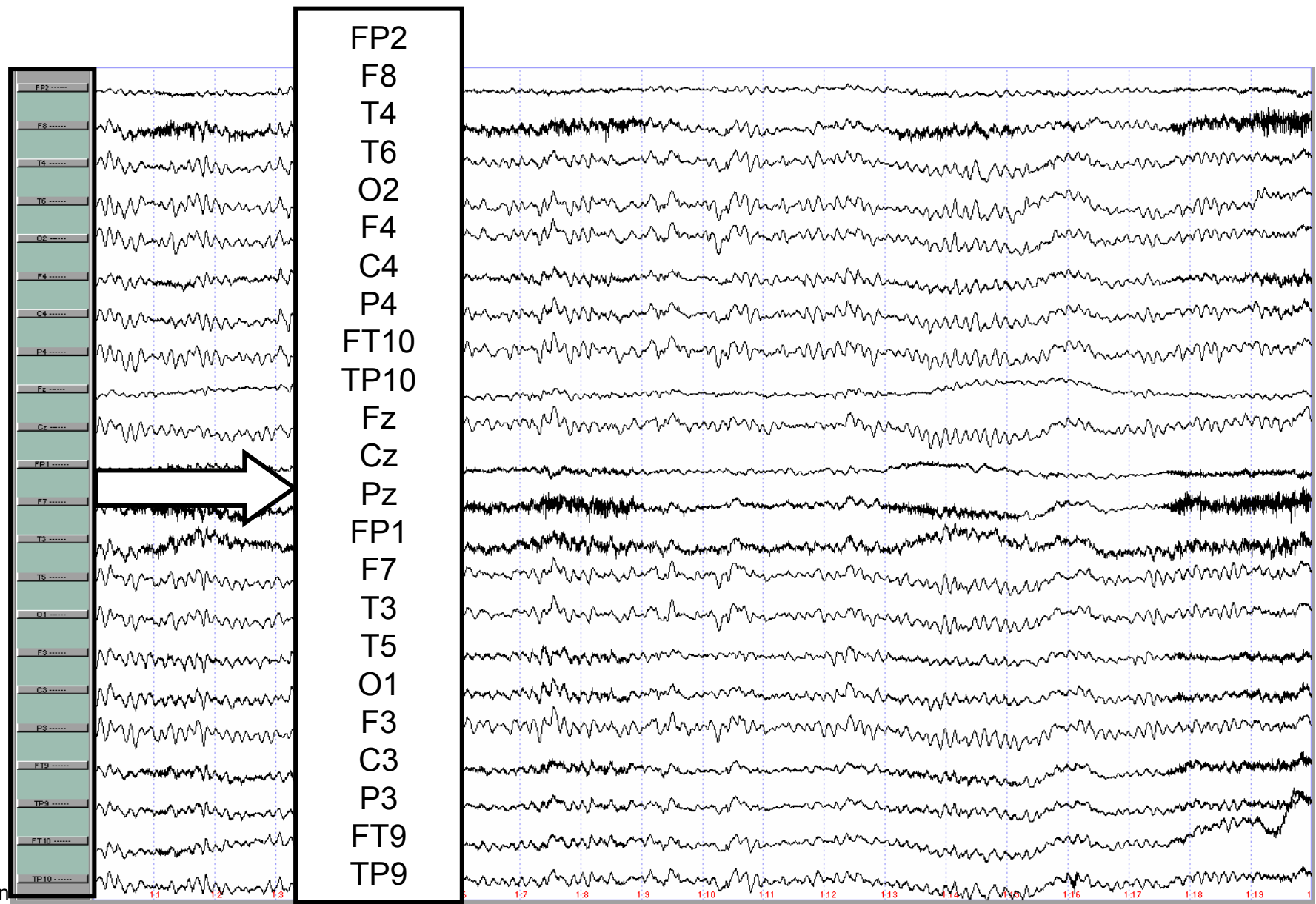


# EEG: système 10-20

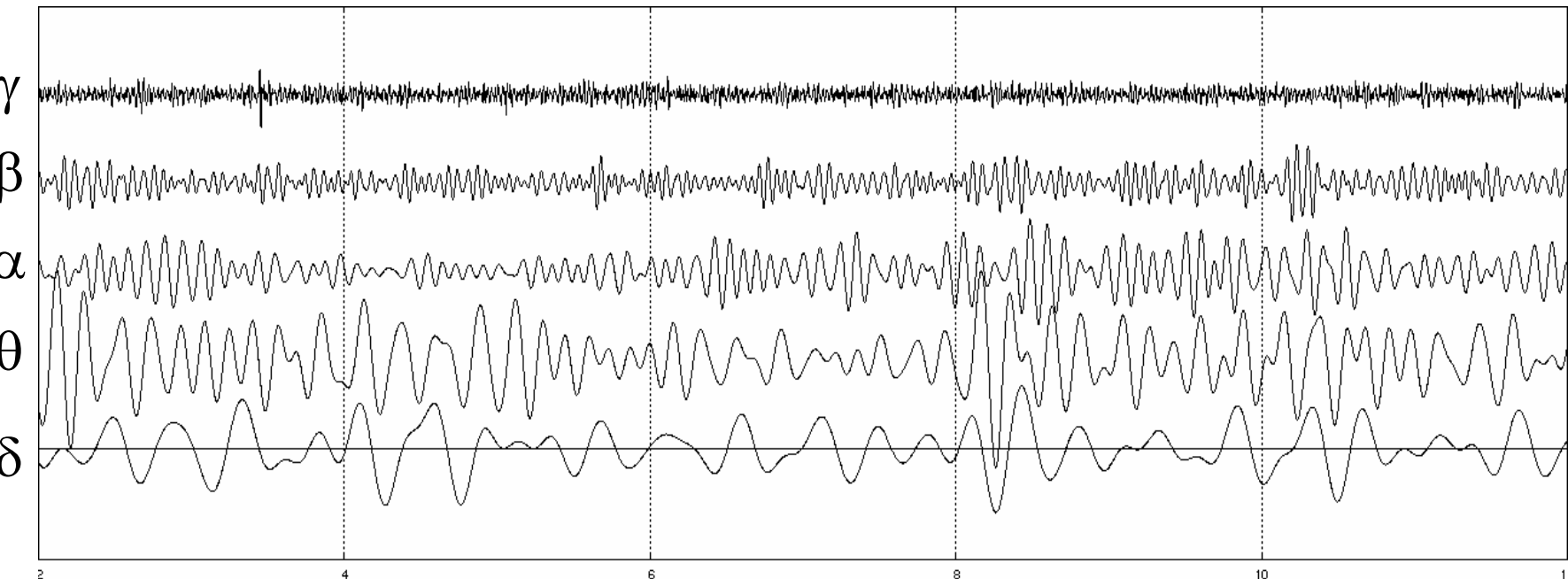
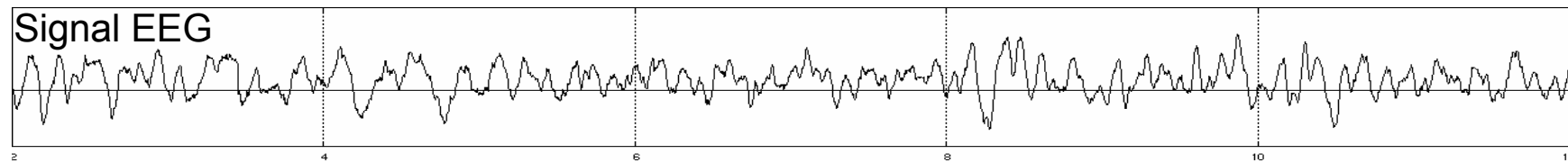
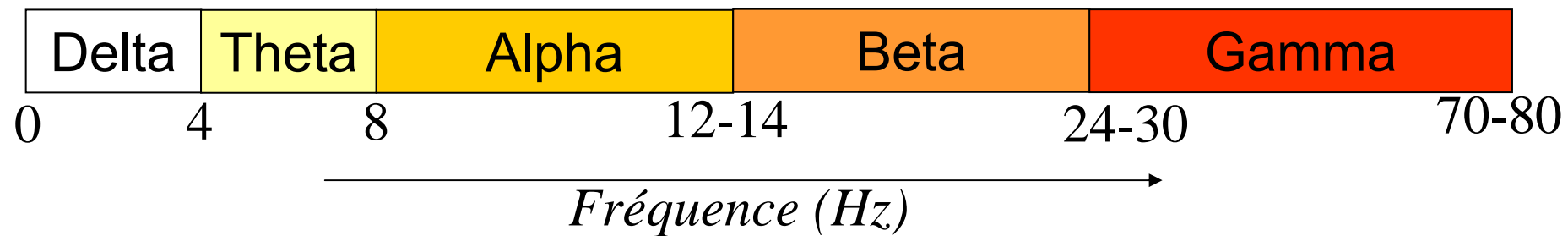


F = frontal  
Fp = fronto-polaire  
T = temporal  
C = central  
P = pariétal  
O = occipital

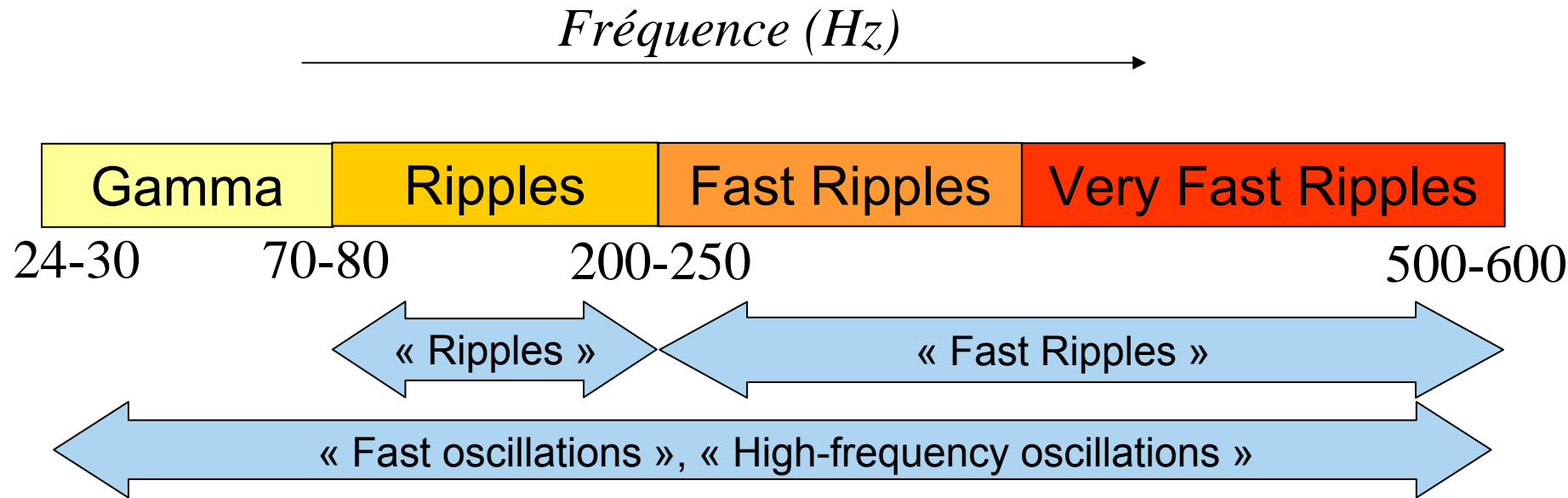
# Electroencéphalographie (EEG de scalp)



# Caractéristiques fréquentielles (1/2)

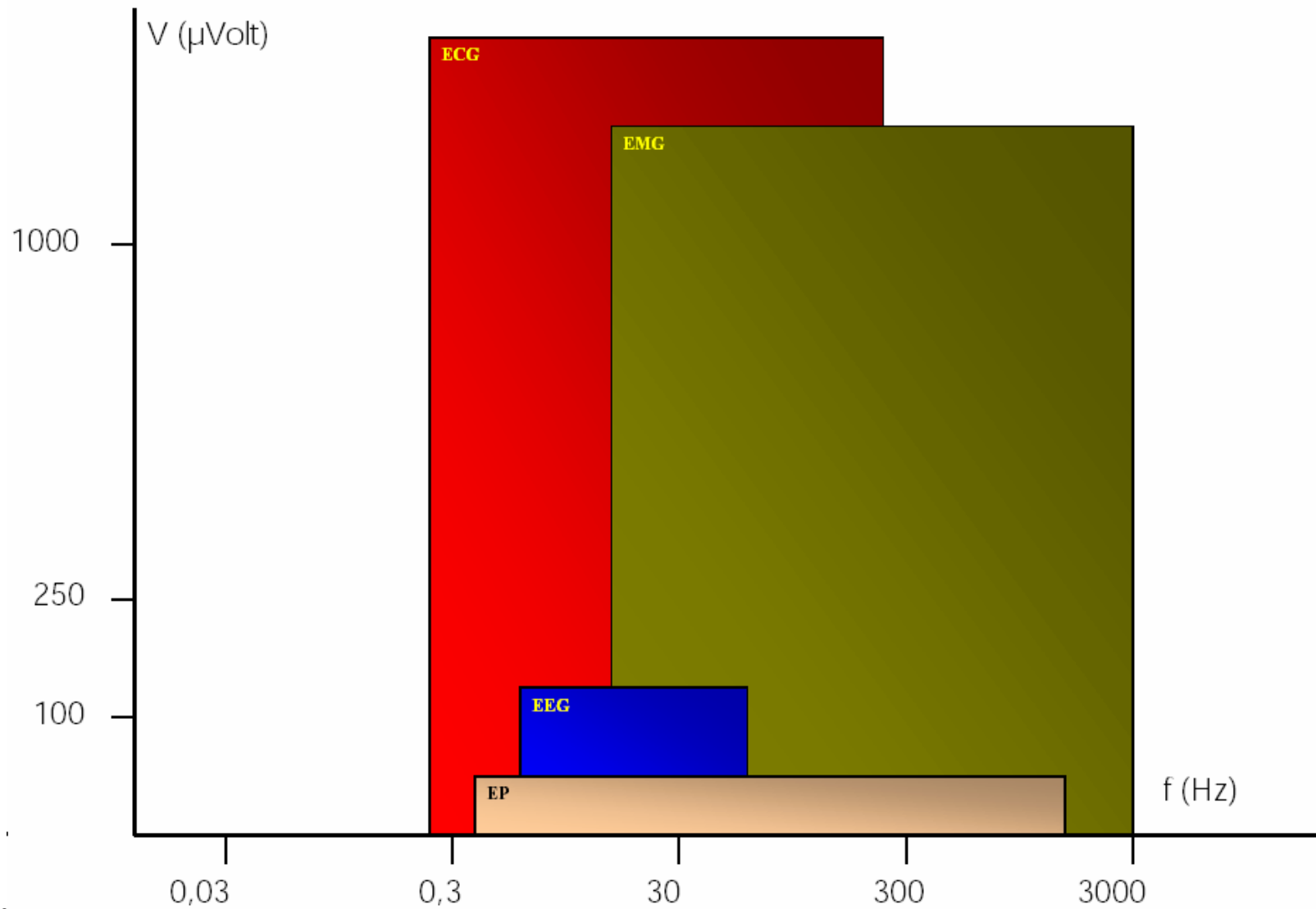


# Caractéristiques fréquentielles (2/2)

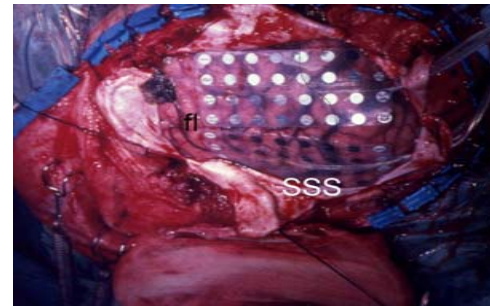
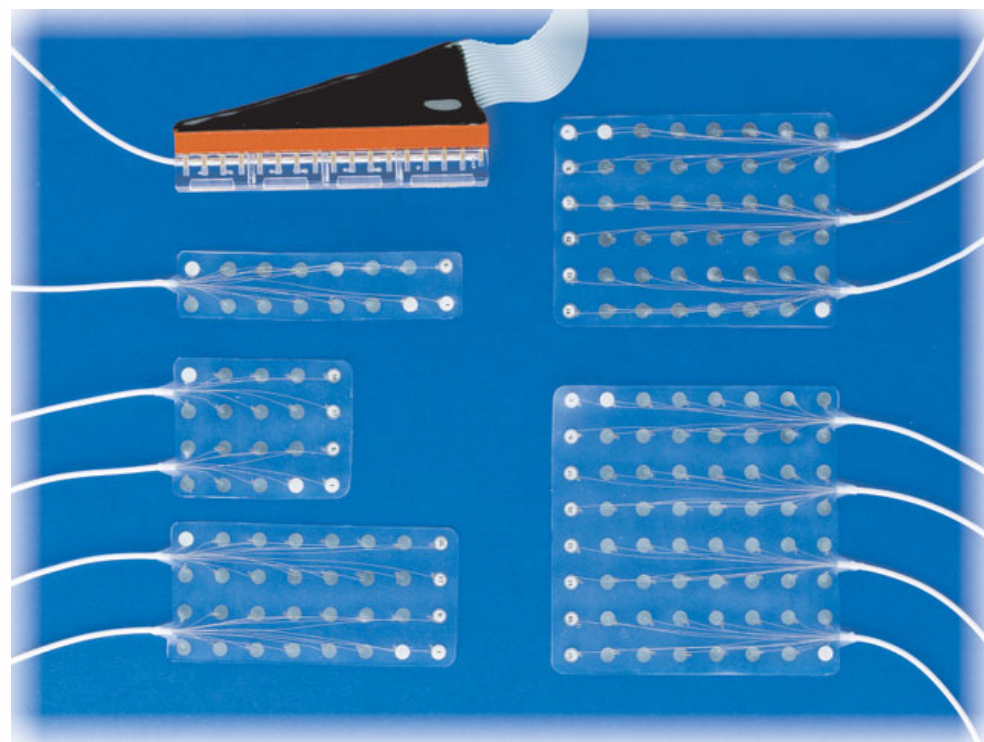
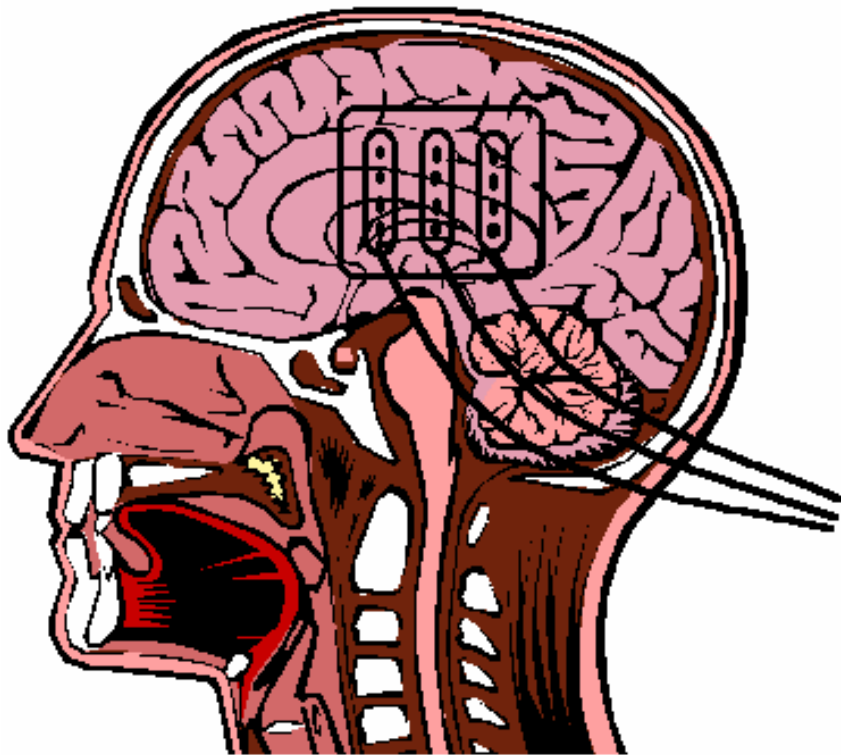


- Bande gamma: « lower gamma band », « upper gamma band »
- « Very fast oscillations » = ripples ou fast ripples
- « Very fast ripples »: peu utilisé, souvent à mauvais escient

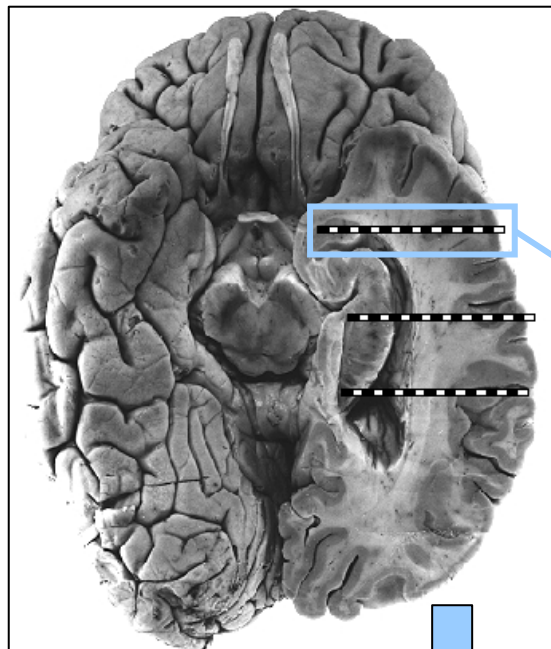
# Amplitude et fréquence: ordres de grandeur



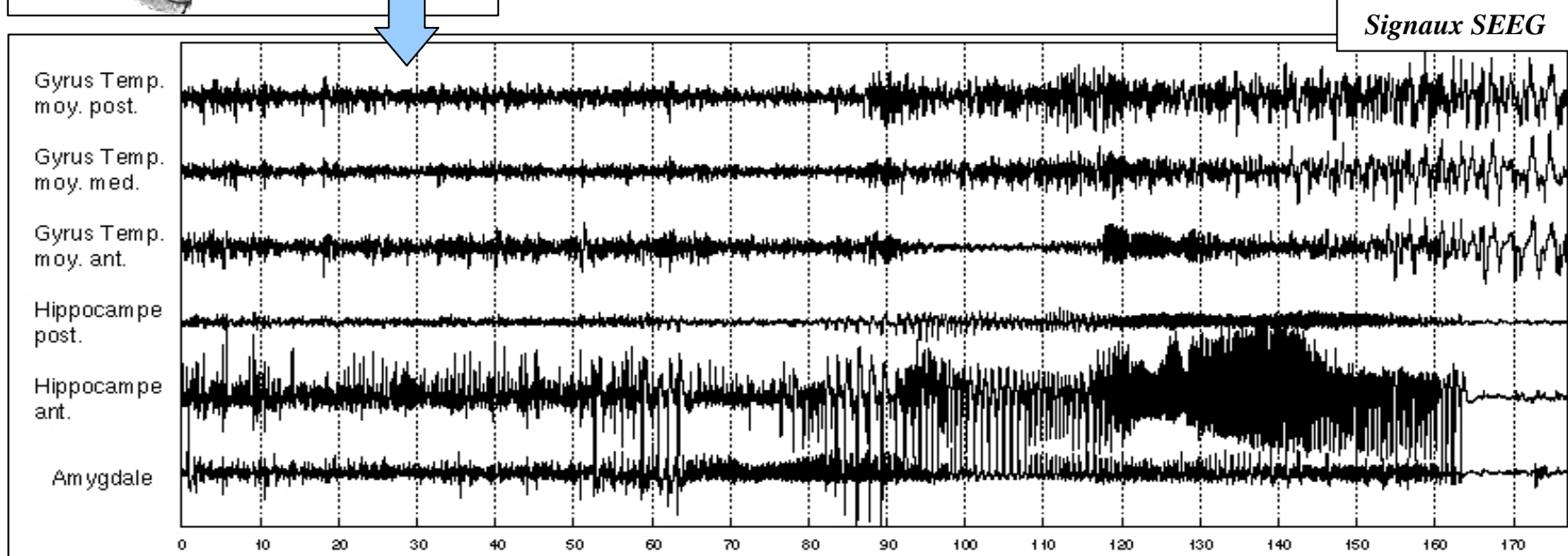
# Electrocorticographie (ECoG)



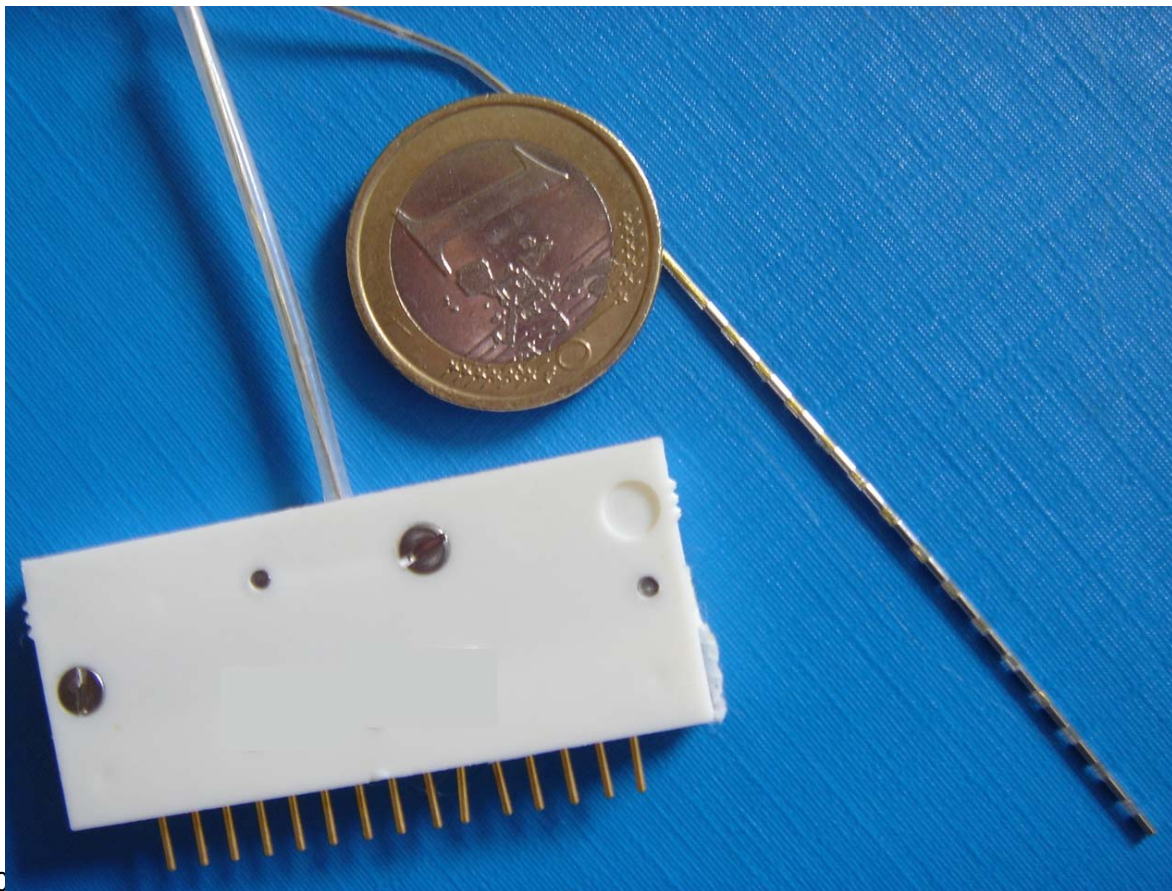
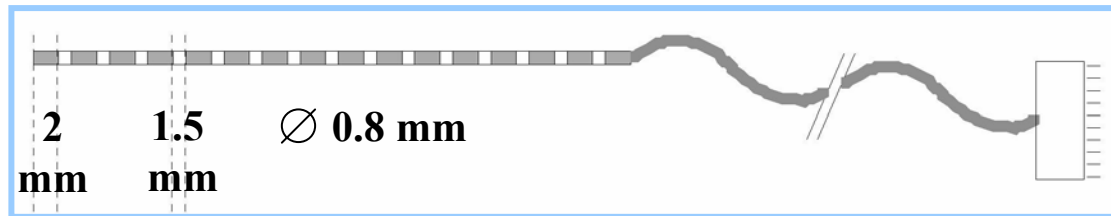
# EEG intracérébral (SEEG)



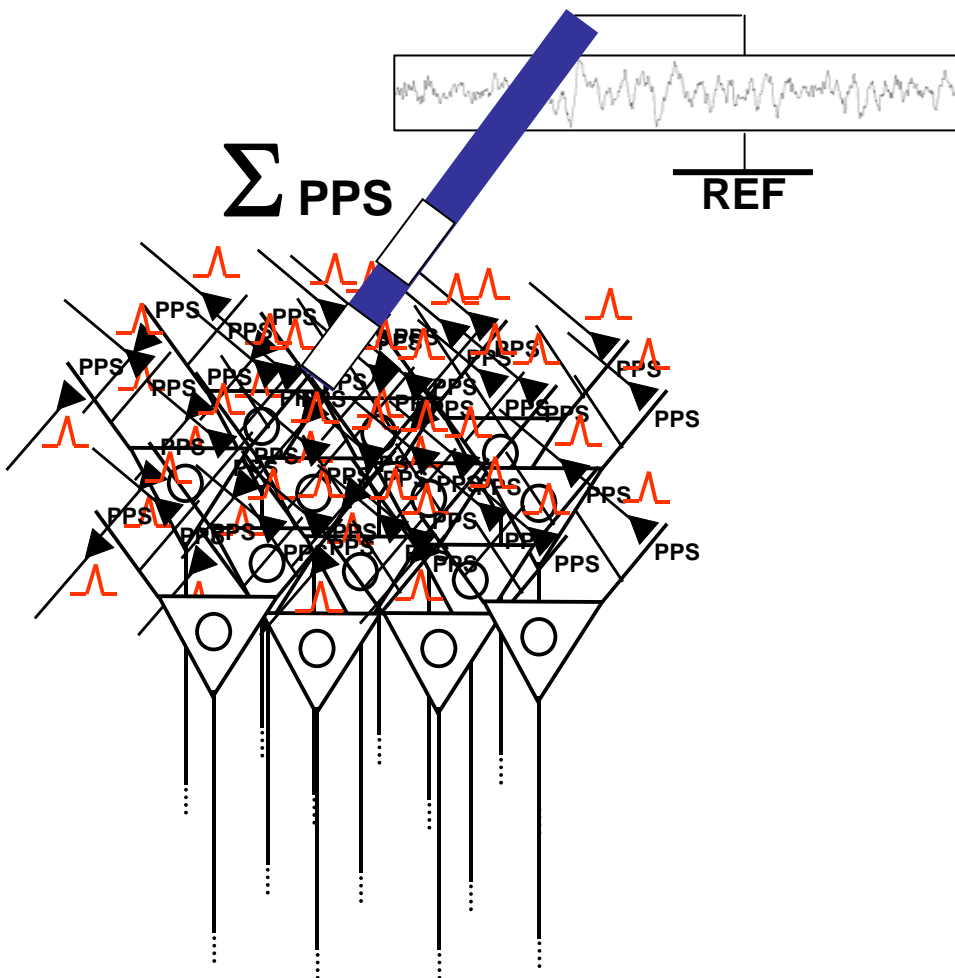
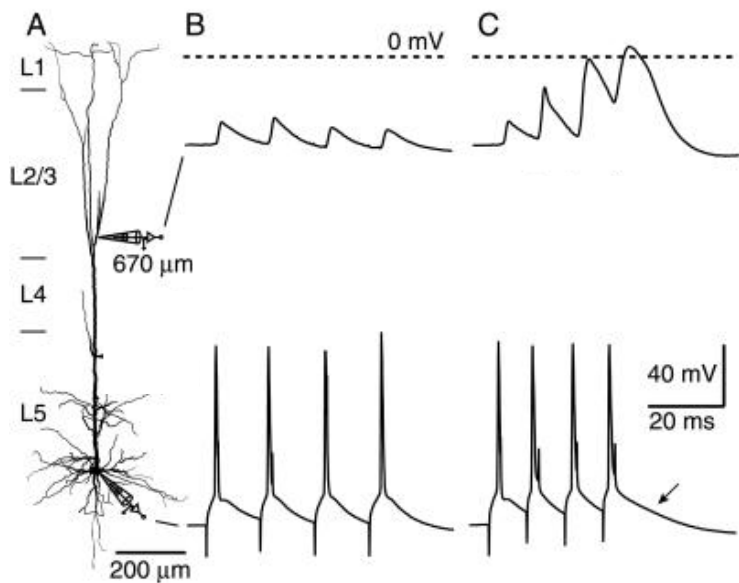
Electrode intracérébrale



# Electrode intracérébrale (SEEG)



# De l'activité intra-cellulaire aux signaux EEG



Assemblée

# Enjeu : interprétation des observations (1/2)

- Question identifiée comme essentielle dans la littérature récente

*“[...] modeling extracellular current flow using networks of neurons may yield insights into the relative contribution of spiking and nonspiking neurons to local field potentials”. (Buzsaki, Neuron, 2002)*

*“Bridging between single units and EEG” (Kahana, JN, 2006)*

- « Décoder » les signaux : un problème difficile

## - Observations parcellaires

- . dans le temps : épilepsie = maladie évolutive, fenêtre temporelle d'observation restreinte
  - . dans l'espace : sous-échantillonnage spatial, structures non-enregistrées (accès difficile)
- 
- Mécanismes pathologiques s'exprimant sur **différentes échelles** temporelles
    - . « Pointes » épileptiques : quelques centaines de ms
    - . Crises : dizaine de secondes à plusieurs minutes (**non prédictibilité**)
    - . Fréquence des crises : plusieurs/jour à quelques unes/mois (**régulations ?**)

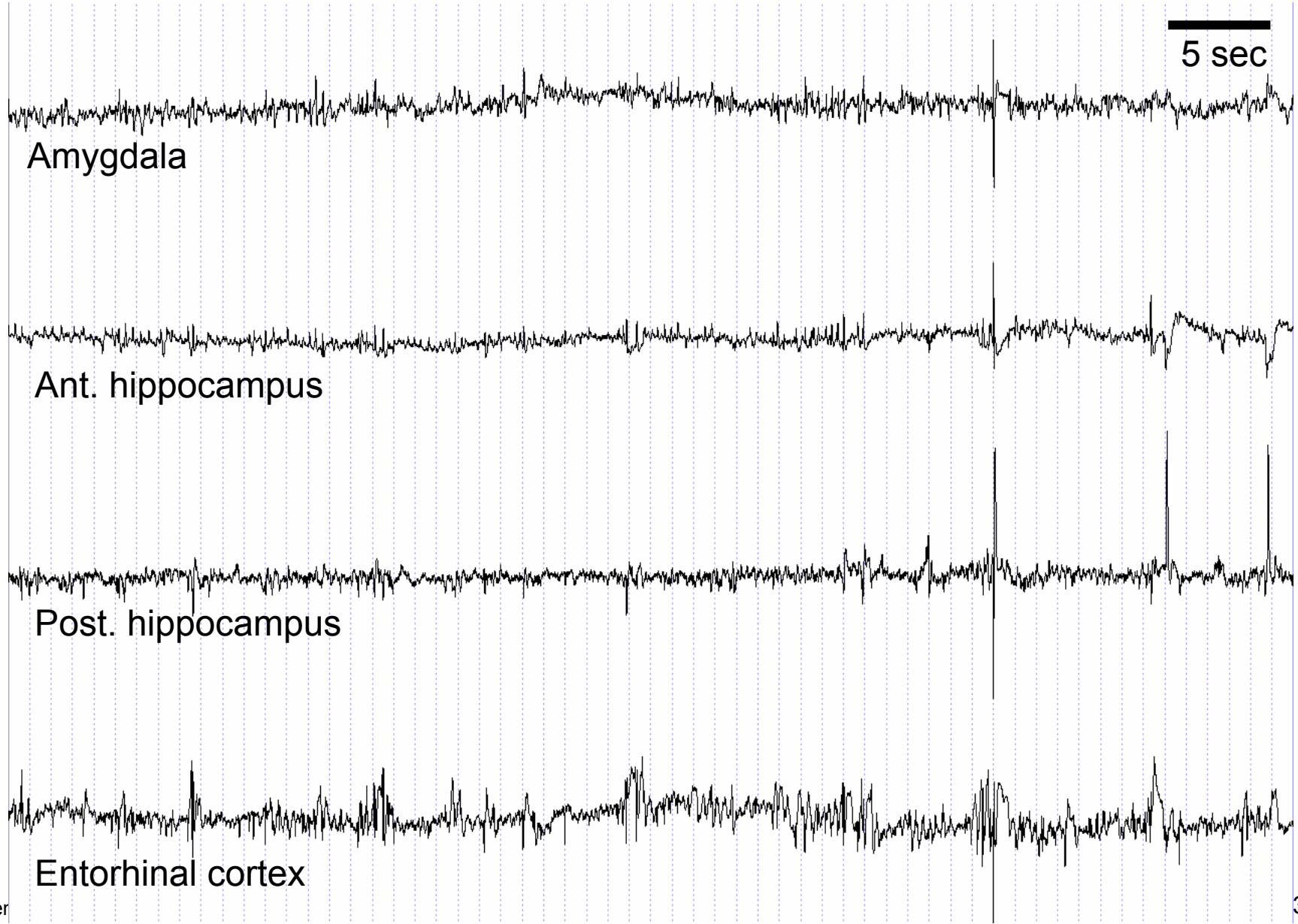
## Enjeu : interprétation des observations (2/2)

- « Décoder » les signaux : un problème difficile
  - **Diversité** des systèmes enregistrés (cyto-architectonie spécifique des structures cérébrales)
  - **Systèmes complexes**
    - . mécanismes **non linéaires**
    - . **échelles** :
      - . sub-cellulaire (canaux ioniques et récepteurs membranaires)
      - . cellulaire (neurone)
      - . tissulaire (réseaux de neurones)
      - . régionale (réseaux de réseaux de neurones)
    - . **plasticité** (court/long terme)

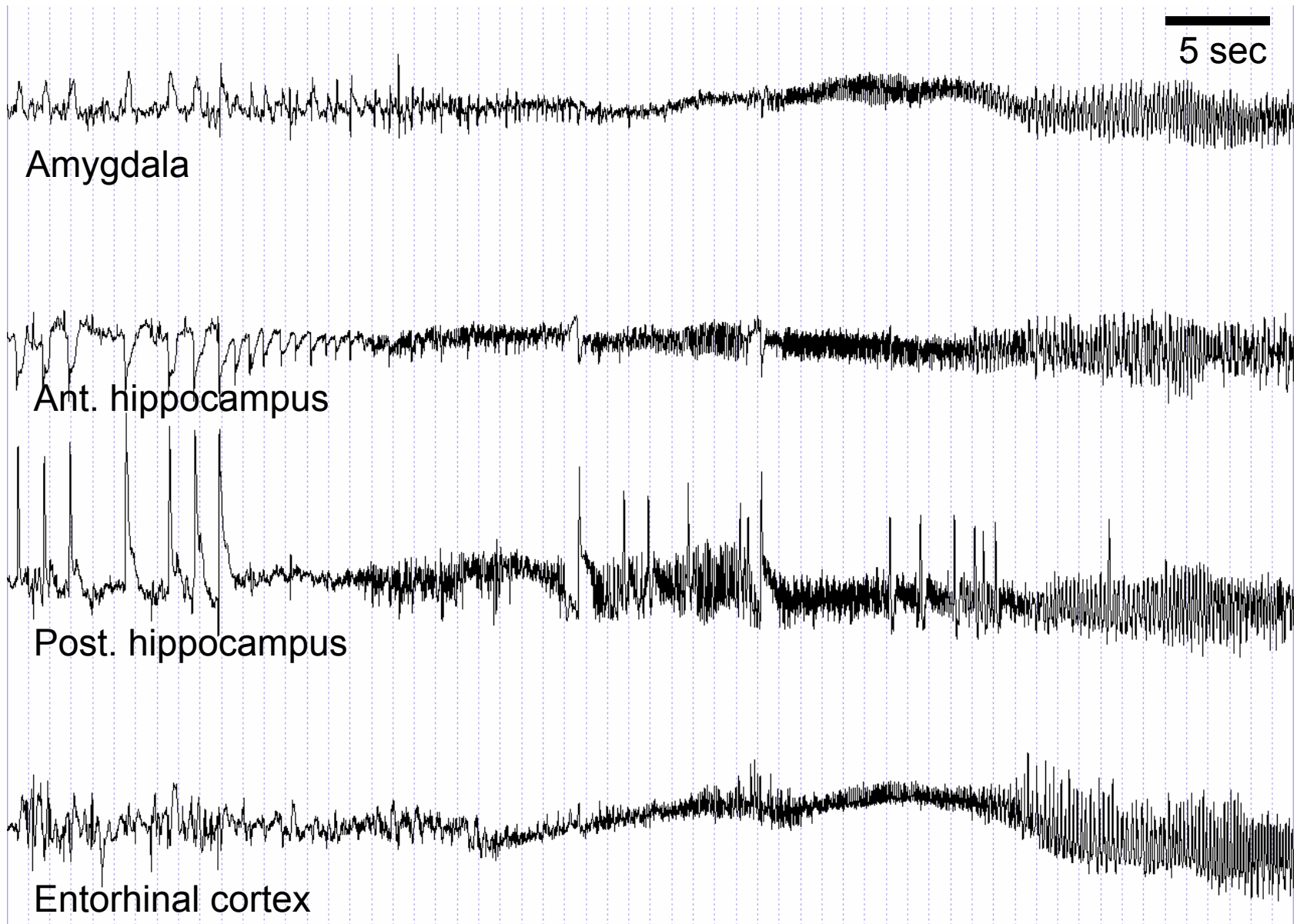


Mélanges non stationnaires incluant des événements transitoires, des **dynamiques** variées, des **ruptures** entre ces dynamiques

# Activité intercritique et critique (TLE)



# Début de la crise



# Activité critique

5 sec

Amygdala

Ant. hippocampus

Post. hippocampus

Entorhinal cortex

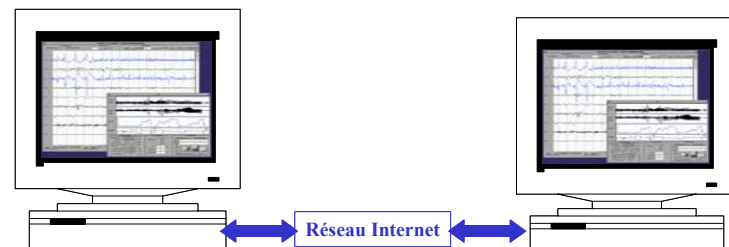
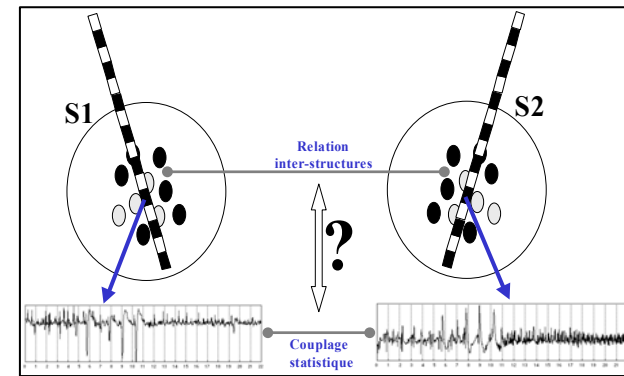
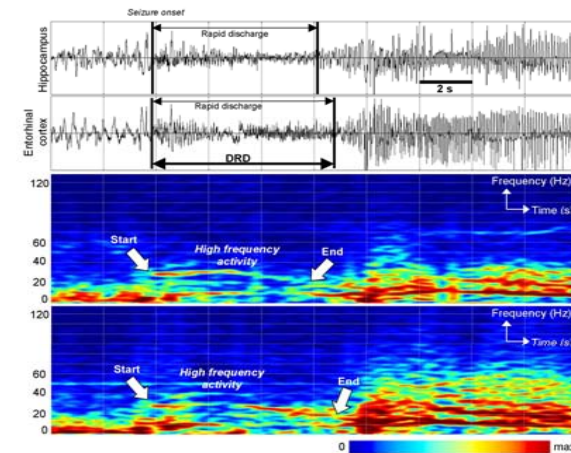
# Complexité des systèmes neuronaux : apport du **traitement du signal** et de **la modélisation** dans l'interprétation des activités épileptiques

F. Wendling

INSERM U642 - Université de Rennes 1  
Laboratoire Traitement du Signal et de L'Image  
35042 Rennes - France

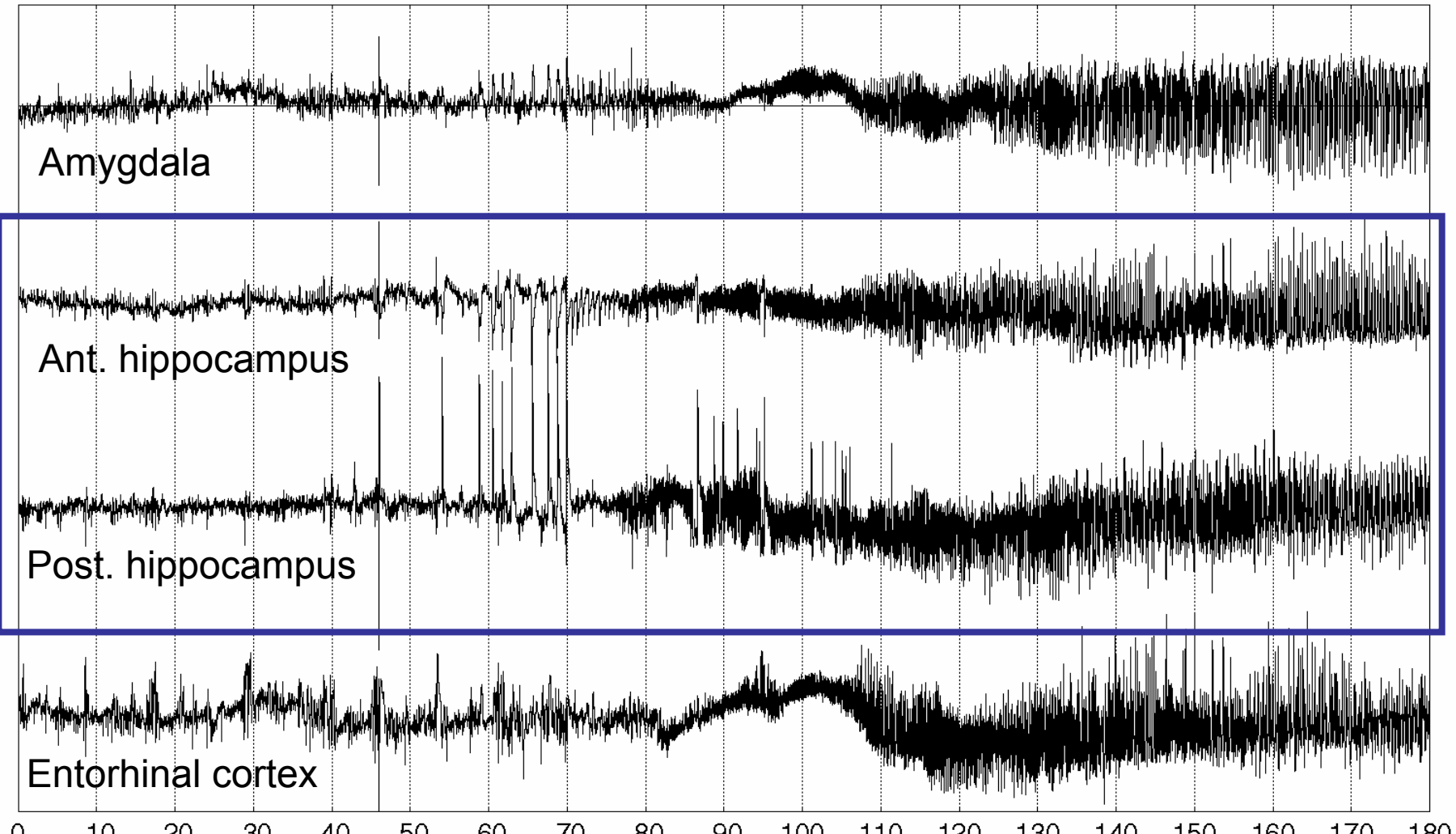
# Traitement des signaux EEG

- Caractérisation des **dynamiques et transitions**
  - *Détection de transitoires, de ruptures, méthodes temps-échelle, temps-fréquence*
- Reproductibilité des processus critiques
  - *Codage et mise en correspondance des signaux*
- Caractérisation des **relations interstructures**
  - *Méthodes linéaires et non linéaires*
- Logiciels de **visualisation et d'analyse des signaux**
  - *Utilisation en clinique*



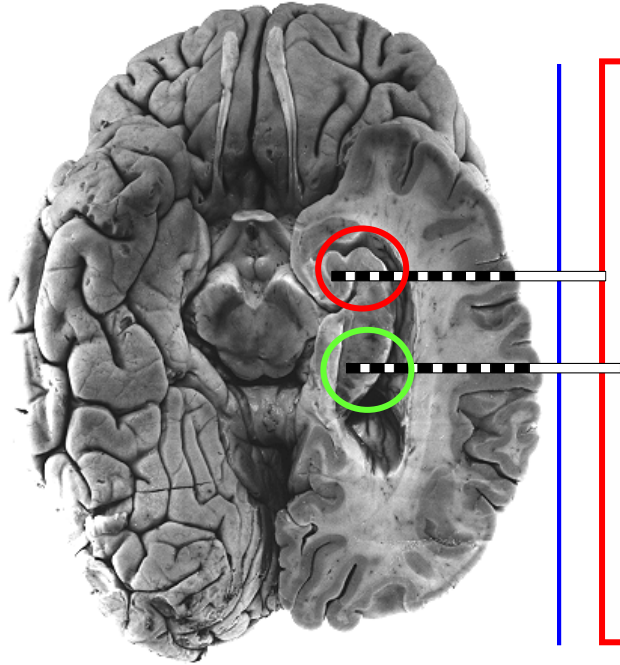
→ **TS : descriptions quantifiées des observations**

# Transition intercritique / critique

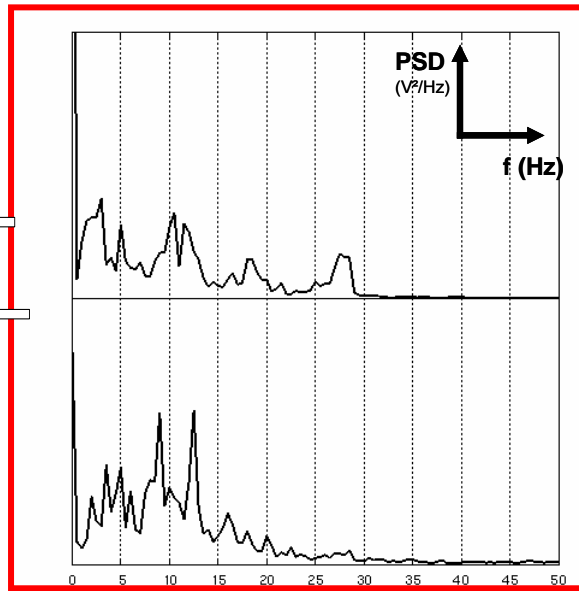


# Densités spectrales

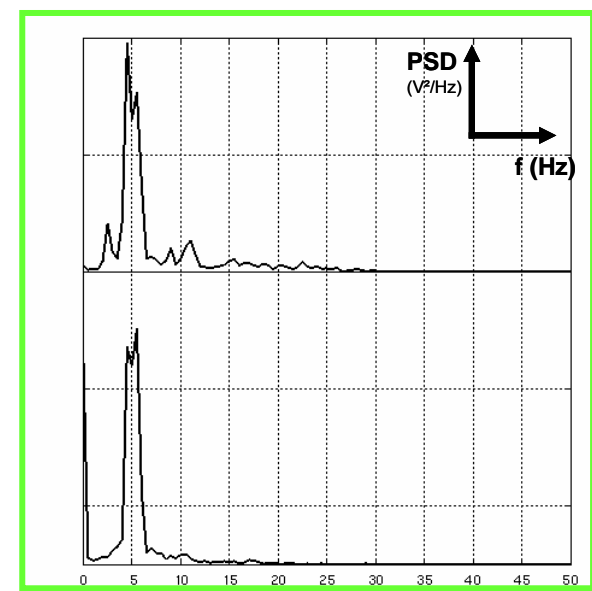
Post. hip.  
Ant. hip.



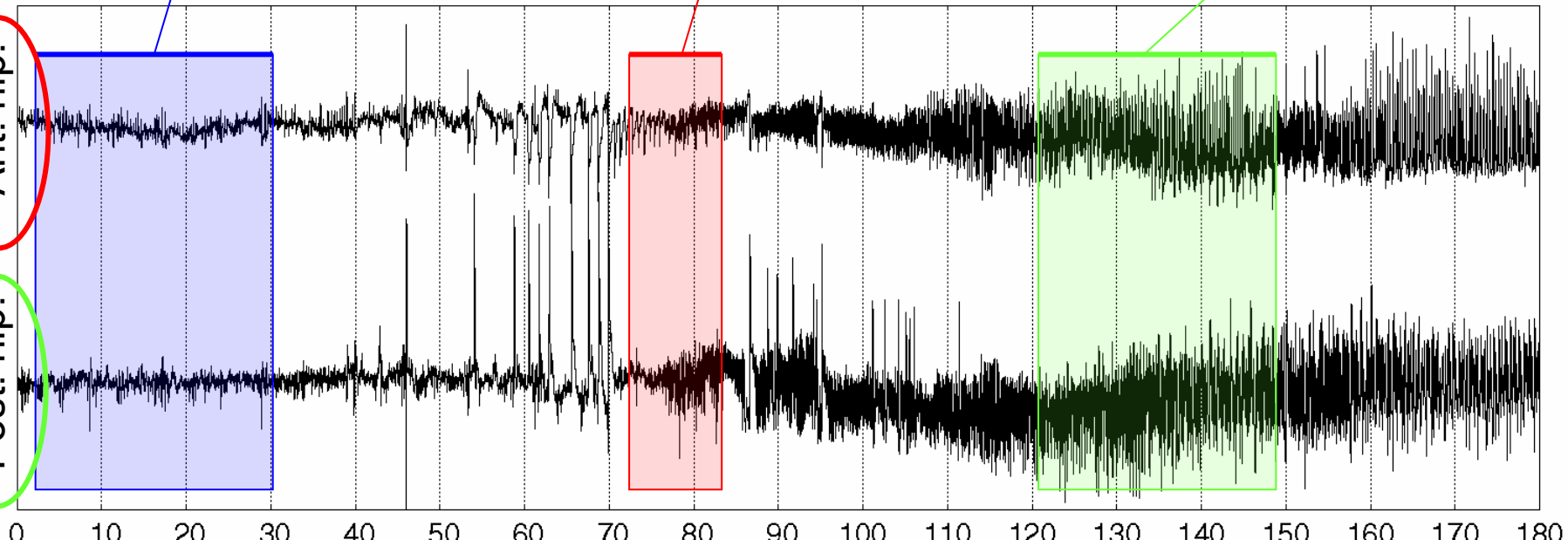
Onset



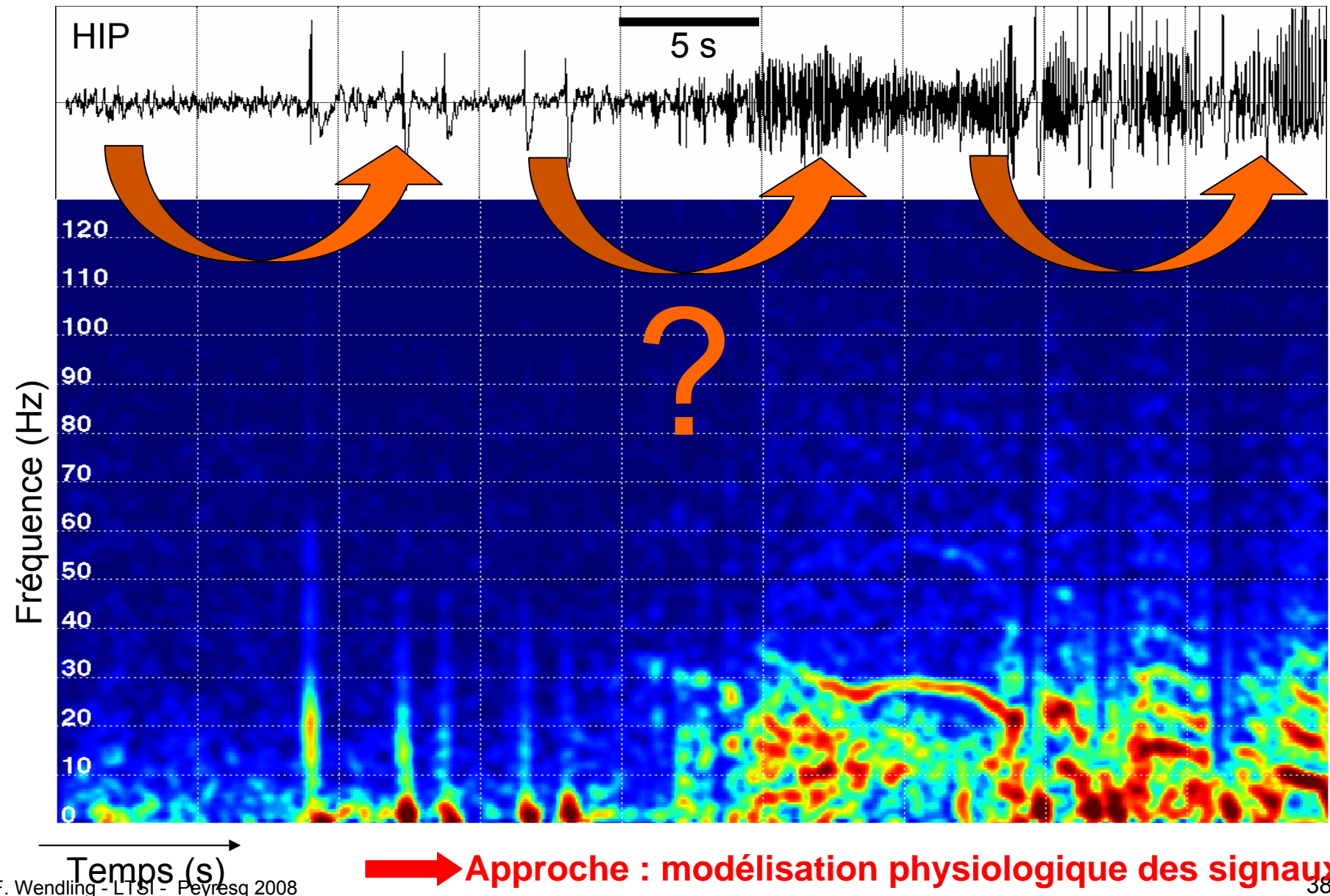
Ictal



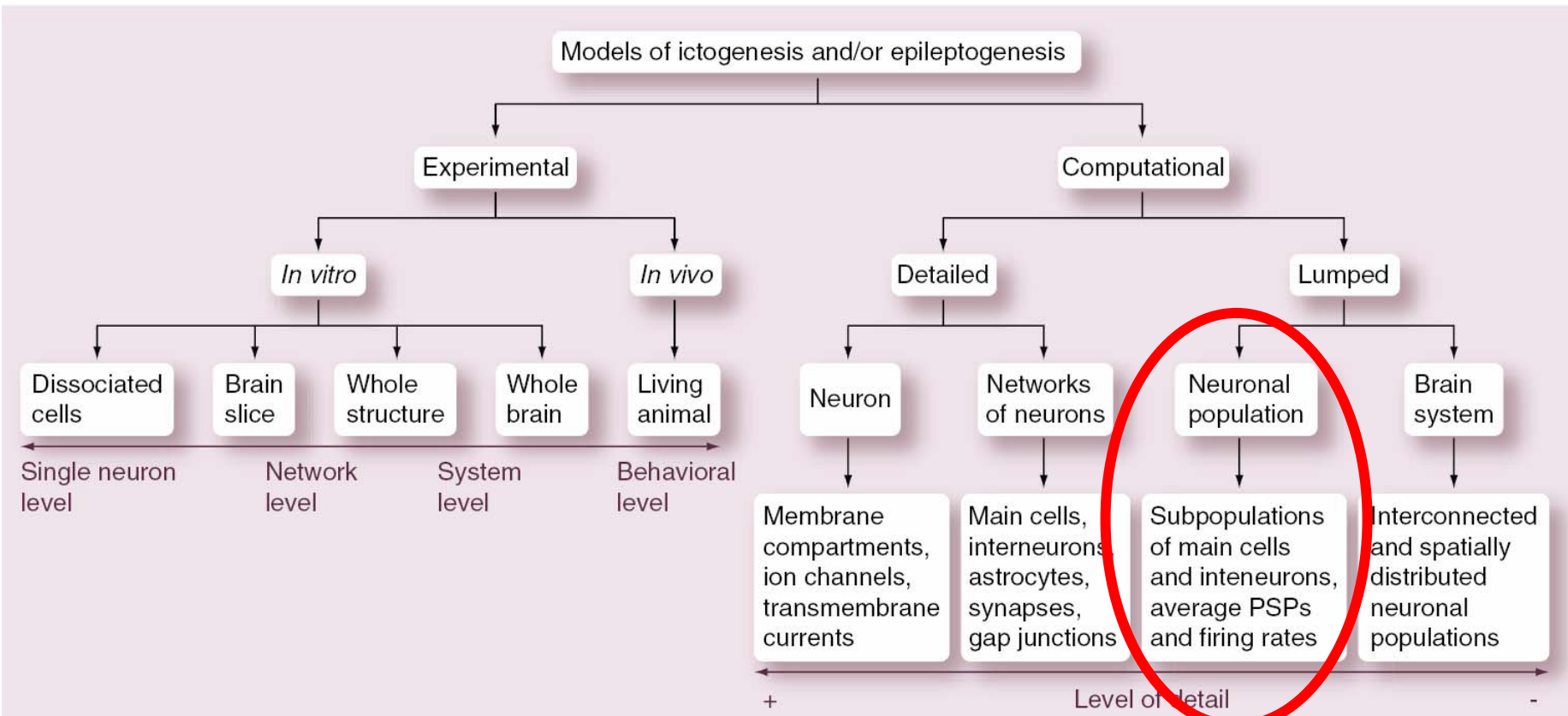
Post. hip.  
Ant. hip.



# Représentation temps-fréquence



# A taxonomy of models used in the study of epilepsy



F. Wendling,

*Computational models of epileptic activity: a bridge between observation and pathophysiological interpretation*,  
Expert Review of Neurotherapeutics (2008)

## Why a ‘population-oriented’ approach ?

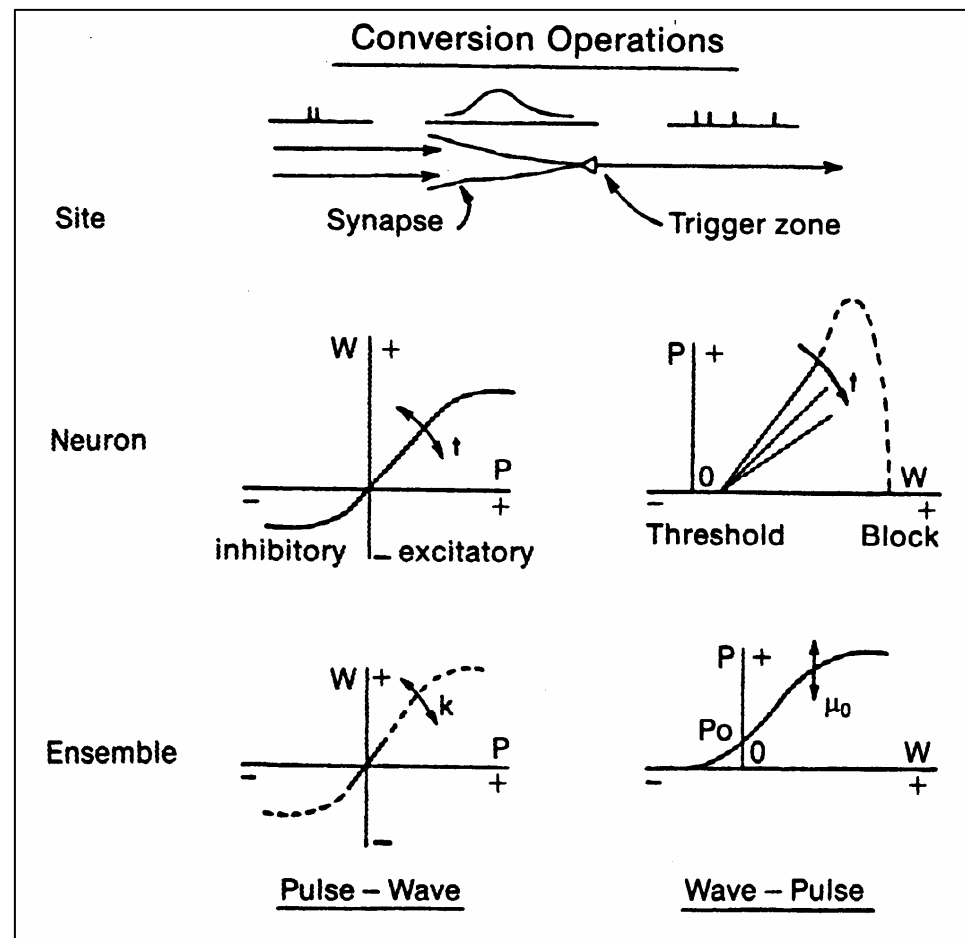
- Main figures:
  - Cerebral cortex : 10 billions of neurons
  - Each neuron is connected to a large number of neurons (100 to 100 000 synapses/neuron)
- Interactions between subpopulations of cells → Ensemble dynamics (*Positive or negative feedback*)
- EEG dynamics
  - reflect these ensemble interactions
  - summation of PSP generated by a large number of cells

# Background

- Modèles de populations : Wilson & Cowan (1972), Freeman (~1970), Lopes da Silva (~1970), Jansen (1993, 1995), Suffczynski (2001)

- Principales caractéristiques

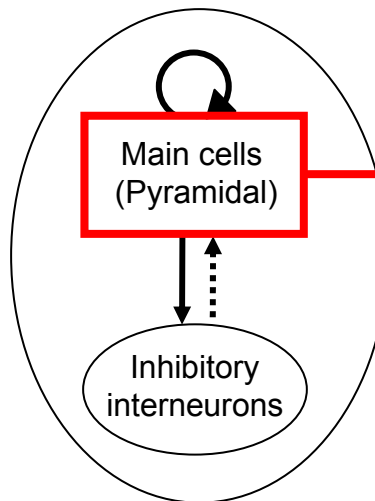
- Variable pertinente : “**firing-rate**”
- Sommation linéaire des entrées synaptiques au niveau du soma (approximation “champ moyen”)
- Taux de décharge calculé à partir du courant total délivré par les entrées synaptiques



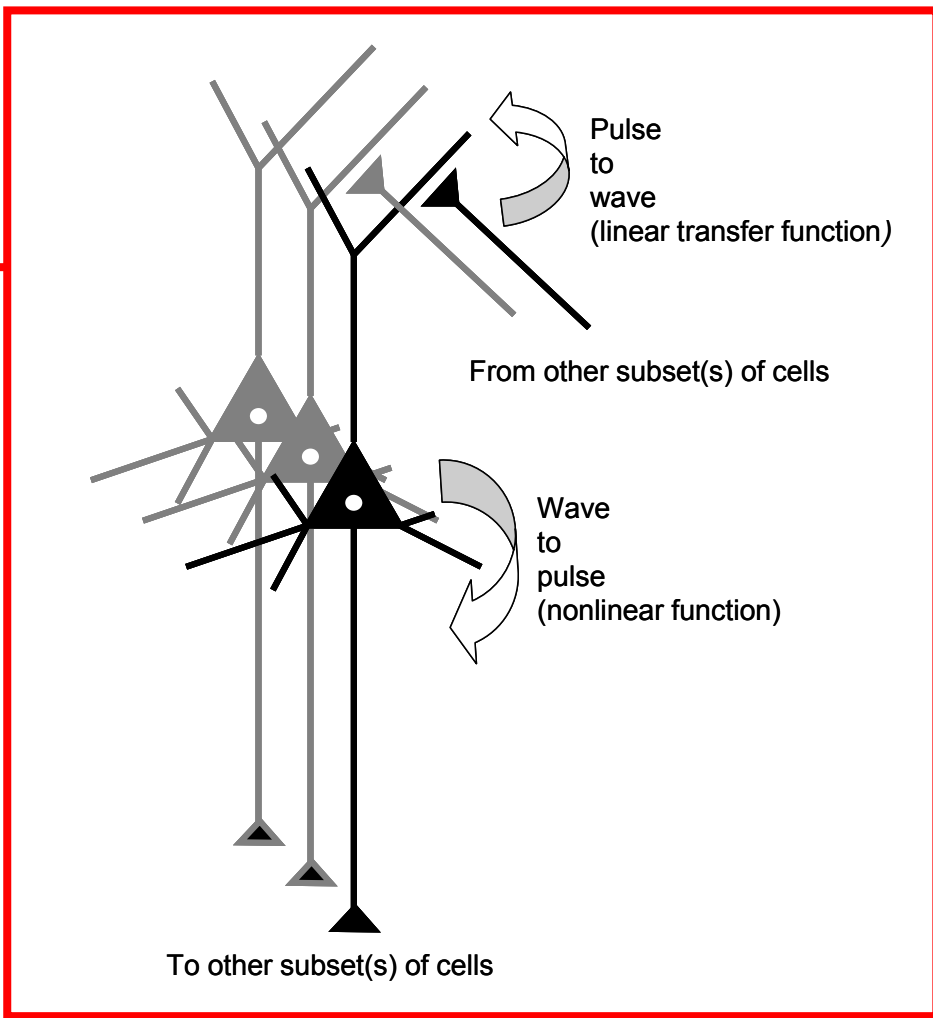
W.J. Freeman, *Tutorial on neurobiology: From single neurons to brain chaos*, Int. J. Bif. Chaos, 1992

# Modèle de population neuronale : principes

Neuronal population

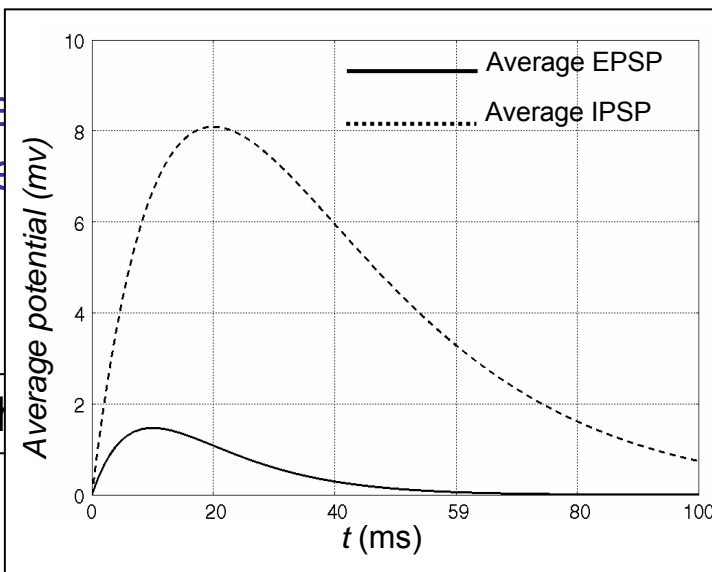
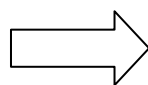


— excitatory  
- - - - - inhibitory

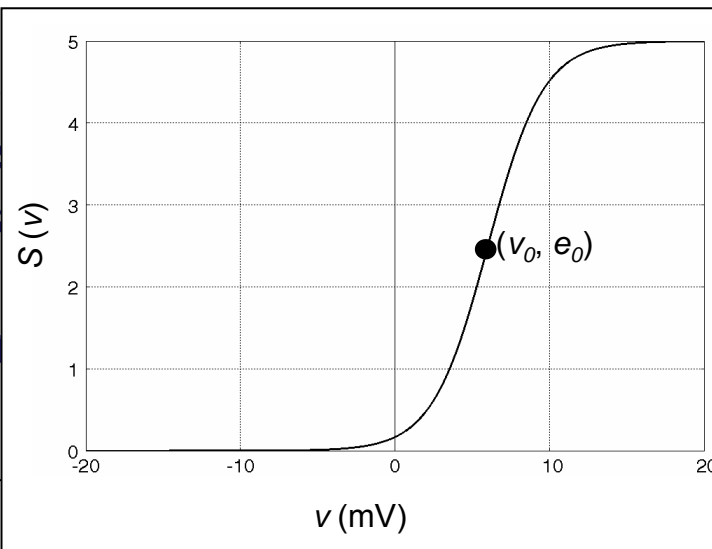


# “Pulse-to-wave” et “wave-to-pulse”

- « **Pulse to wave** »  
intégration passive  
→ représentée par une réponse impluviale



- « **Wave to pulse** »  
dépend d'une transmission passive  
moyen (effets de saturation)  
→ représentée par une fonction S(v)



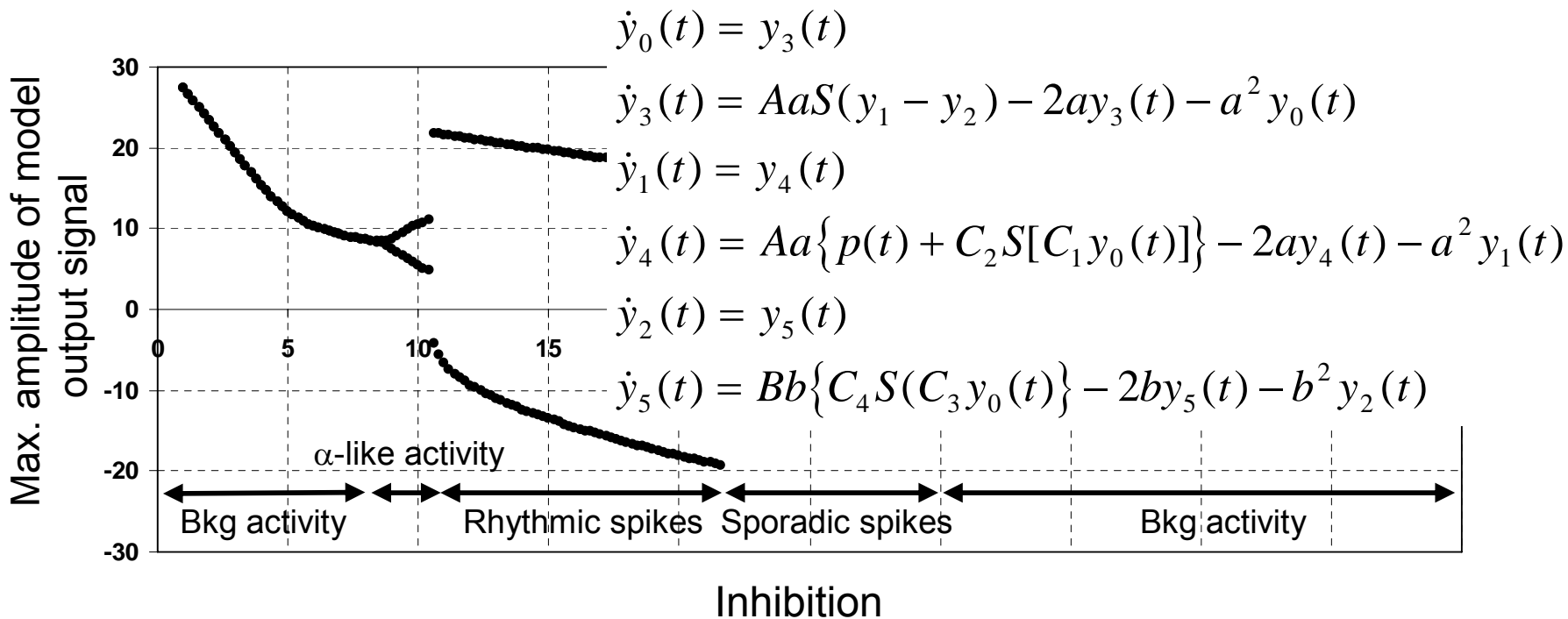
Le moyen résulte de l'intégration passive des AP's (dendrites) du second ordre de

$$x(t) - 2az_1(t) - a^2z(t)$$

potentiels d'action et potentiel membranaire

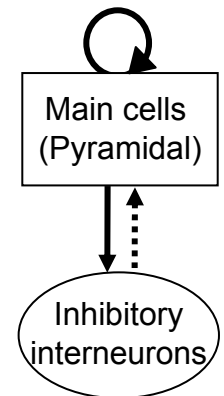
$$\frac{2e_0}{e^{r(v_0-v)} + 1}$$

# Schéma bloc et signaux générés

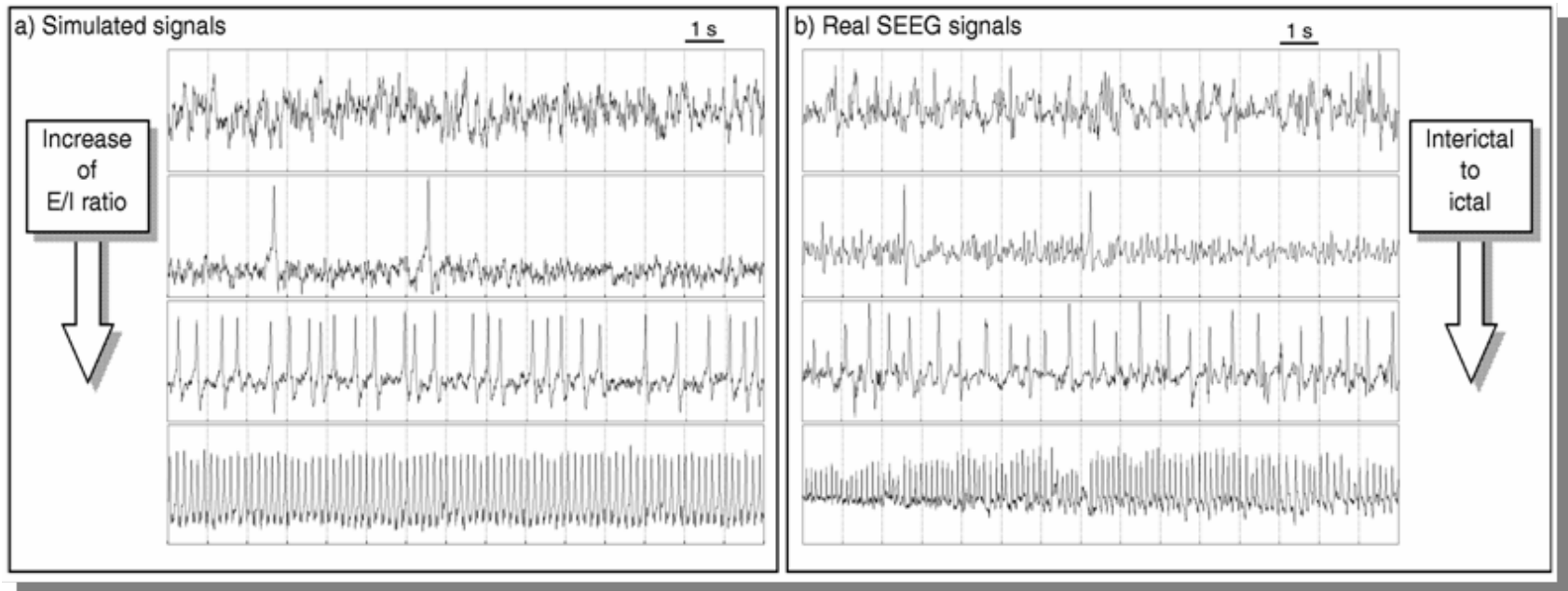


- Propriétés des signaux simulés comparables à celles des signaux observés

# Single population model



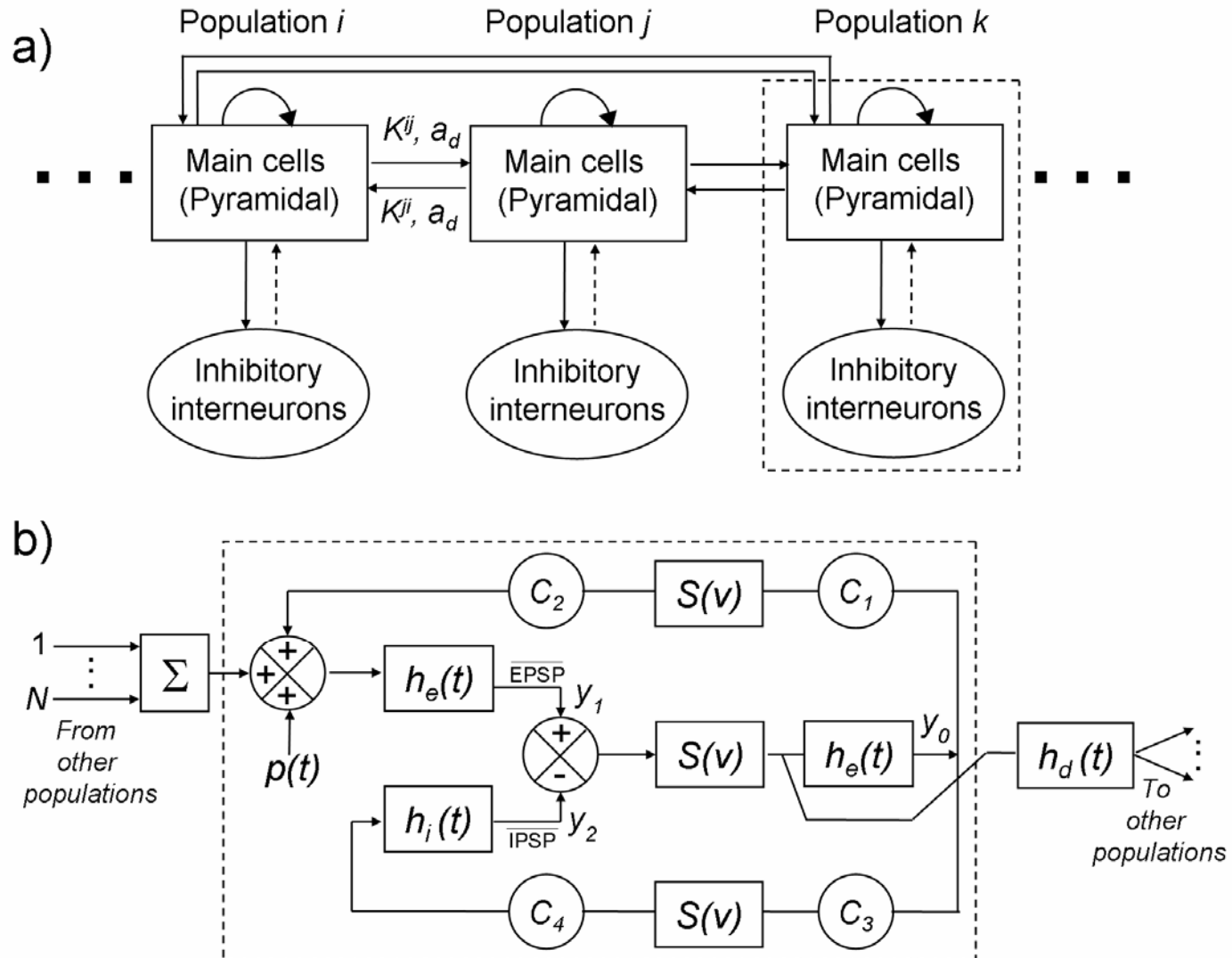
- Model configuration :  
Single population + progressive increase of the E/I ratio



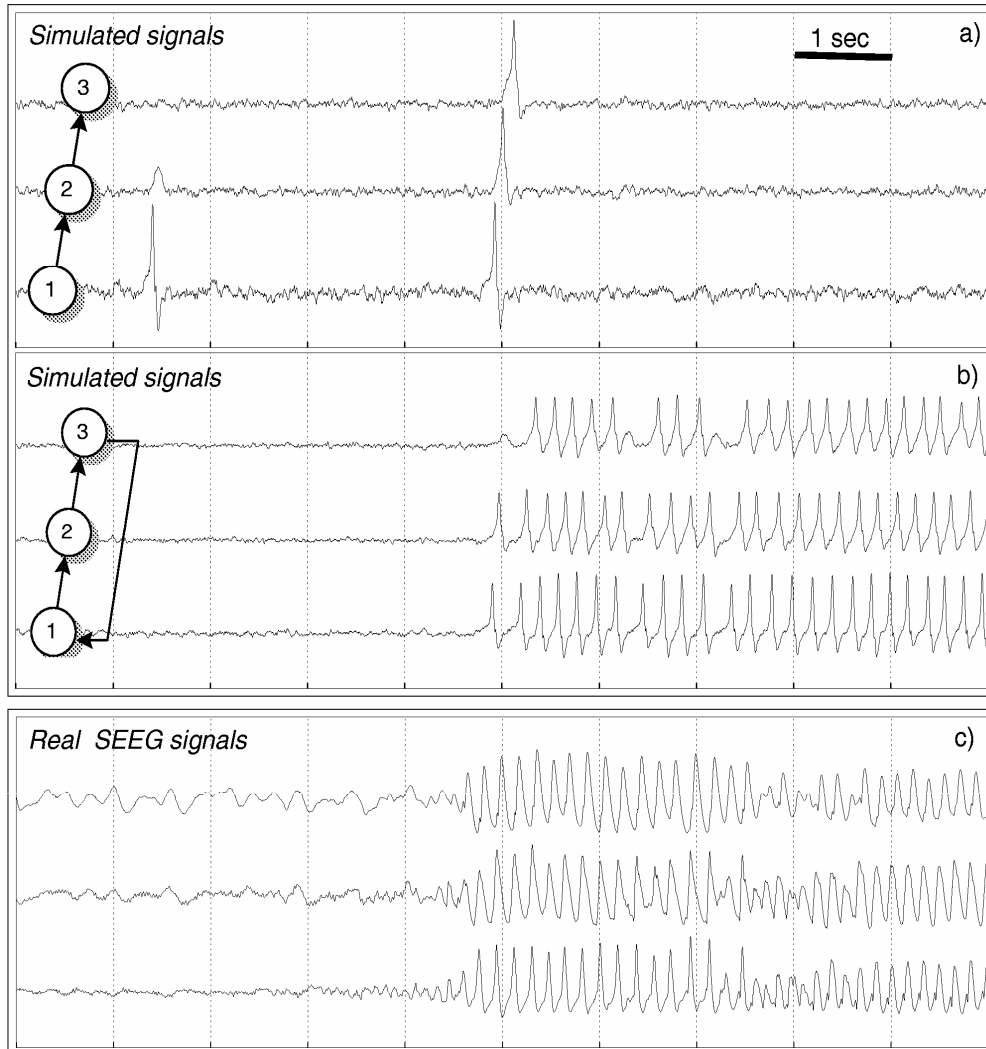
- Similarity with real intracerebral EEG signals

*Wendling et al., Biological Cybernetics, 2000*

# Model of multiple coupled populations



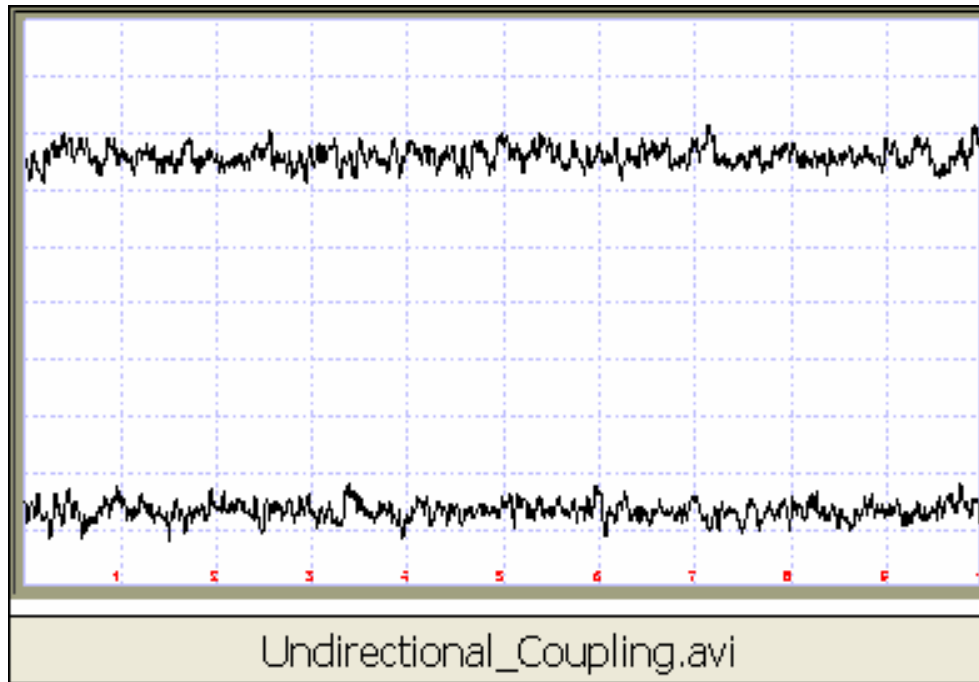
# Influence of couplings



- Model configuration :  
3 populations, unidirectional couplings & slight increase of the E/I ratio : *isolated spikes that propagate from P1 to P3*
- Introduction of a recurrent connection:  
*isolated spikes*  $\Rightarrow$  *sustained discharges of spikes*
- Real intracerebral EEG signals recorded from neocortical structures during a seizure (TLE)

# Simulation de signaux EEG à partir d'un couplage UNI-DIRECTIONNEL

2  
↑  
1

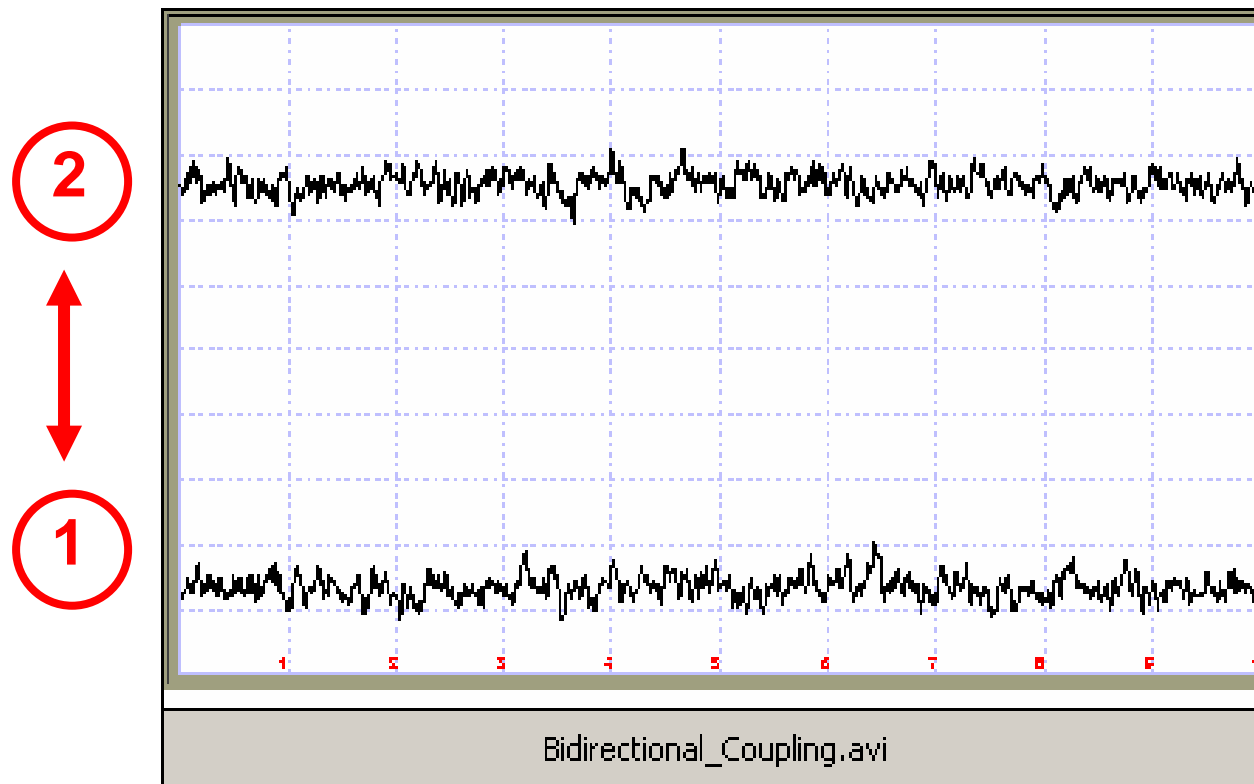


## Légende

E/I + : Augmentation du rapport Excitation/Inhibition

↑ C+ : Augmentation du couplage UNI-DIRECTIONNEL

# Simulation de l'EEG à partir d'un couplage BI-DIRECTIONNEL



## Légende

E/I + : Augmentation du rapport Excitation/Inhibition

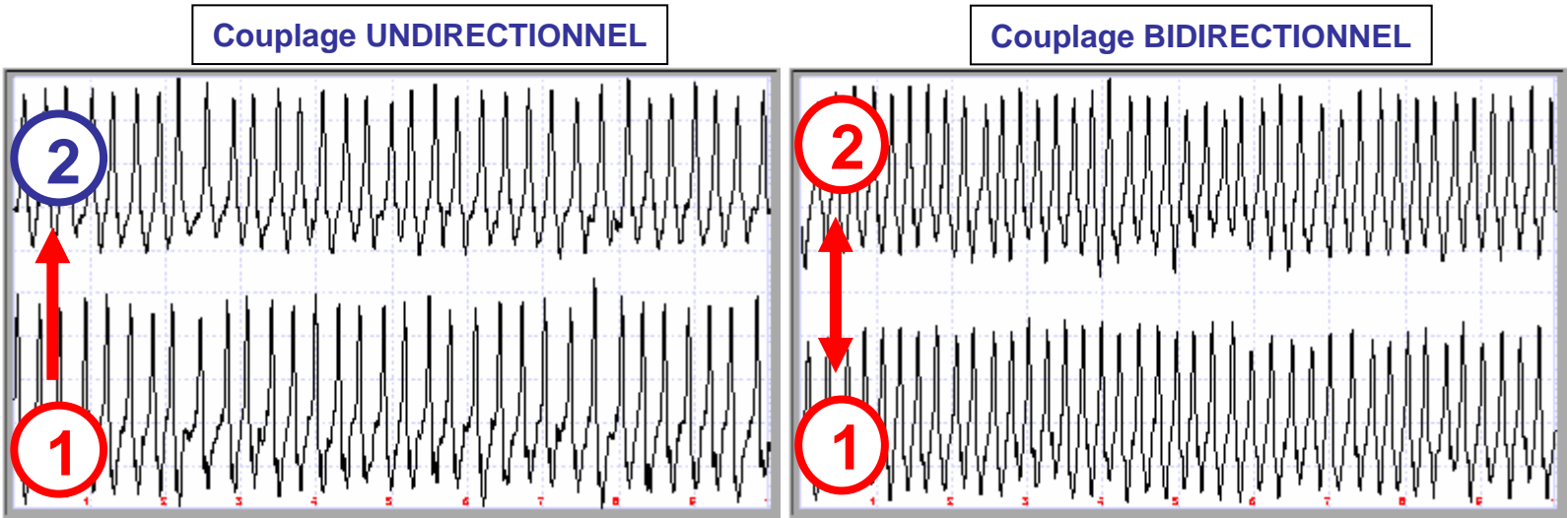
↔ C+ : Augmentation du couplage BI-DIRECTIONNEL

# **Une articulation Signal / modèle**

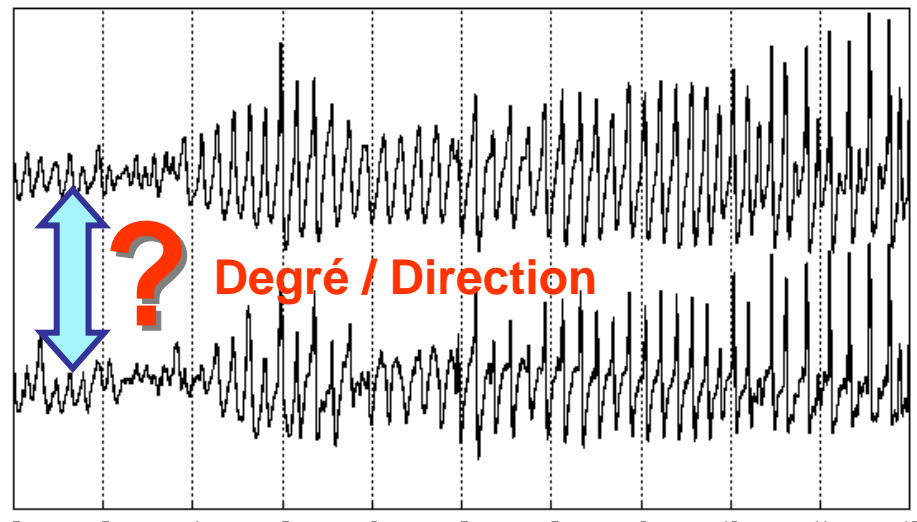
**Evaluation de méthodes de mesure  
de relation entre signaux**

# Problème posé

Signaux simulés



Signaux SEEG réels

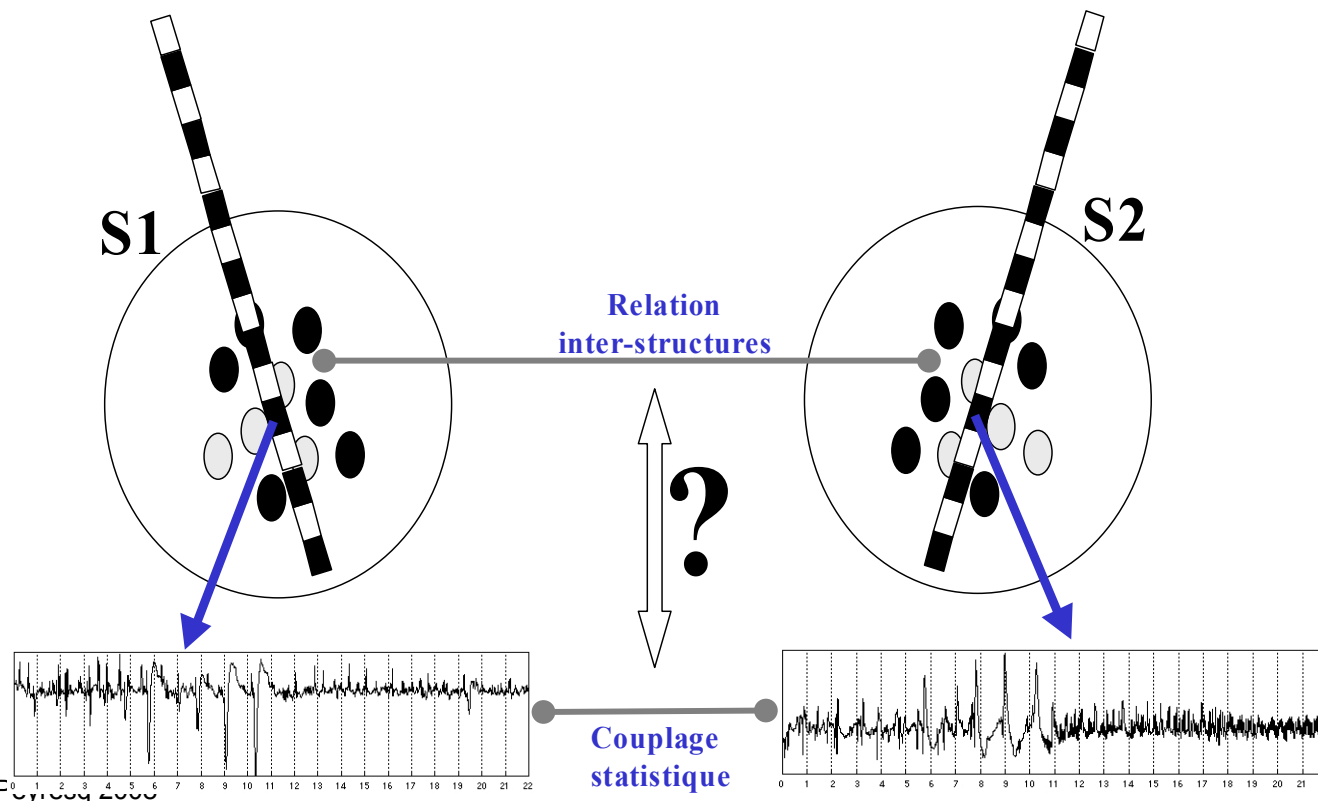


Gyrus temporal moyen

Gyrus temporal supérieur

# Caractérisation des relations entre structures ou régions cérébrales

- Objectif: quantifier le degré de **relation entre structures** ou régions à partir de la mesure d'un **couplage statistique** les signaux générés
- Les méthodes permettant d'évaluer ce couplage peuvent être **linéaires** ou **non linéaires, paramétriques** ou **non paramétriques, simples** ou **partielles.**



# Applications

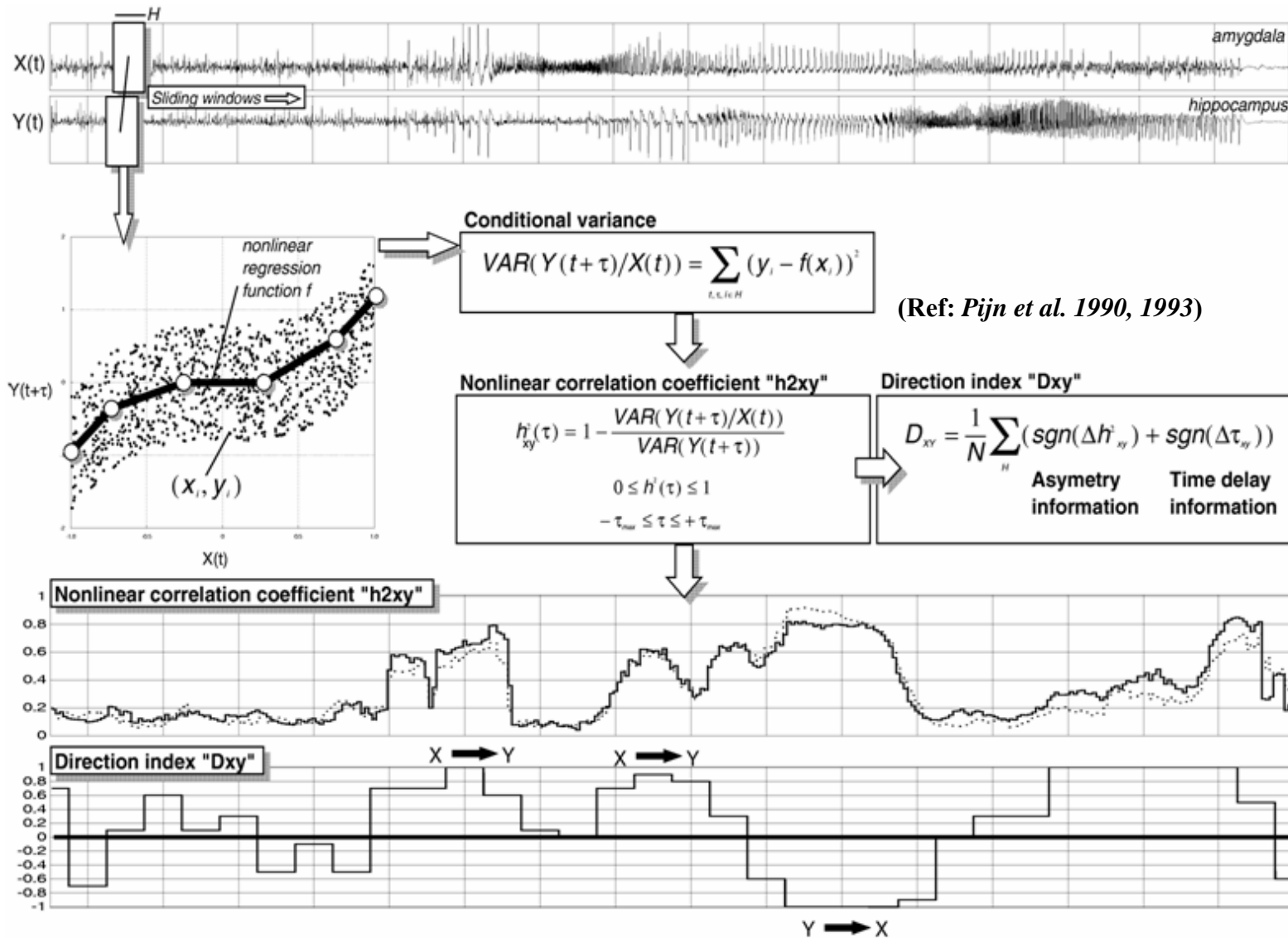
- Nombreuses: processus impliqués dans la cognition ou dans certaines pathologies (Épilepsies, Alzheimer, Schizophrénie)
- Point commun: déduire des informations sur la connectivité cérébrale à partir de mesures effectuées sur les signaux EEG
- Difficultés
  - Signaux EEG non stationnaires
  - Peu d'information *a priori* sur le type de relation
  - Méthodes dépendantes du modèle de relation choisi
  - Dépendance de la relation / fréquence
  - Influence du bruit et de la référence
  - Performances des estimateurs (biais, variance)

# Quelques repères bibliographiques

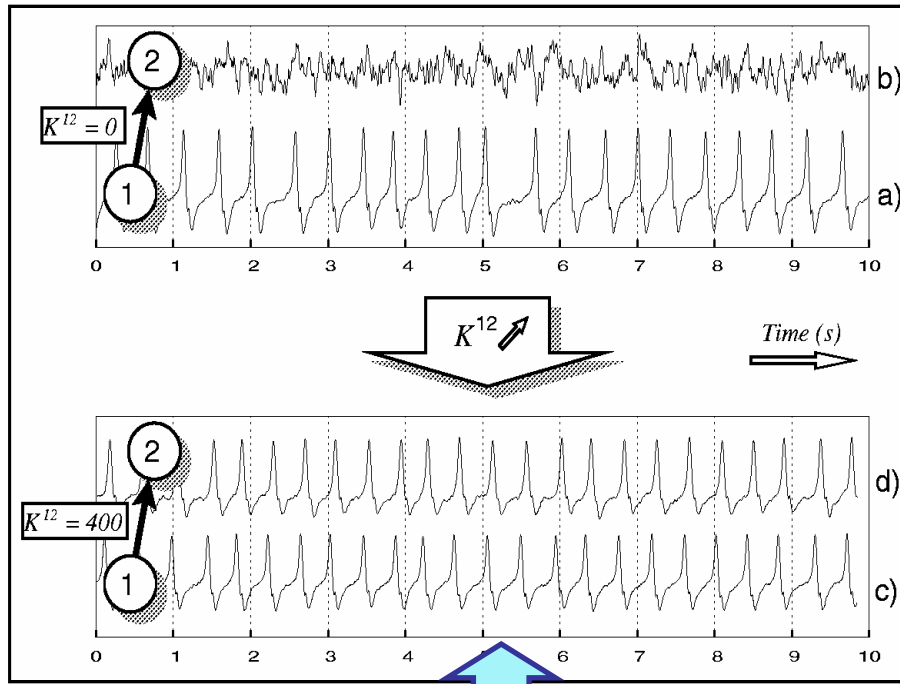
*Suivant les hypothèses sur la nature de la relation ...*

- Méthodes linéaires
  - Coefficient de corrélation linéaire
  - Cohérence (Brazier 65, Gotman, Duckrow, ~80)
  - Cohérence de phase (synchronies)
- Méthodes non linéaires
  - Entropie mutuelle (AAMI, Mars 83)
  - Régression non linéaire (Lopes da Silva, Pijn ~90)
  - Indices de similarité (méthodes issues de la théorie des systèmes dynamiques non linéaires, Lehnertz ~95)

# Characterization of functional couplings between structures using nonlinear regression analysis of SEEG signals



## Evaluation of the method using the model : unidirectional coupling



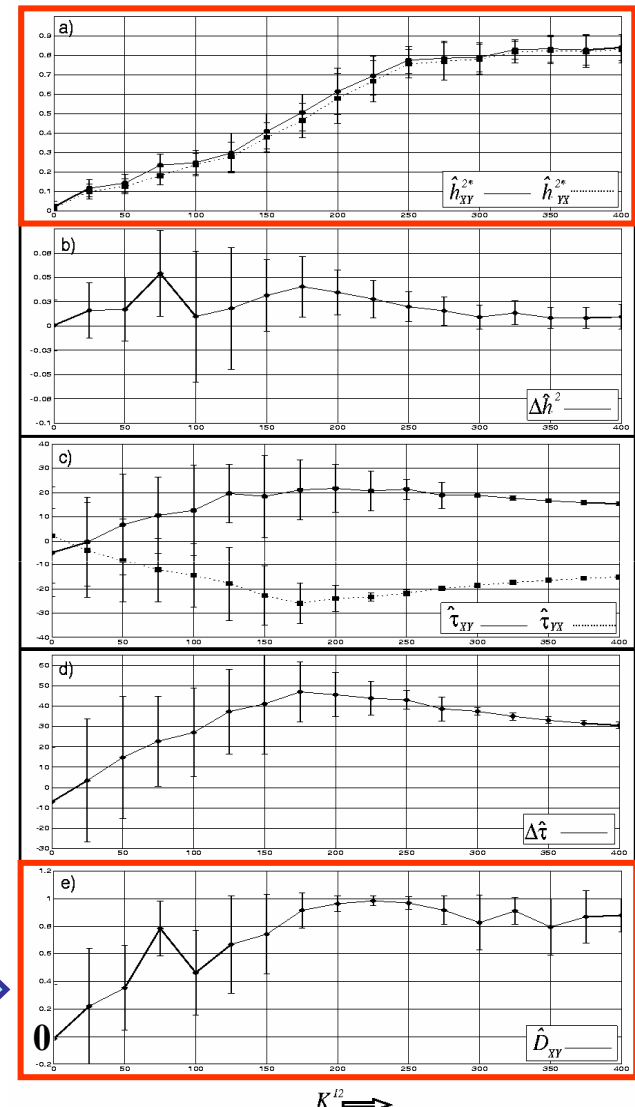
**Model configuration :**

2 populations, increasing UNI-directional  
coupling: *activity in population 2 depends on that  
in population 1*

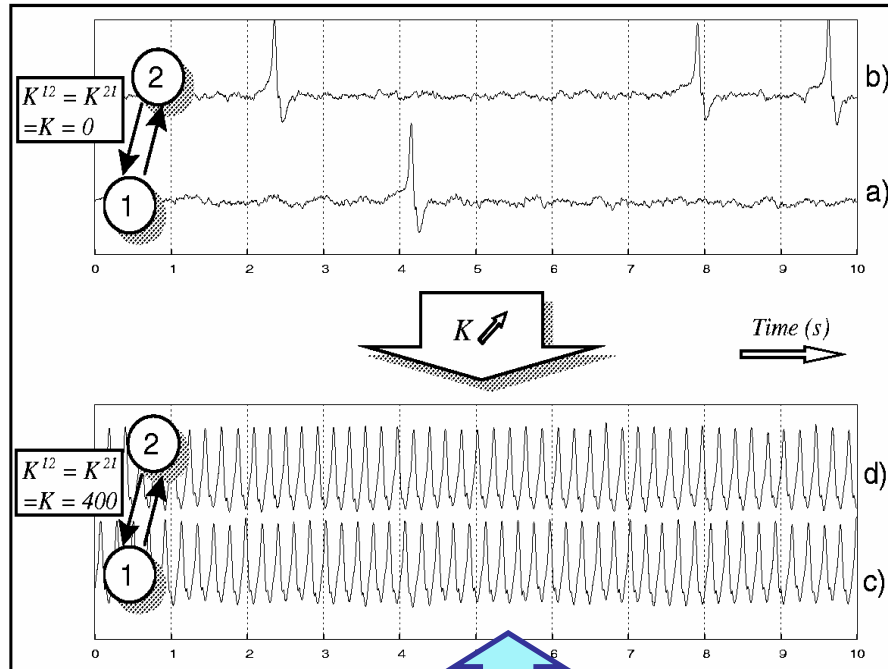
**Nonlinear analysis results :**

$h_{2xy}$  “follows” the degree of coupling

$D_{xy}$  indicates unidirectional coupling from 1 to 2



## Evaluation of the method using the model : bidirectional coupling



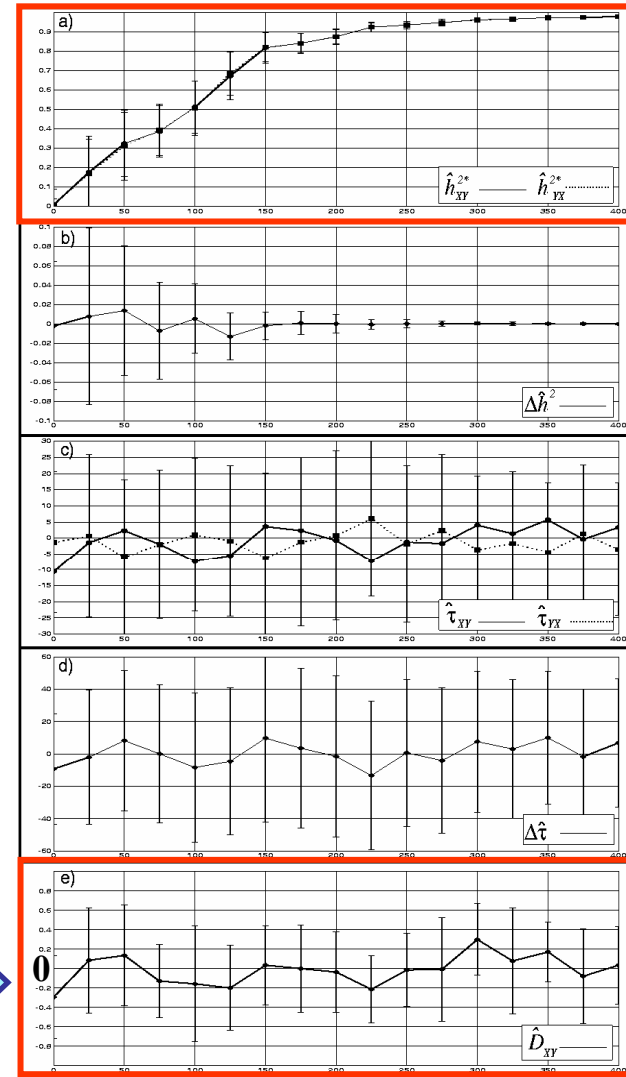
Model configuration :

2 populations, increasing BI-directional coupling: interdependent activities in both populations

Nonlinear analysis results :

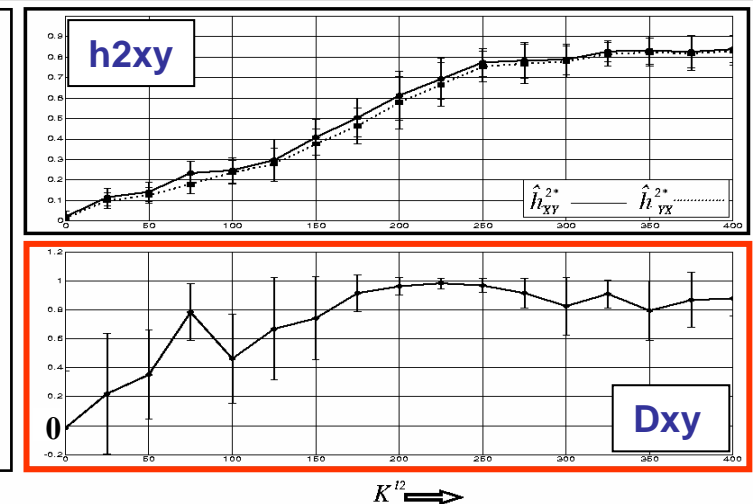
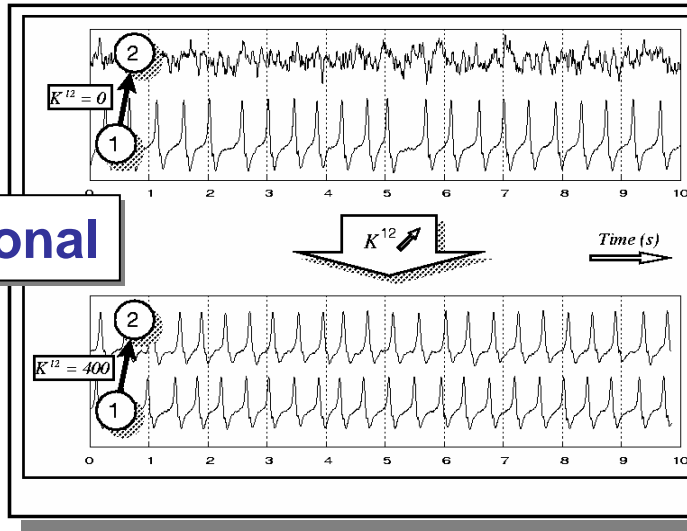
$h_{2xy}$  “follows” the degree of coupling

$D_{xy}$  indicates BI-directional coupling between 1 & 2

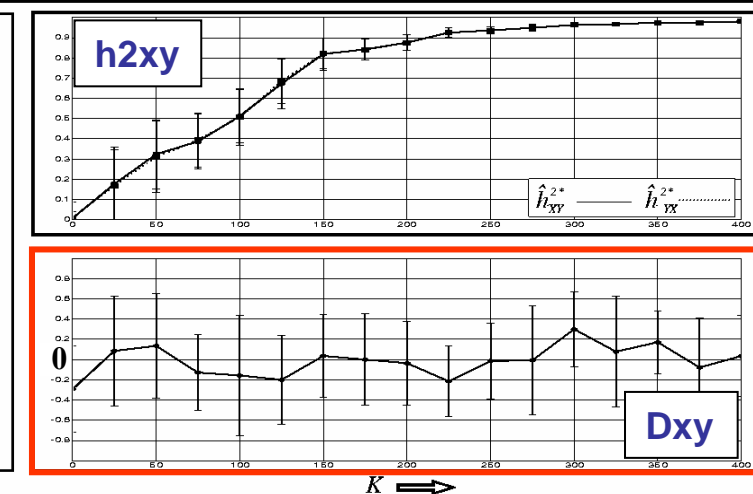
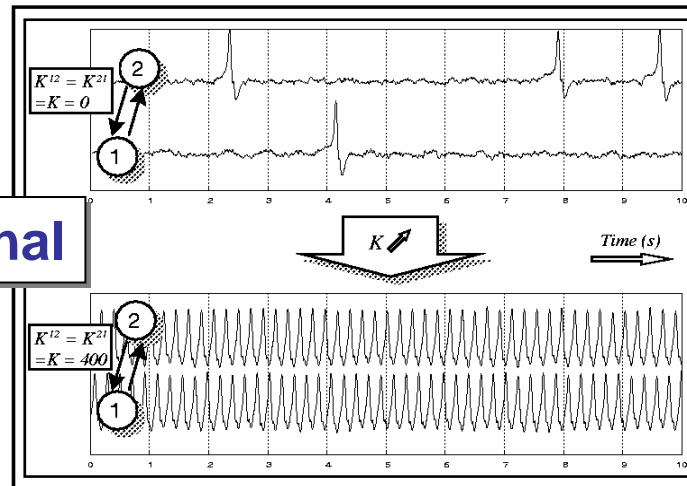


# Uni-directional coupling versus bi-directional coupling

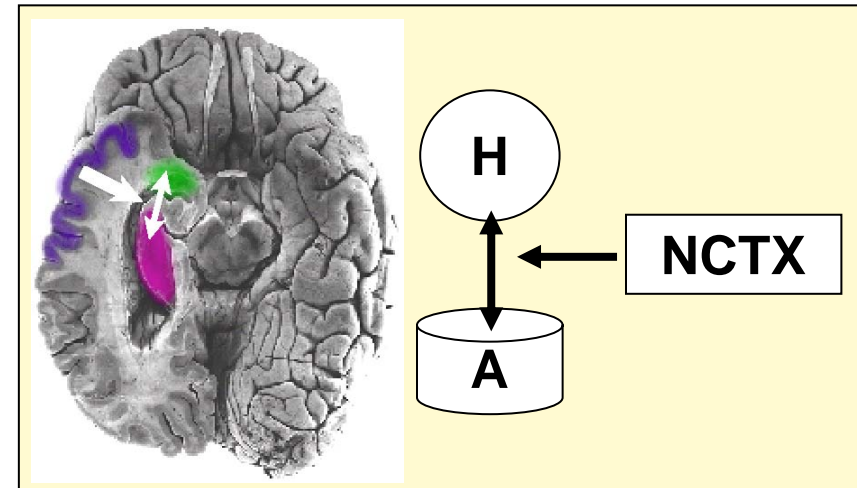
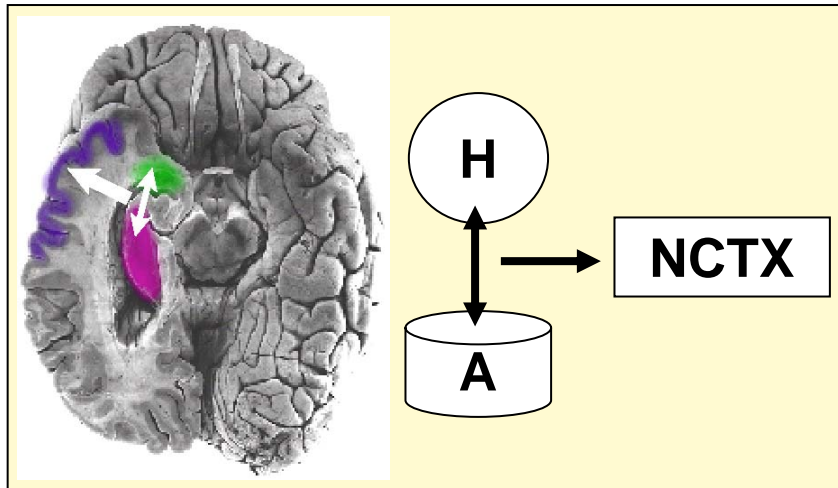
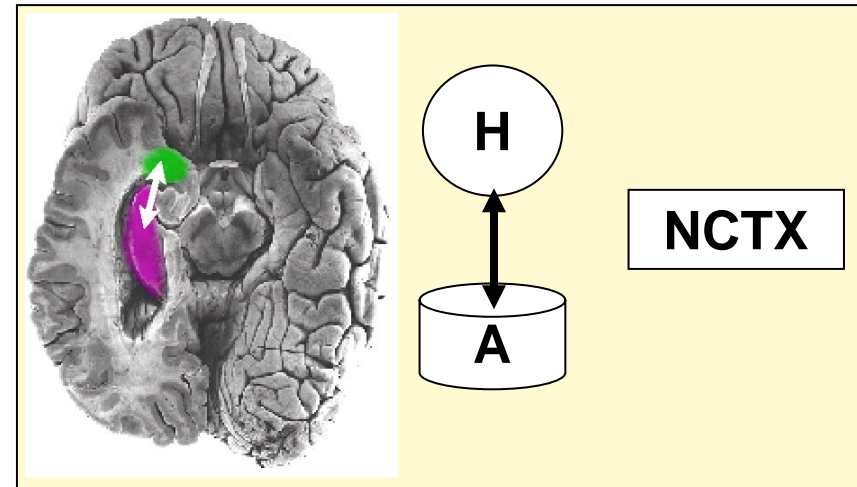
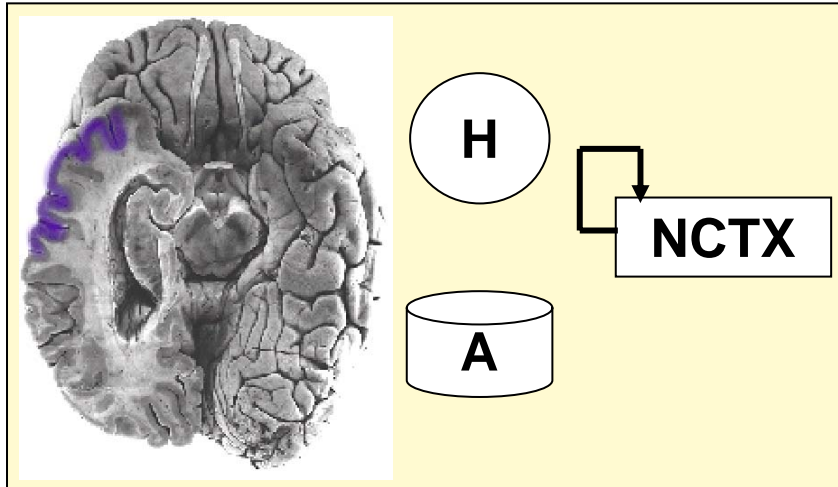
## Uni-directional



## Bi-directional



## Clinical findings. Identification of TLE subtypes

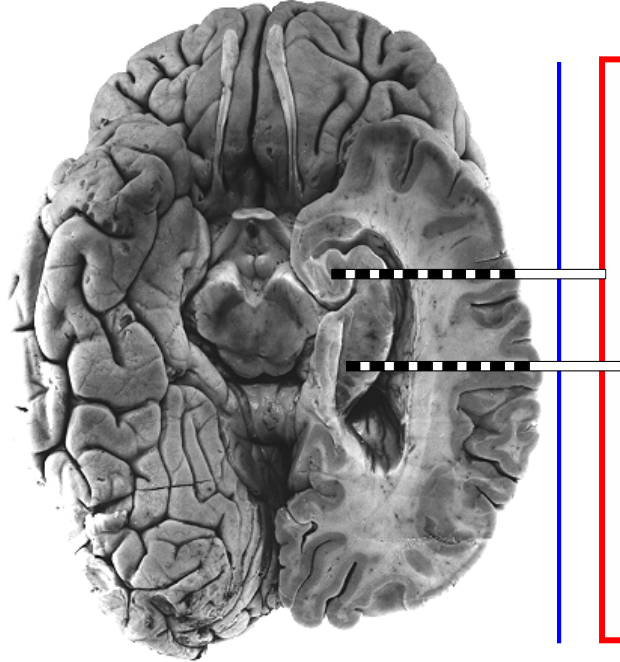


Ref: Bartolomei et al., Clinical Neurophysiology, 1999, 2002.

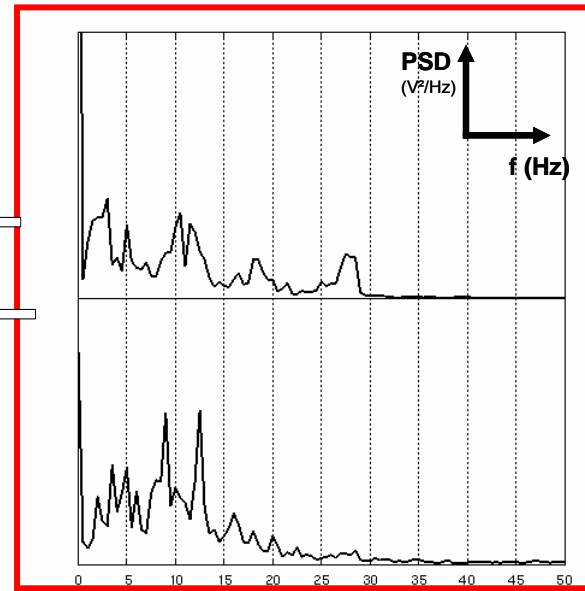
# Oscillations rapides & incomplétude du modèle ...

# Densités spectrales

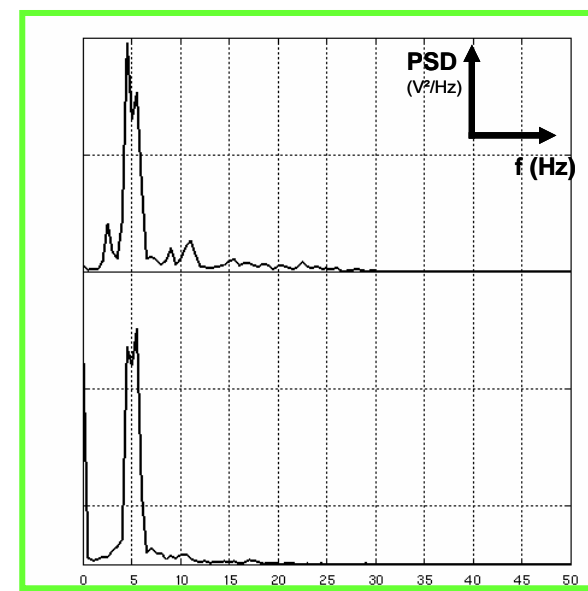
Post. hip.  
Ant. hip.



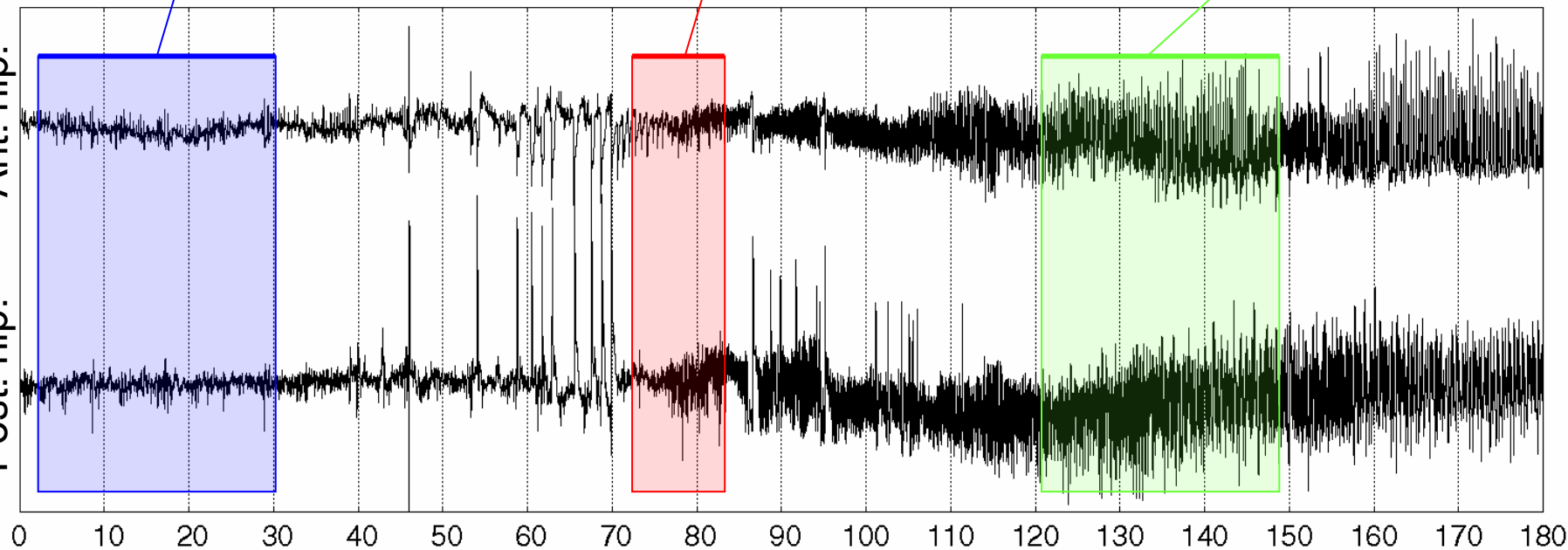
Onset



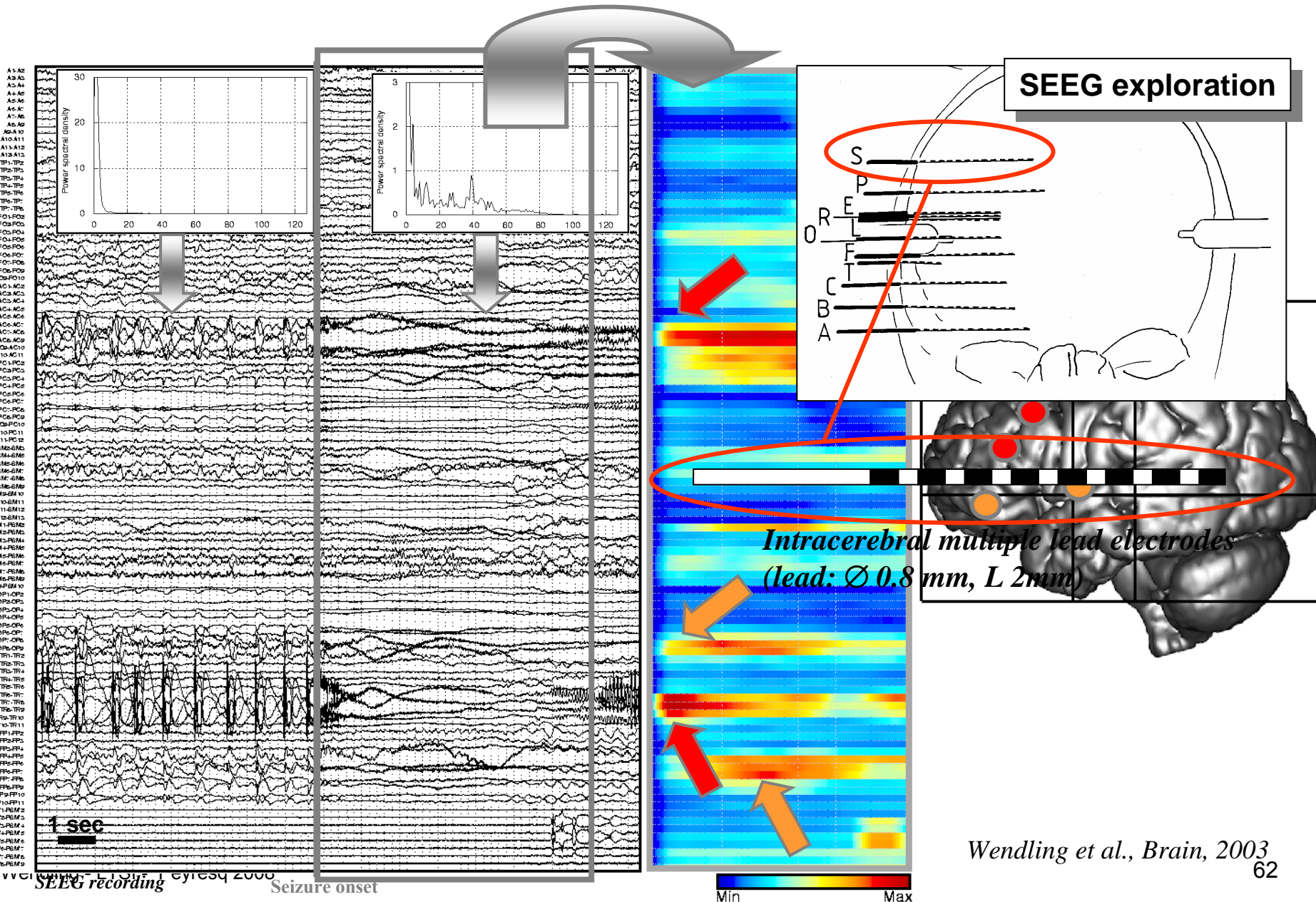
Ictal



Post. hip.  
Ant. hip.



# Oscillations rapides. Début des crises

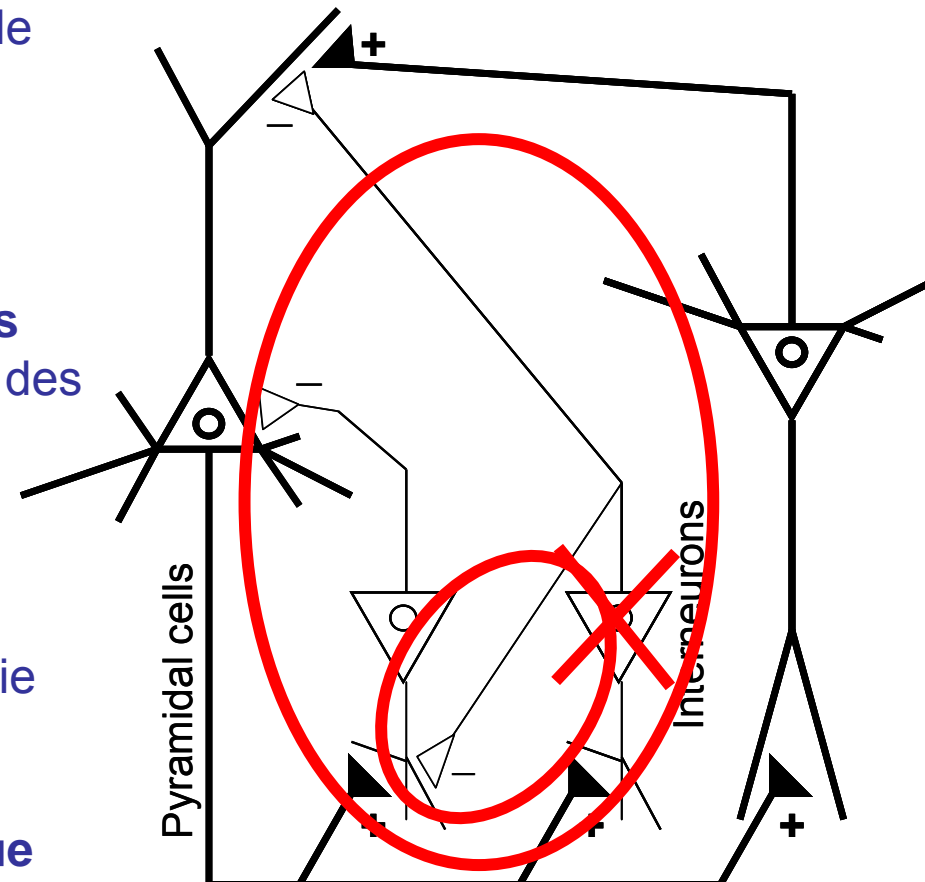


# Données issues de la neurobiologie

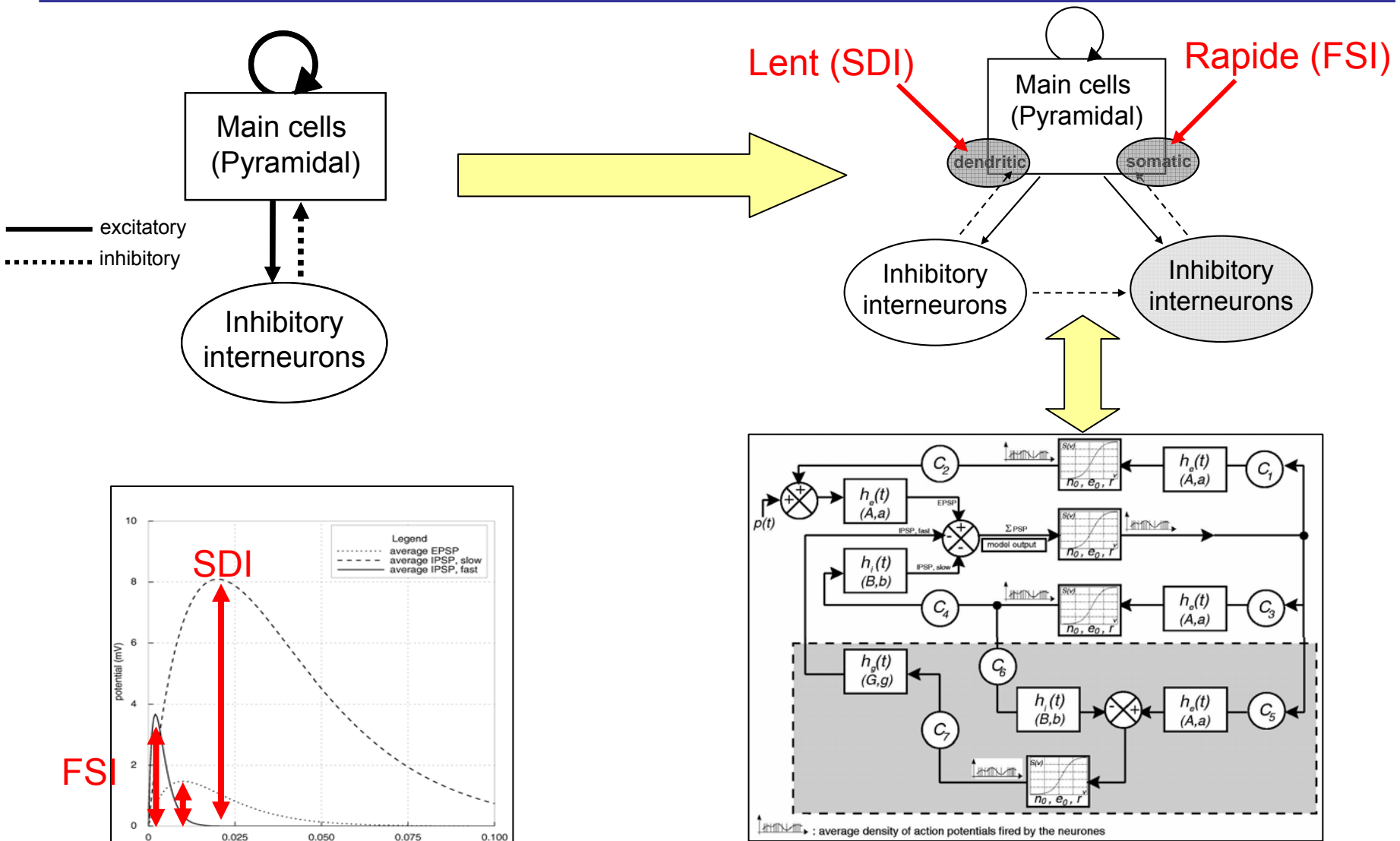
1) La génération des activités dans la bande gamma est liée au comportement des **interneurones** (« inhibition-based rhythms ») (Traub, Jefferys, ..., 1999)

2) L'activité des interneurones **somatiques** (circuit GABA<sub>A,fast</sub>) est **contrôlée par** celle des interneurones **dendritiques** (GABA<sub>A,slow</sub>) (Banks, Neuron 2000)

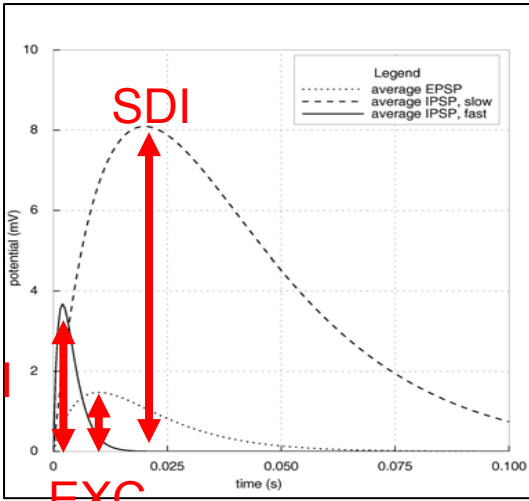
3) Dans le modèle expérimental d 'épilepsie focale (acide kainate), l'altération de l 'inhibition GABAergique n 'est pas uniforme: **baisse** de l'inhibition **dendritique** et **hausse** de l'inhibition **somatique** (Cossart, Nature Neurosc. 2001)



# Extension du modèle initial



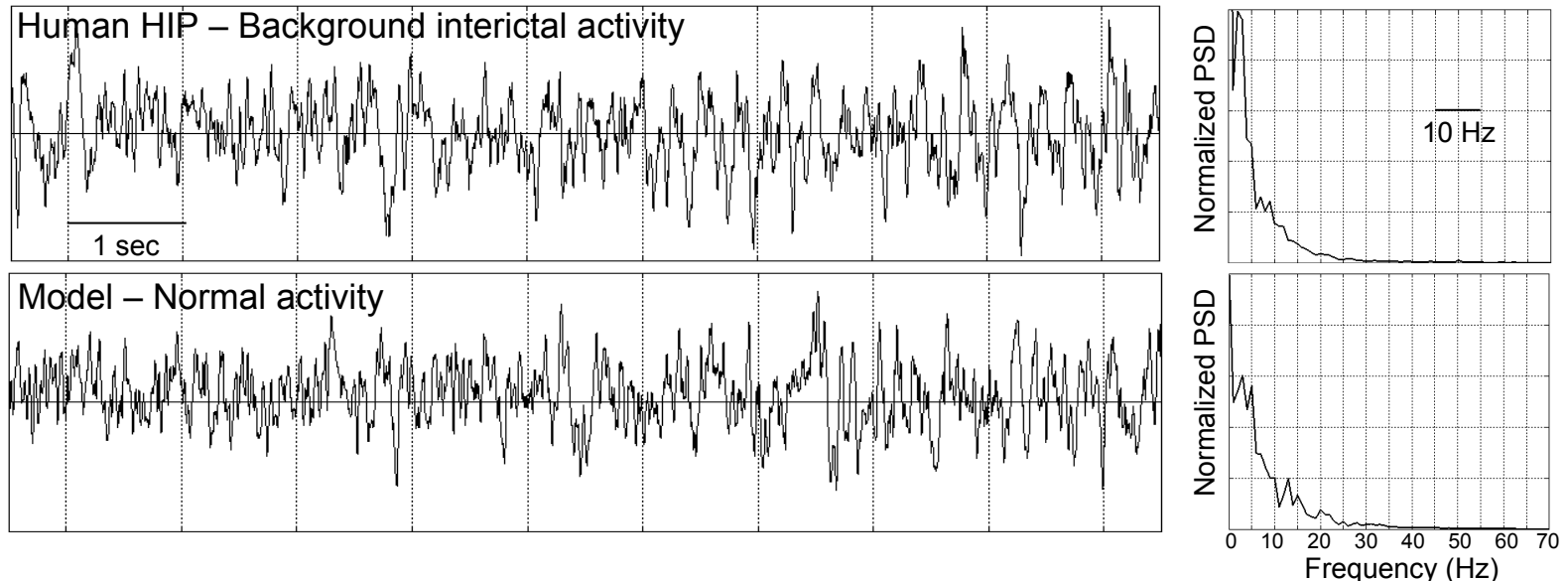
FSI  
EXC  
SDI



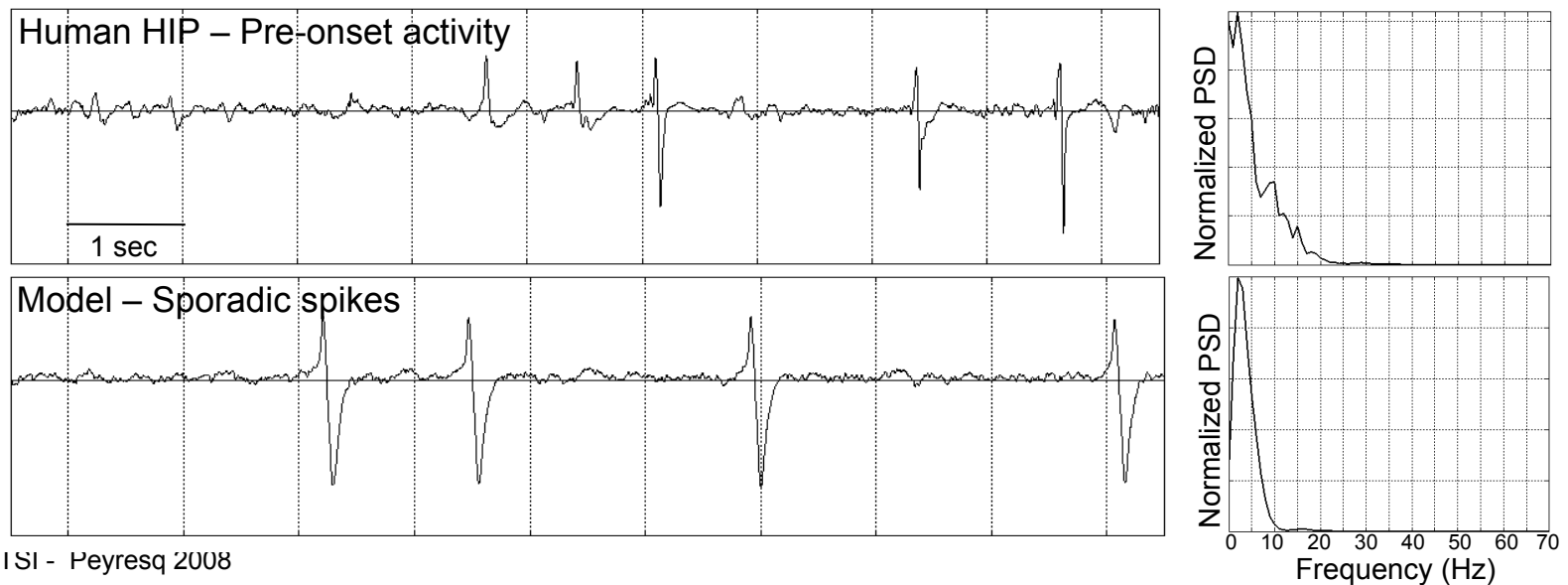
European J. Neurosci., 2002, J. Clin Neurophysiol. 2005

# Signaux simulés versus signaux réels (intercritique)

a)



b)



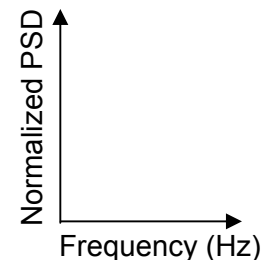
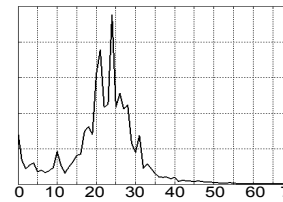
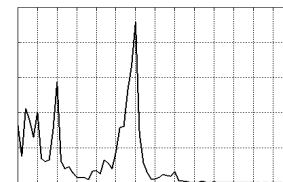
# Signaux simulés versus signaux réels (critique)

C)

Human HIP – Fast onset activity

1 sec

Model – Fast activity ( $\beta$ , low  $\gamma$ )

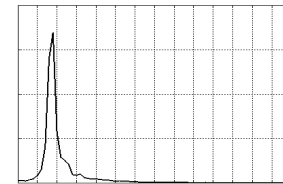
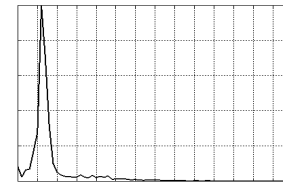


d)

Human HIP – Ictal activity

1 sec

Model – Narrow band activity ( $\theta$ ,  $\alpha$ )

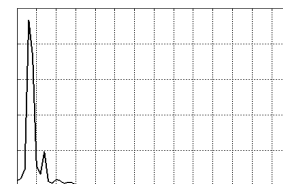
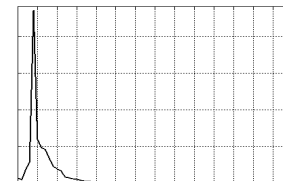


e)

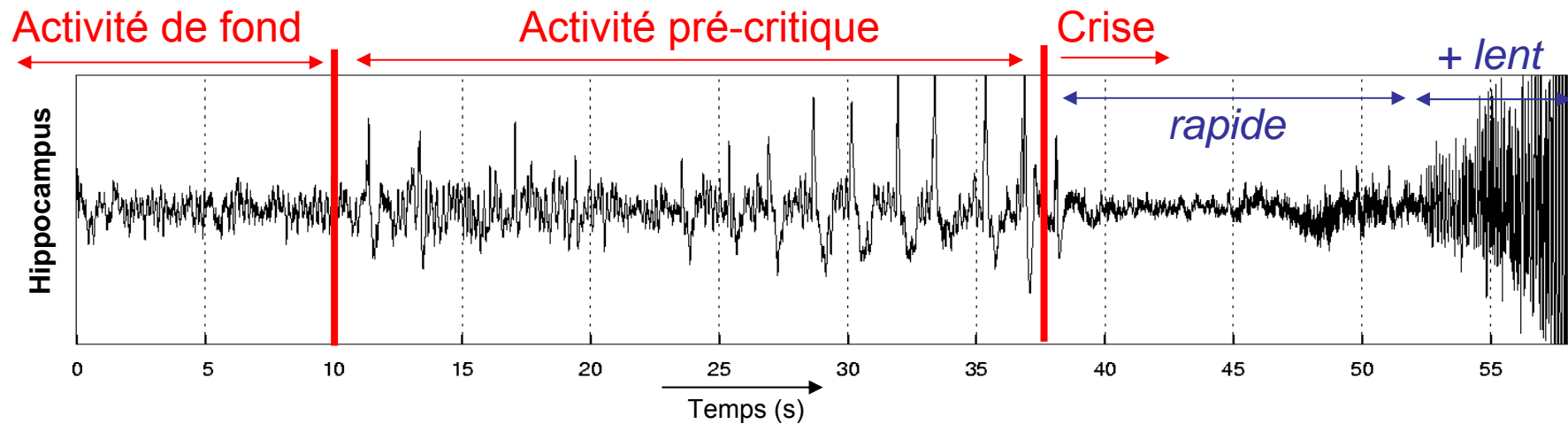
Human HIP – Ictal activity

1 sec

Model – Rhythmic spiking activity ( $\theta$ )



# Transitions de dynamiques

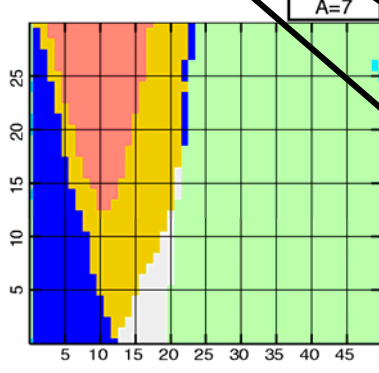
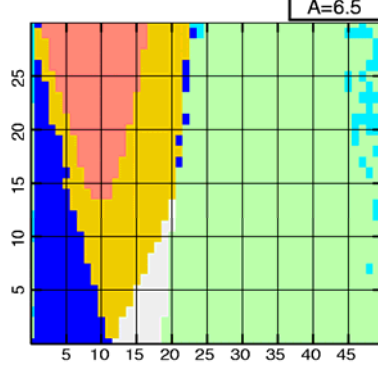
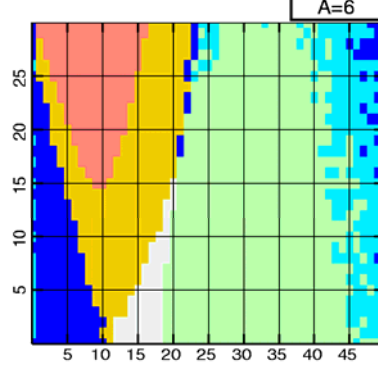
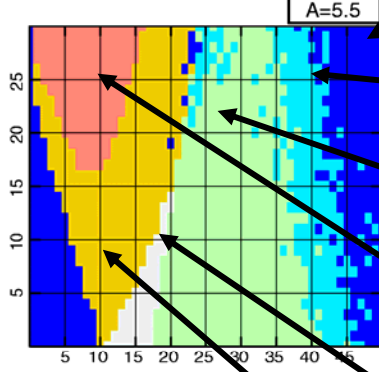
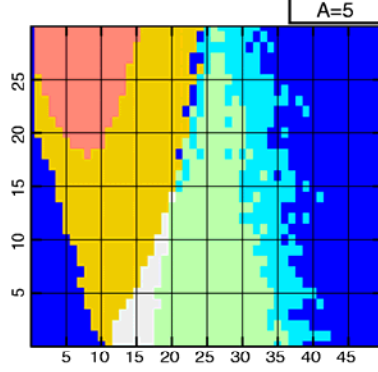
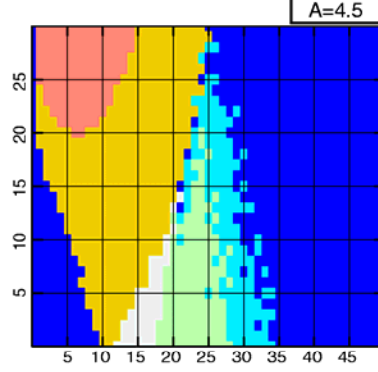
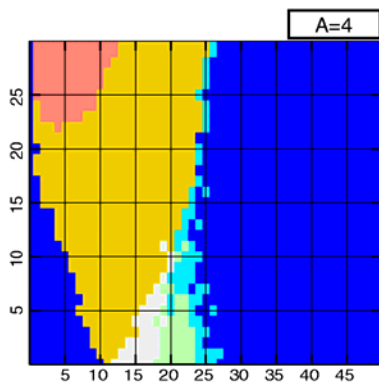
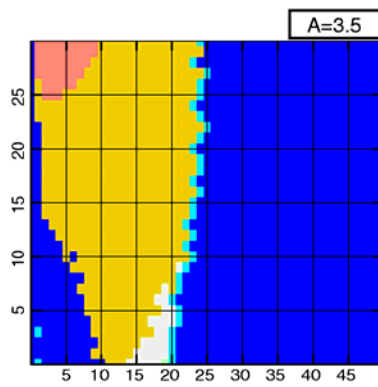
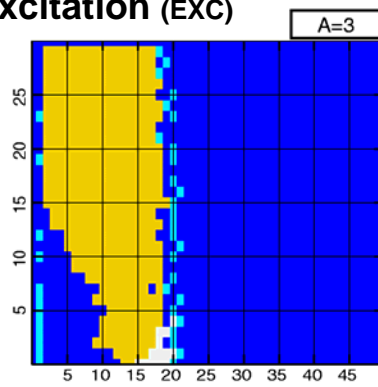


Objectif: interpréter, dans le modèle, les ruptures observées en fonction des paramètres liés à l'excitation et l'inhibition (**EXC, SDI, FSI**)

→ Analyse de sensibilité aux paramètres

# Espace des paramètres et classes de signaux simulés

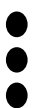
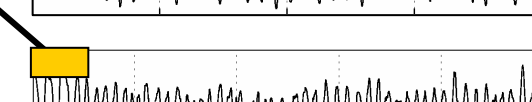
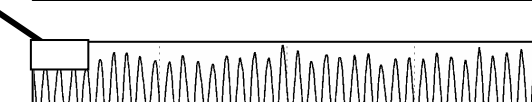
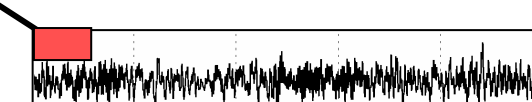
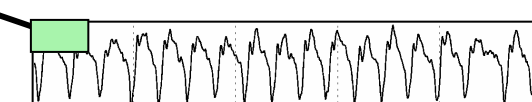
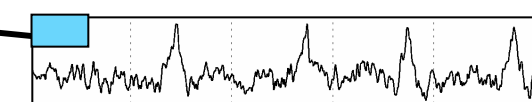
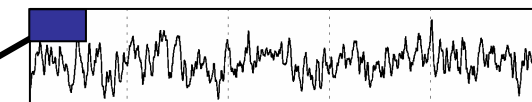
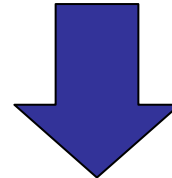
**Excitation (EXC)**



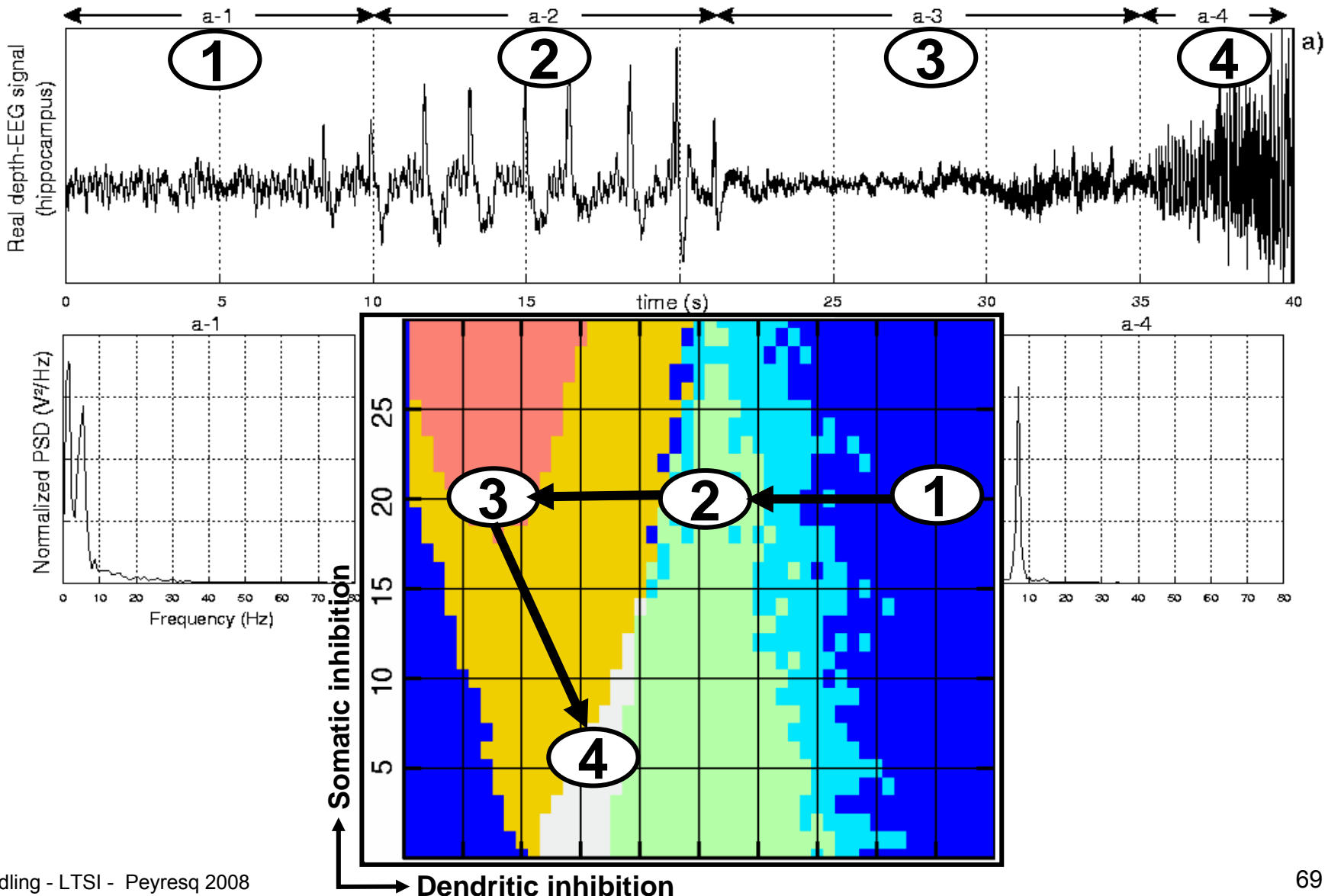
→ Dendritic inhibition (SDI)

Type 1   Type 2   Type 3   Type 4   Type 5   Type 6

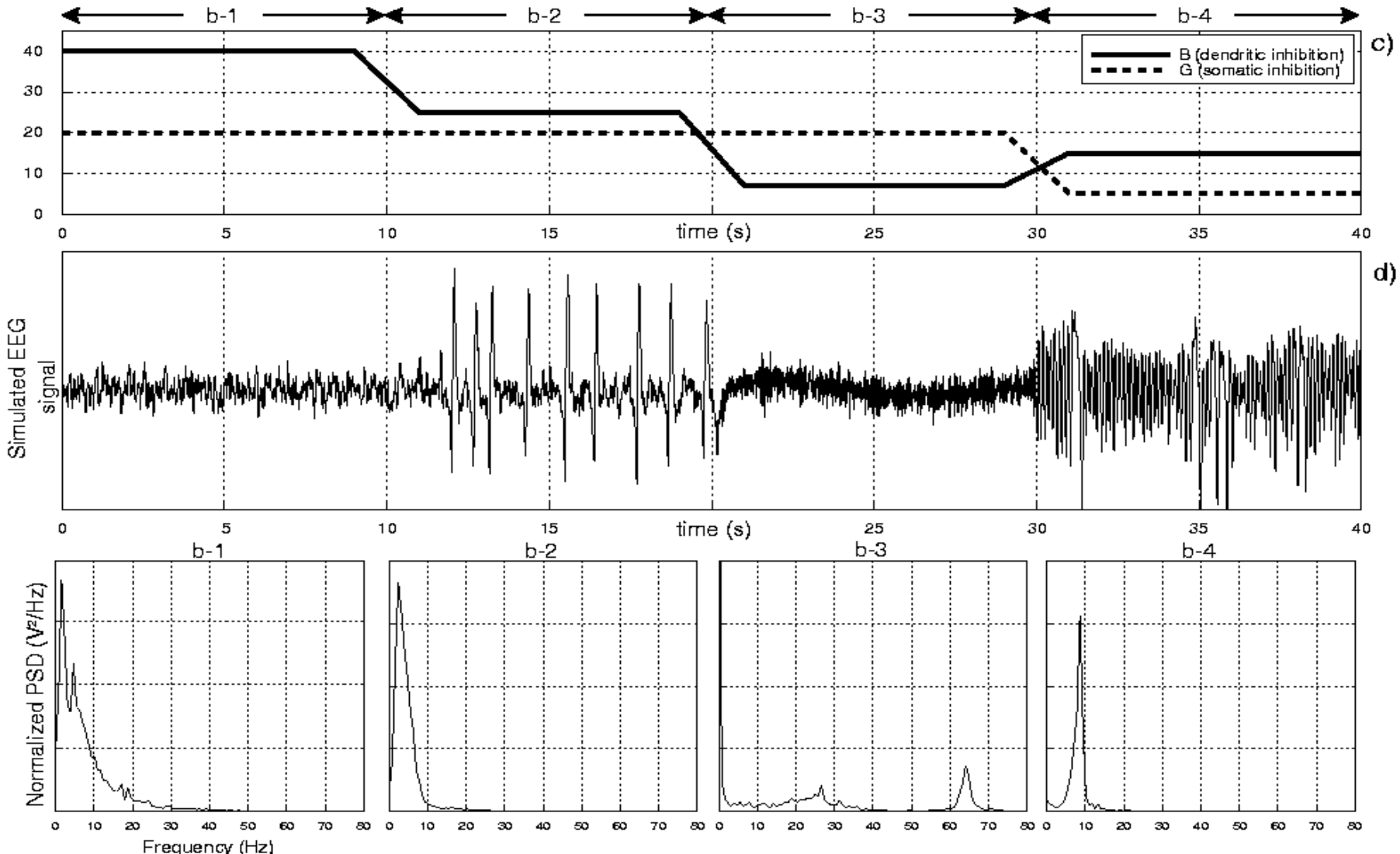
(EXC,SDI,FSI)



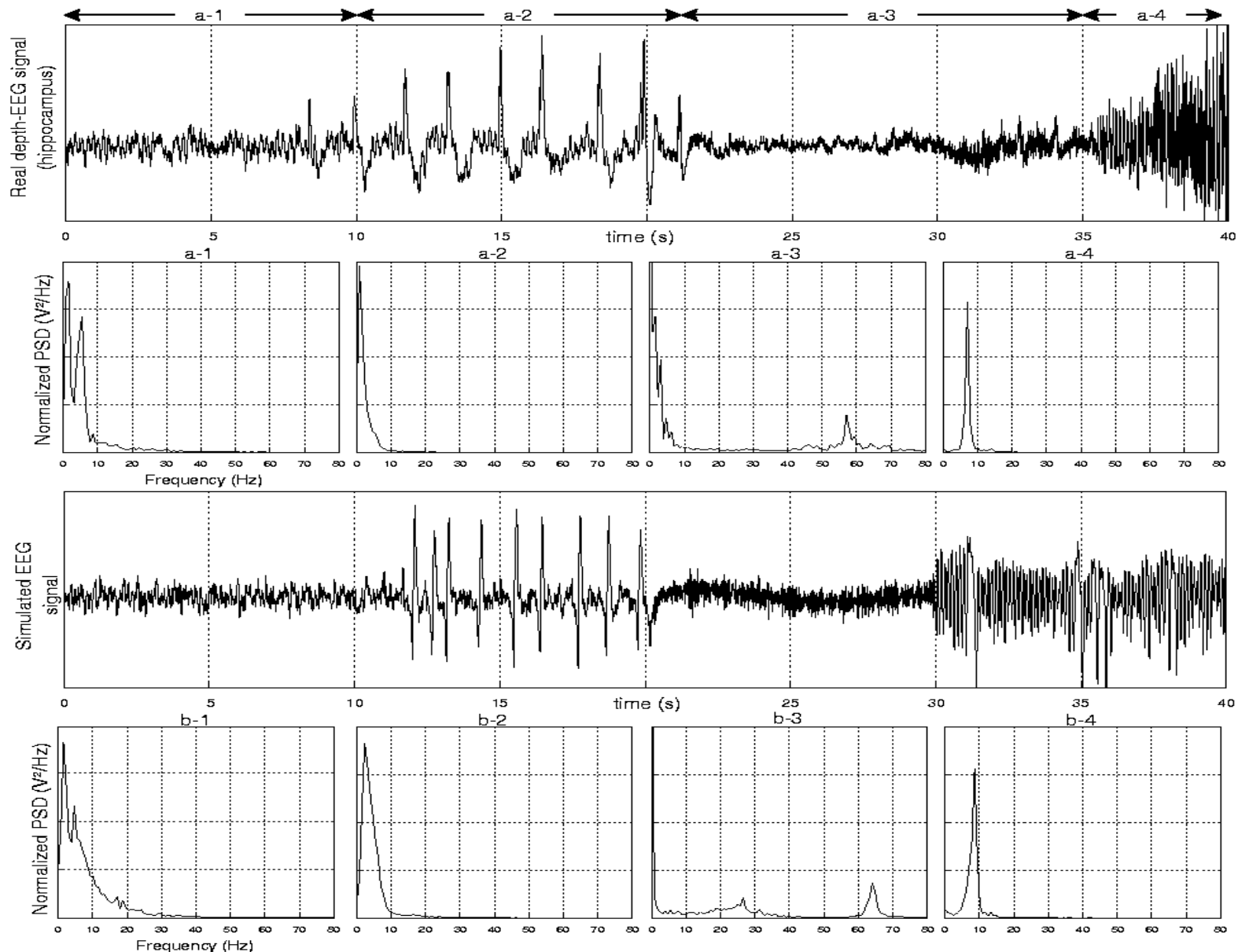
## Transition intercritique → critique : interprétation (1/2)



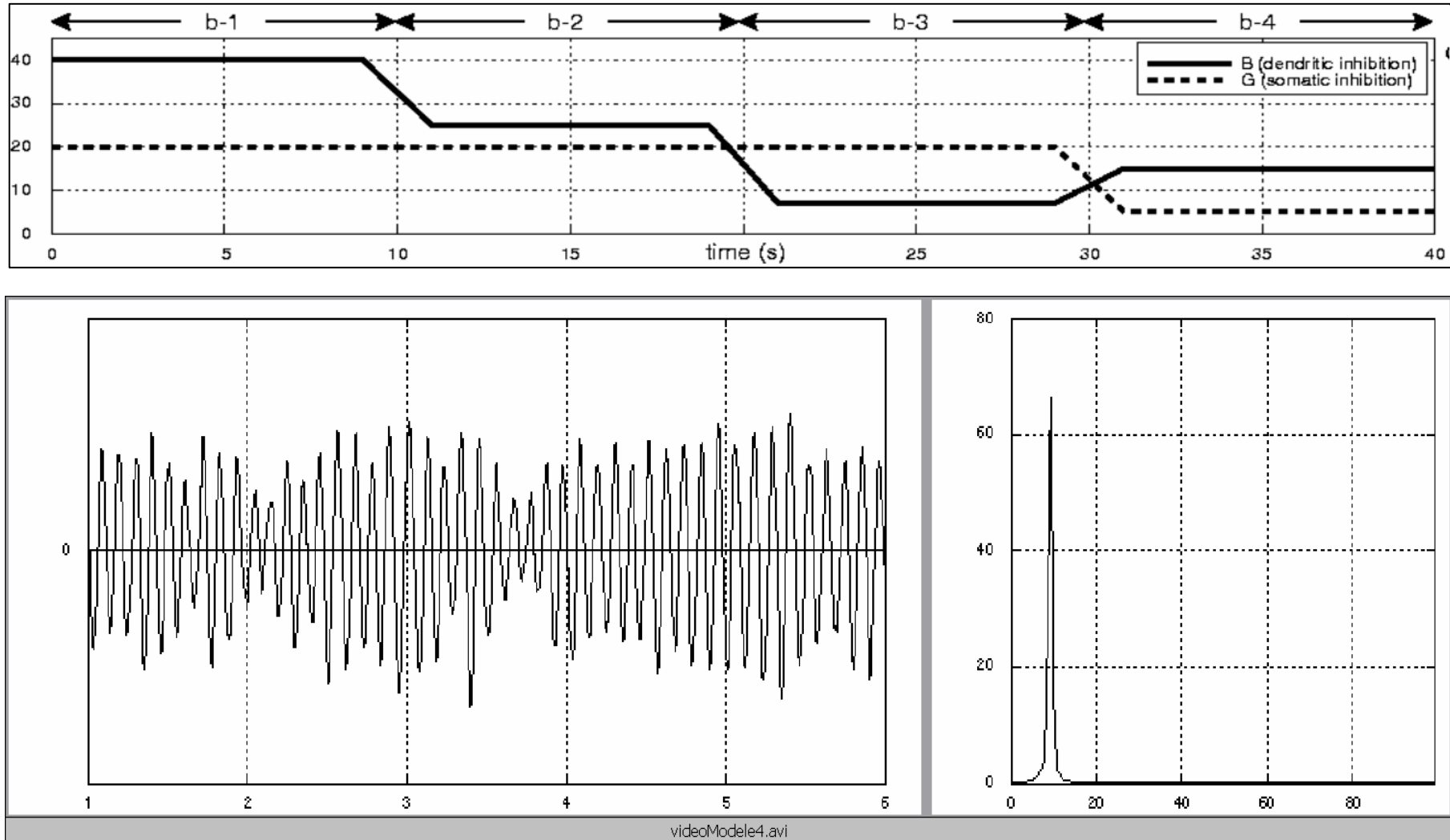
## Transition intercritique → critique : interprétation (2/2)

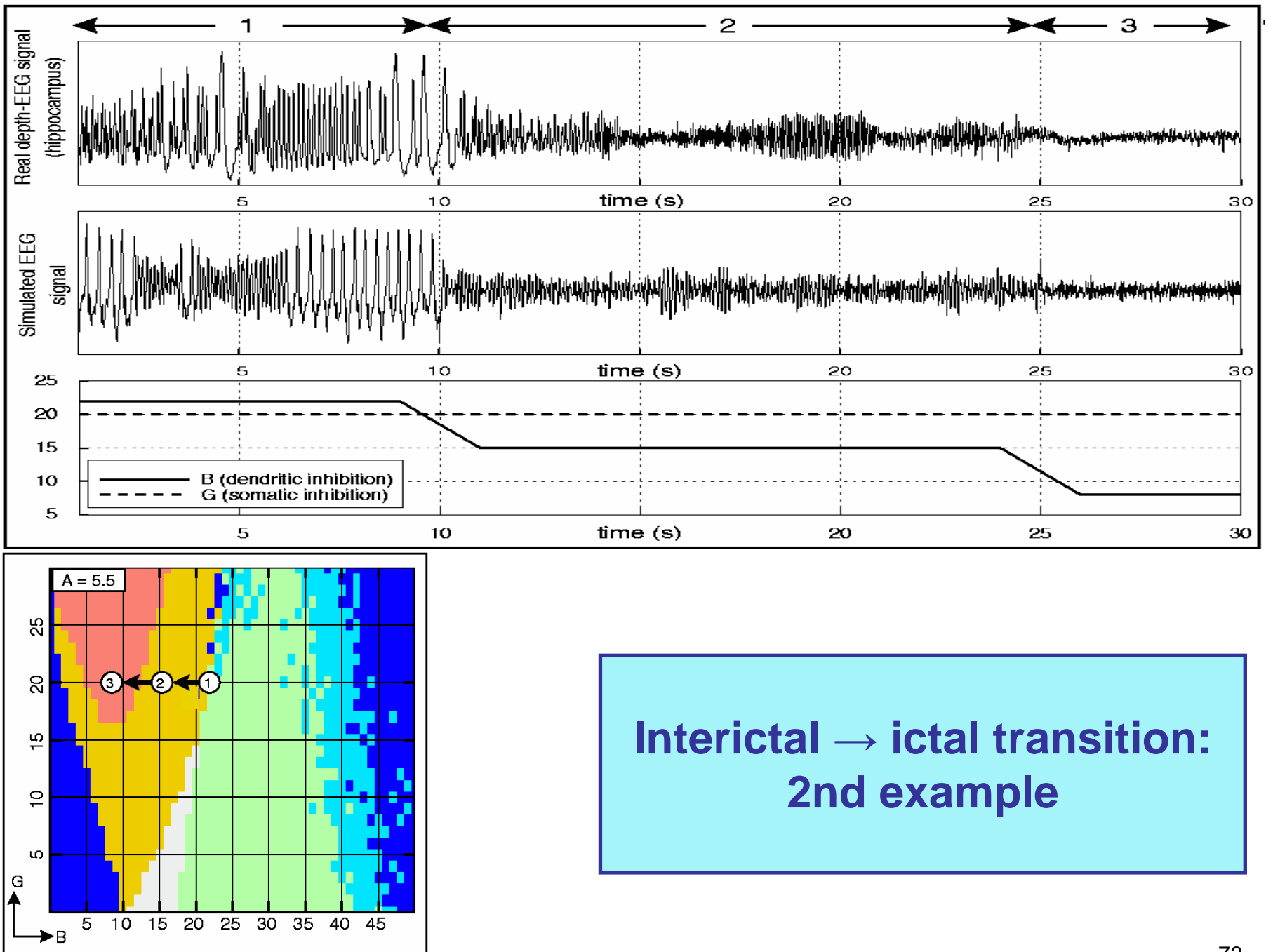


# Réel versus simulé



# Transition intercritique → critique





## Discussion about the « macroscopic approach »

- Confirmation of particular experimental results
  - *alteration of interneurons (targeting the dendrites of Pyr cells)*
  - *role of inhibitory interneurons (targeting the soma of Pyr cells) in the generation of fast oscillations*
- Macroscopic level of the model (population) ⇒ nature of real EEG signals (intracerebral macroelectrodes).
- Class of models can be specifically adapted to explored brain structures (ex: hippocampus) or macrocircuits (thalamo-cortical loop, olfactory system)

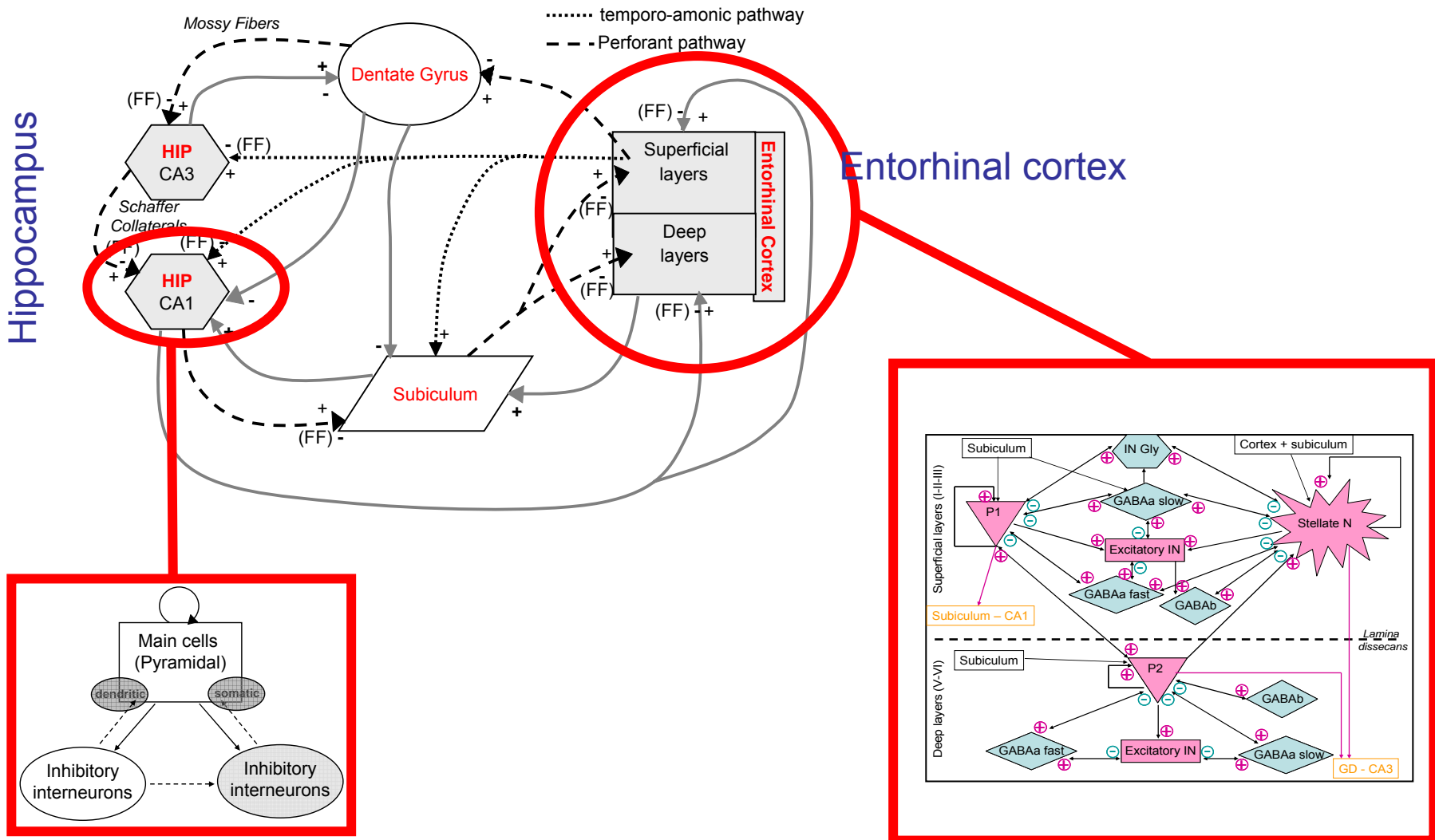
However

- 1) Several structures are often involved simultaneously (hippocampus-entorhinal cortex system in MTLE)
- 2) Identified parameters remain « macroscopic » (excitation, inhibition)
- 3) Non invasive data (scalp EEG, MEG) also contain information

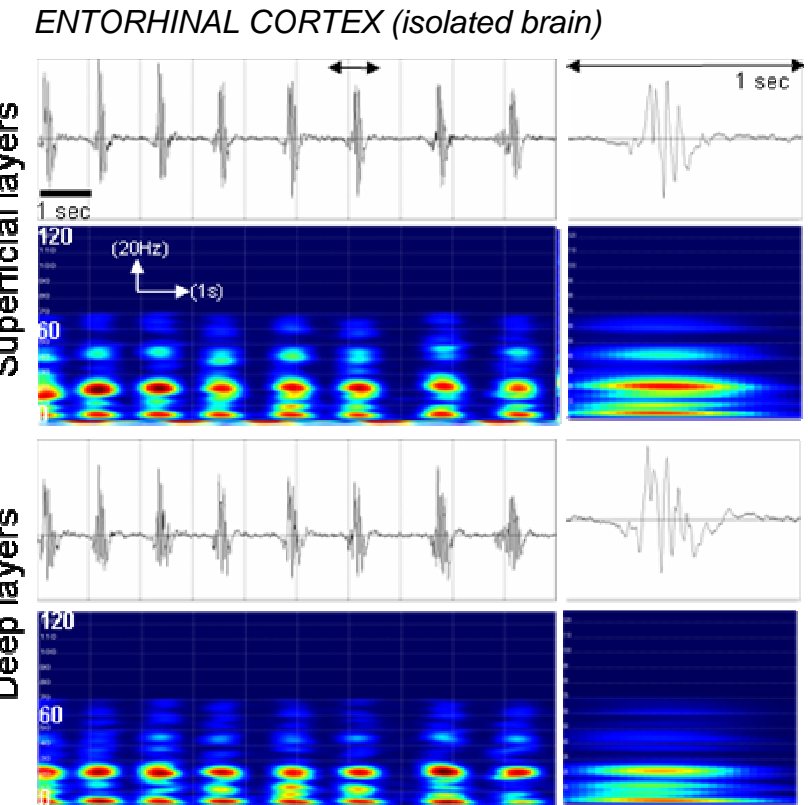
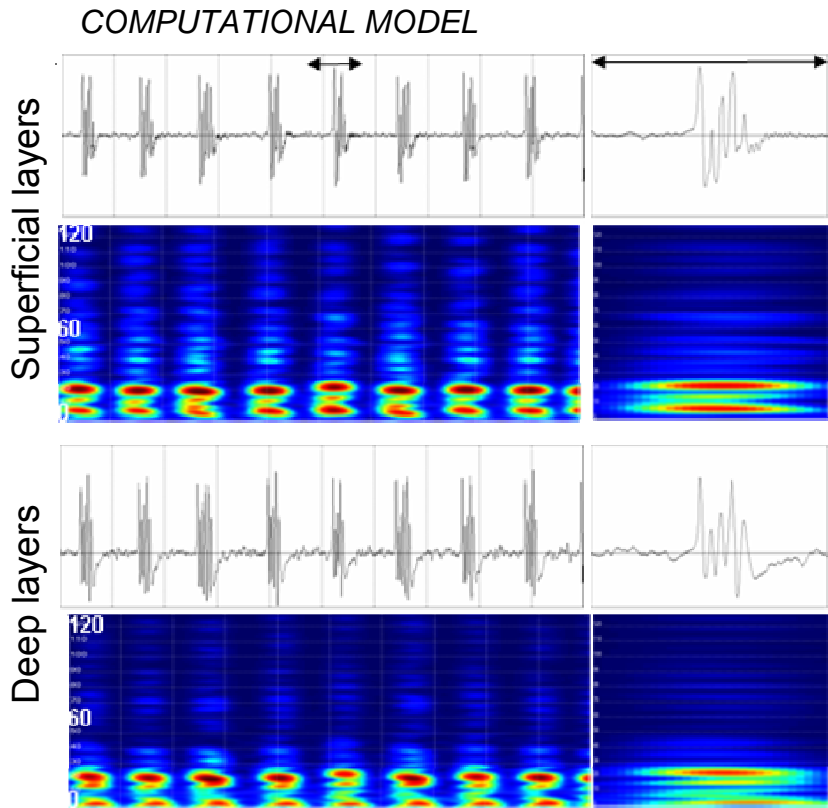
→ Future directions

# 1) Towards « larger scale models » (brain region)

**Objective:** Mesial temporal lobe epilepsy. Role of HIP-EC « closed-loop » system



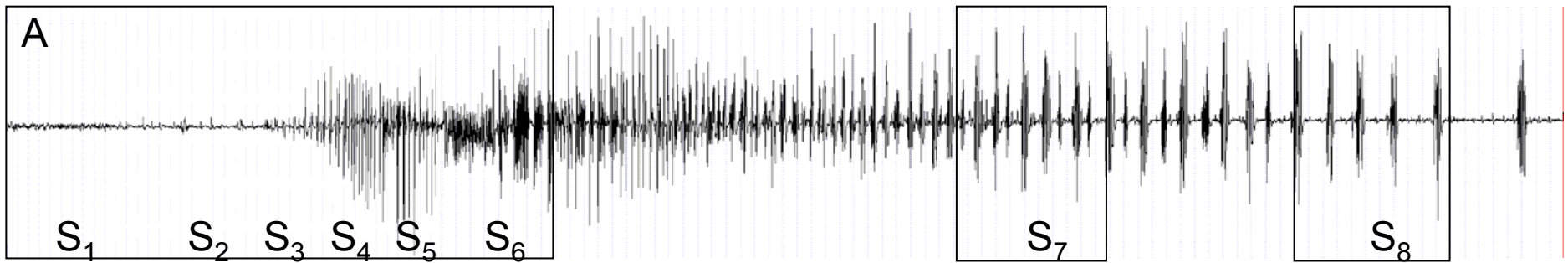
# 1) Entorhinal cortex model and evaluation on experimental data



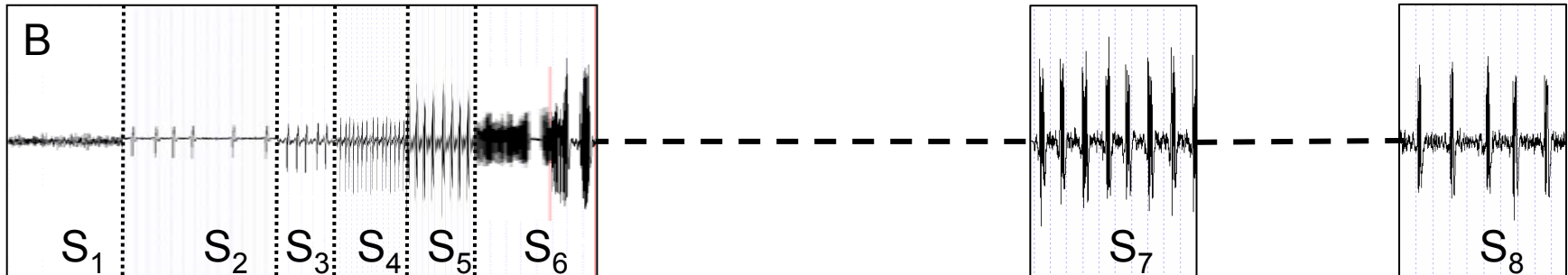
→ Role of inhibition (GABA<sub>A</sub> récepteurs ) // experimental protocol (bicuculline)

# Real vs simulated

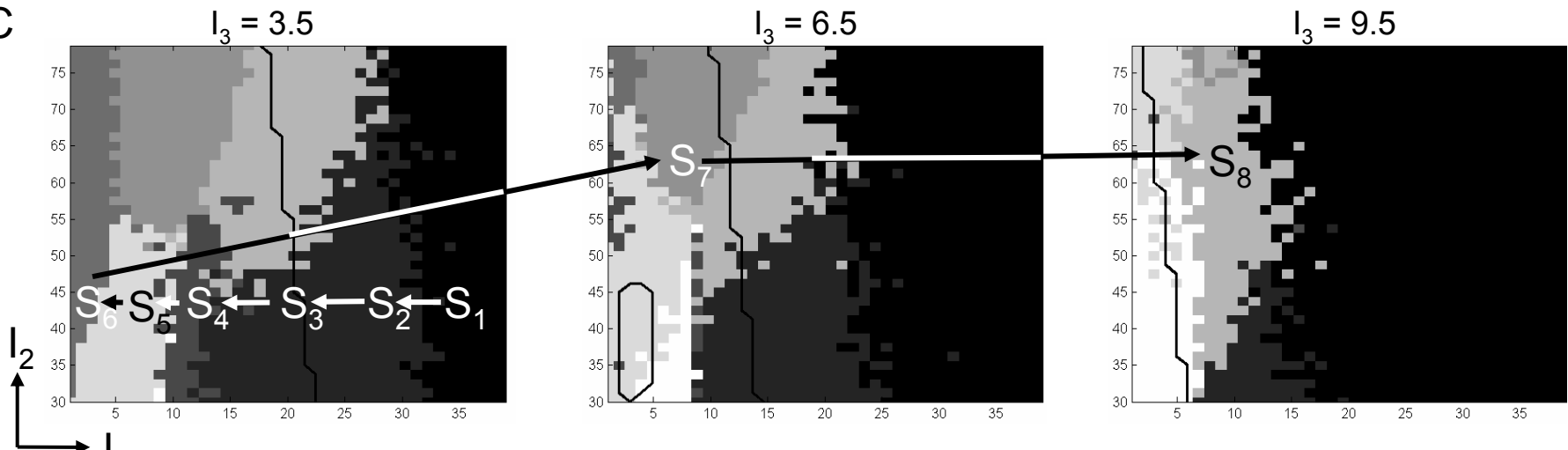
A



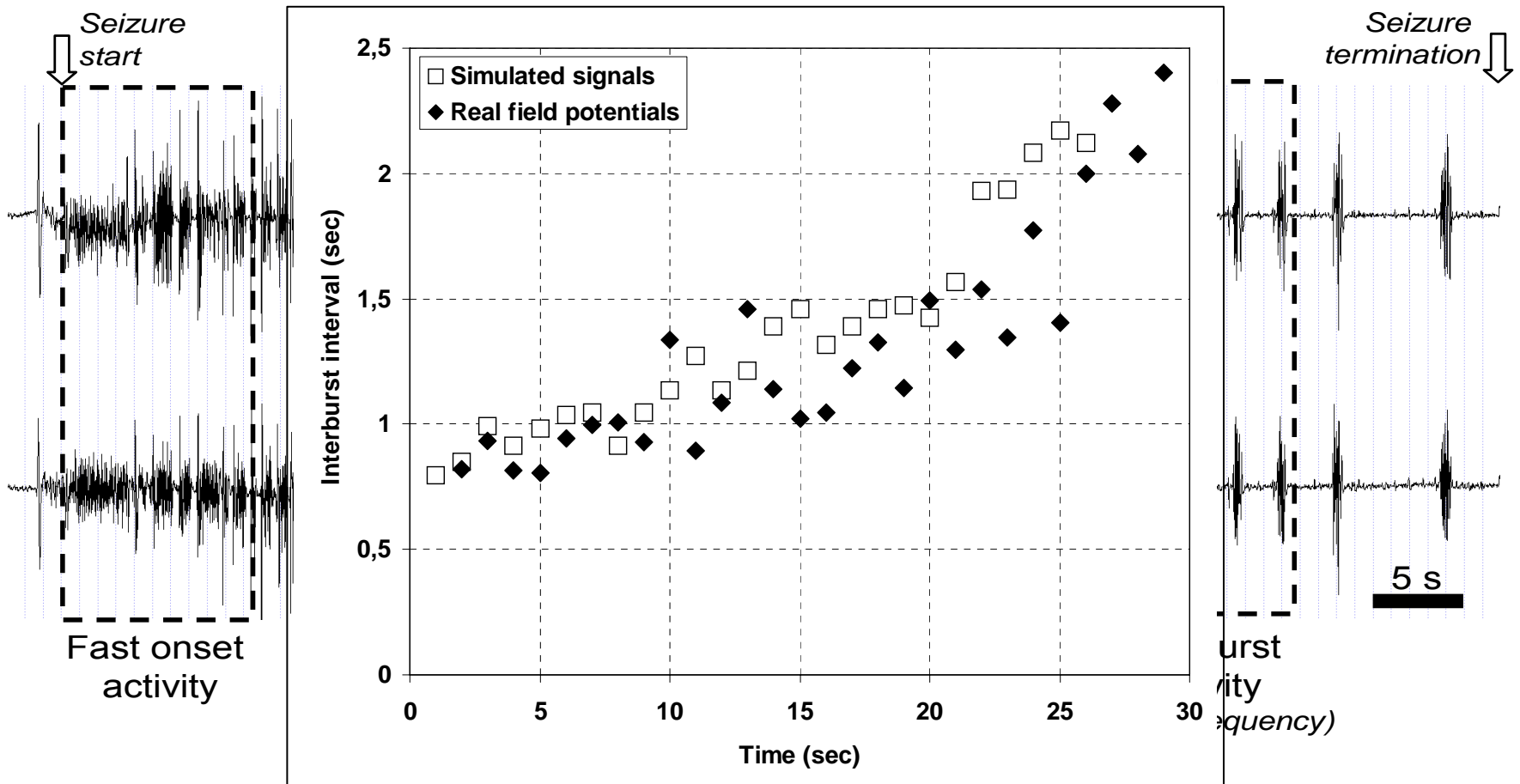
B



C



# Interburst interval



This effect is obtained in the model by a progressive increase of inhibition mediated by GABA<sub>A</sub> receptors.  
To be tested experimentally...

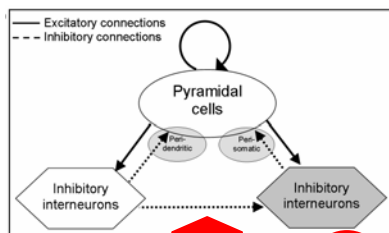
## 2) From population models to detailed models

**Objective :** to interpret observations as a function of subcellular parameters (epilepsy and « channelopathy »)

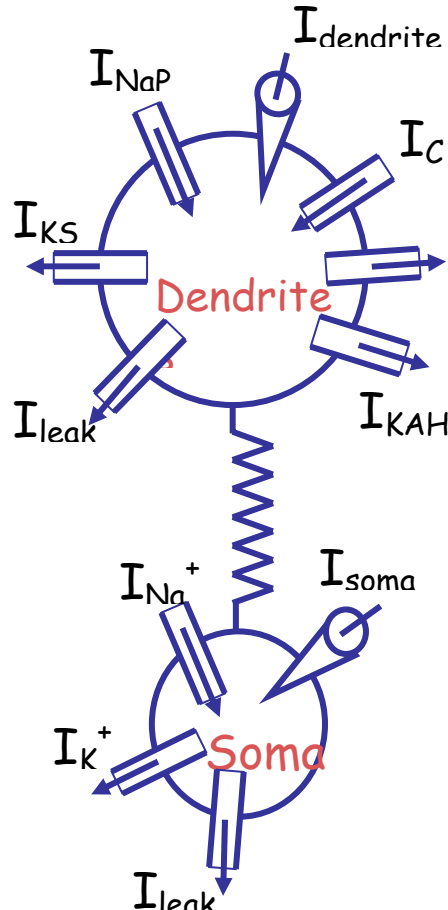
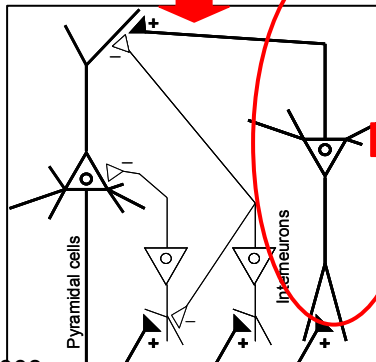
### Methods:

- Detailed models (network)
- Cell level: ion channels (H)

Neuronal population

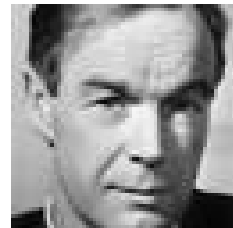
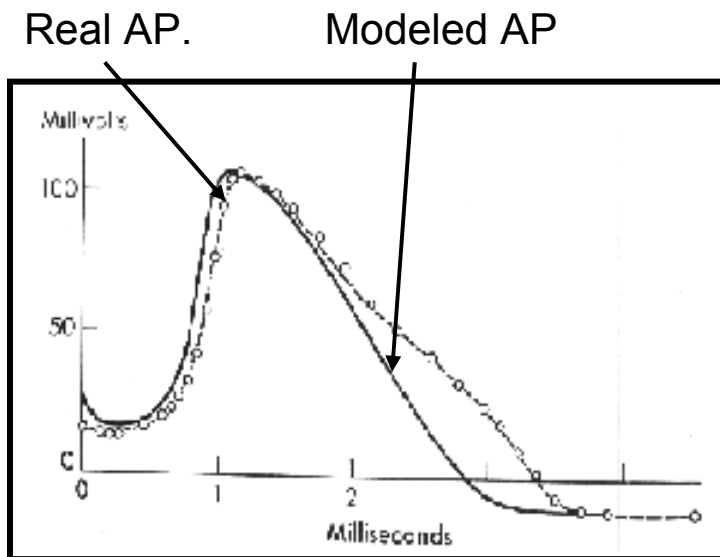


Neuronal networks  
(~ 10<sup>4</sup> Cell.)



# Modèle de Hodgkin-Huxley

- Hodgkin and Huxley theory (1952). Experiments on the giant axon of the squid
- Voltage-dependent Na<sup>+</sup> and K<sup>+</sup> ion channels control the flow of ions through the cell membrane
- Established the NL ordinary differential equations that describe the membrane potential at a given point of the axon (curve-fitting)



Hodgkin AL

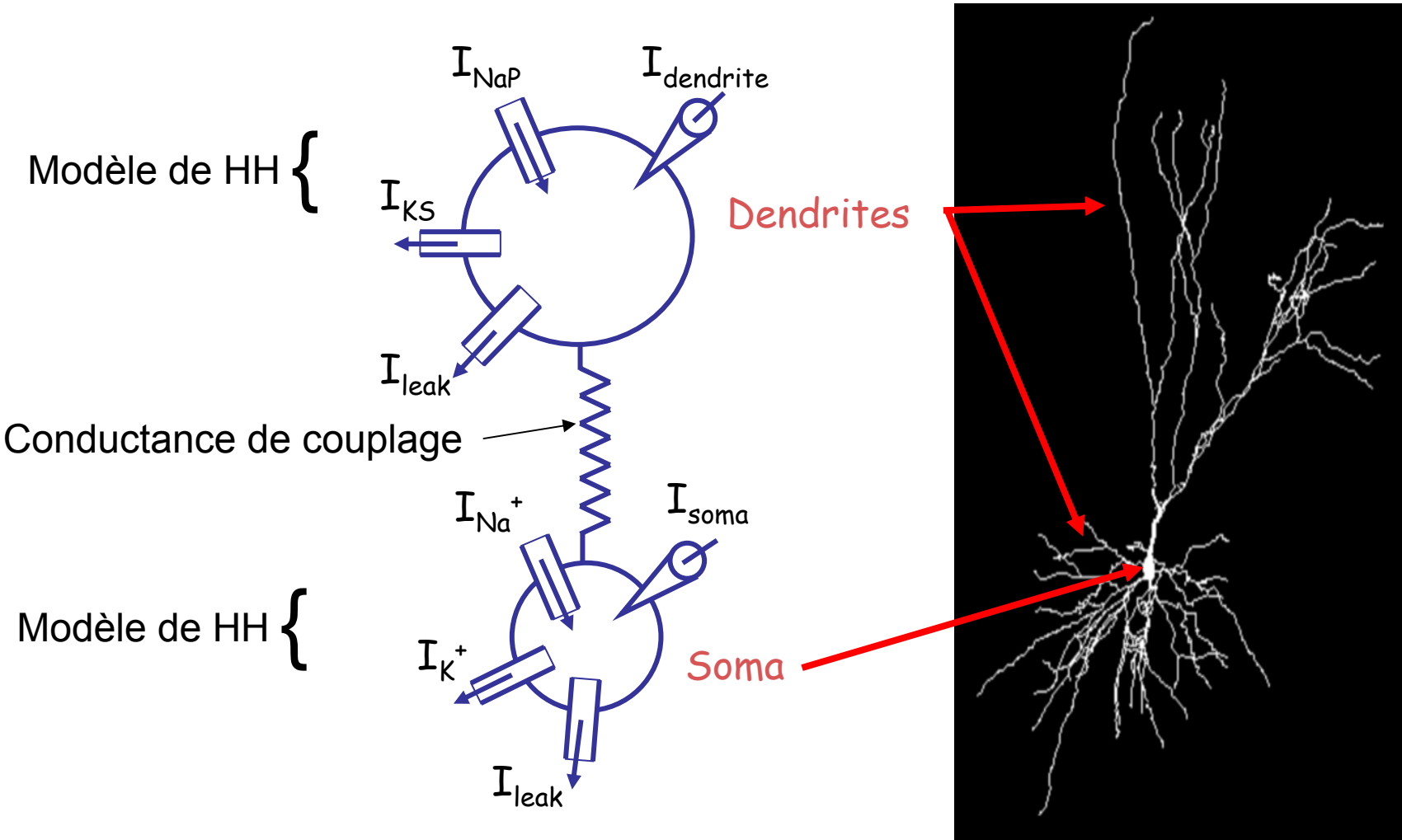


Huxley AF

*A quantitative description of membrane current and its application to conduction and excitation in nerve. Journal of Physiology*  
117: 500-544, 1952

# Modèle compartmental réduit

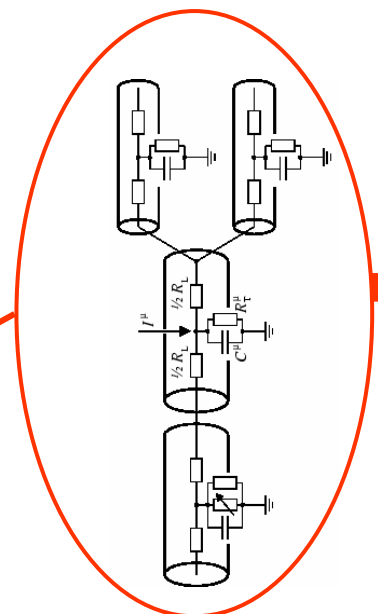
- 2 compartiments : dendritique et somatique
- Présence de canaux spécifiques dans chaque compartiment



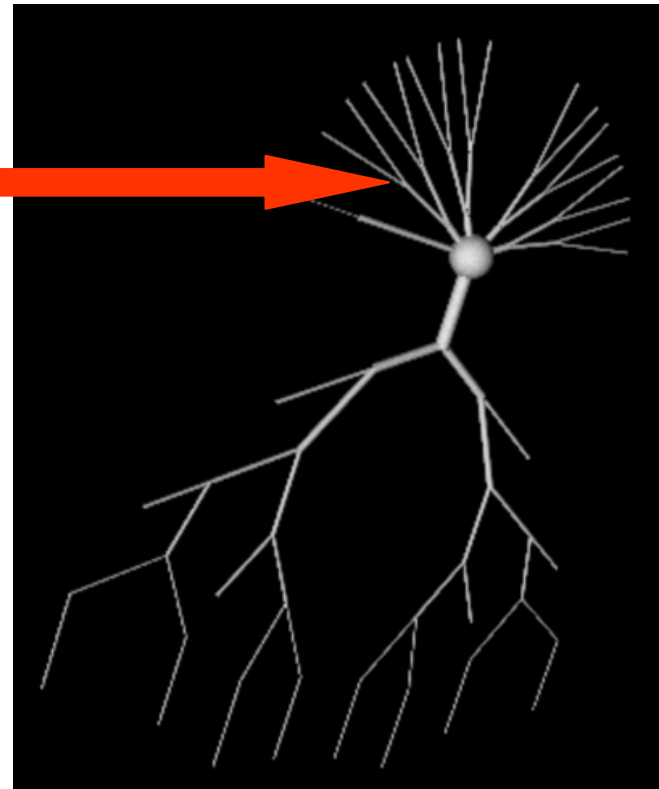
# Modèle compartmental détaillé



Biological CA3 pyramidal cell reconstructed  
Turner et al. (J Comp Neurol, 1993)



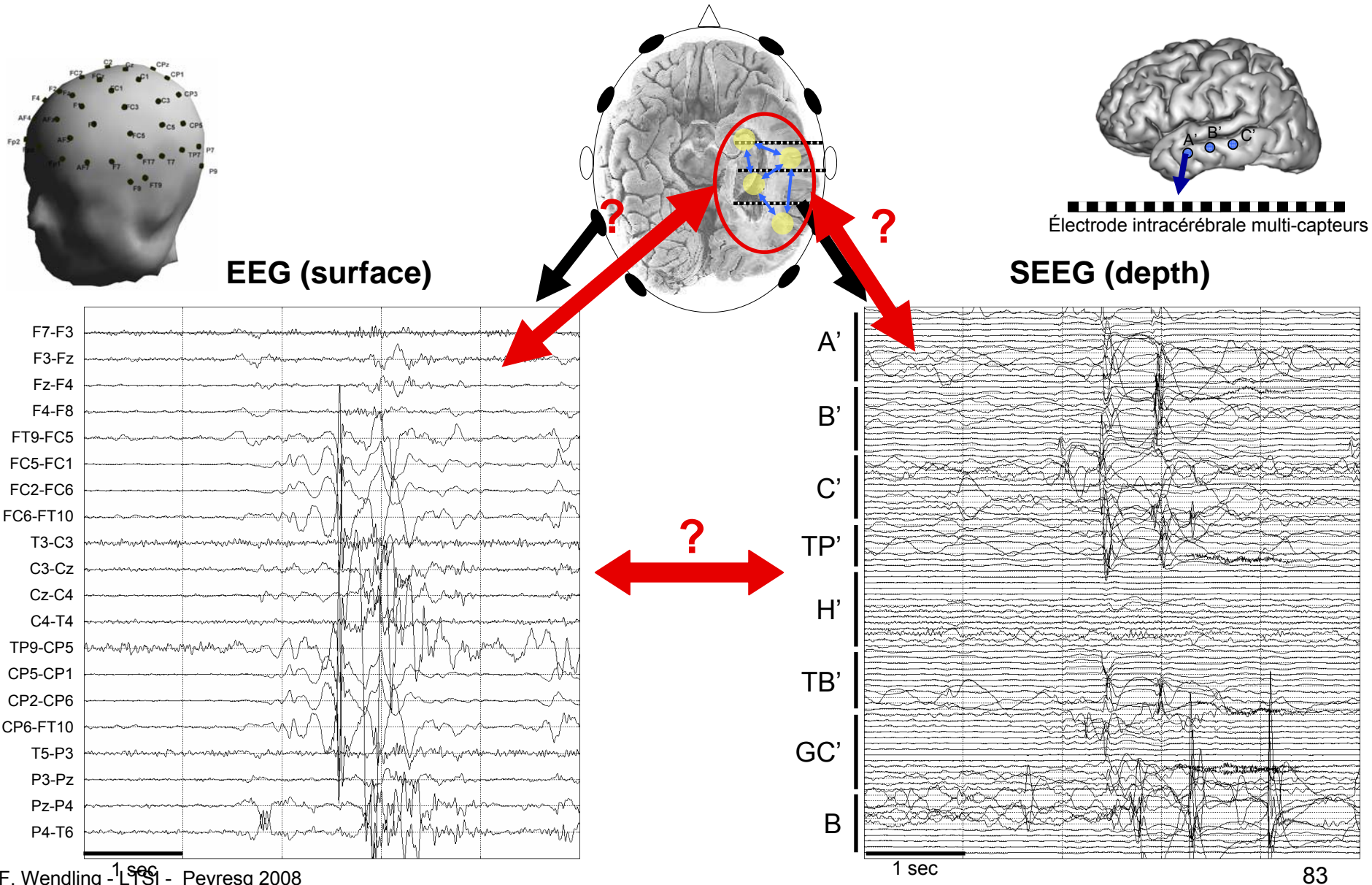
66 compartments



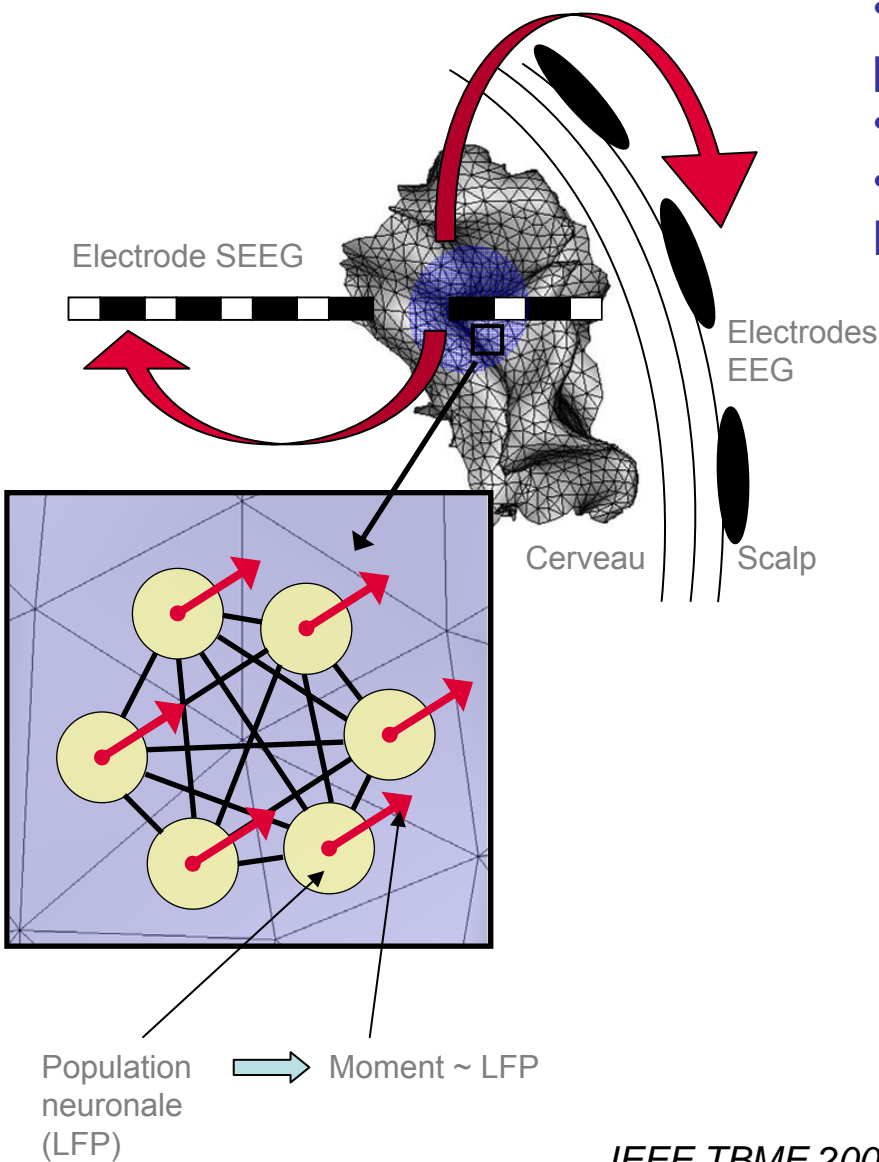
Model CA3 pyramidal cell  
Traub et al. ( J Physiol 1994, 481:79-95)

Adapted from « Introduction to Biophysical Modeling », Neuroengineering Research Laboratory, [University of Pennsylvania](#)

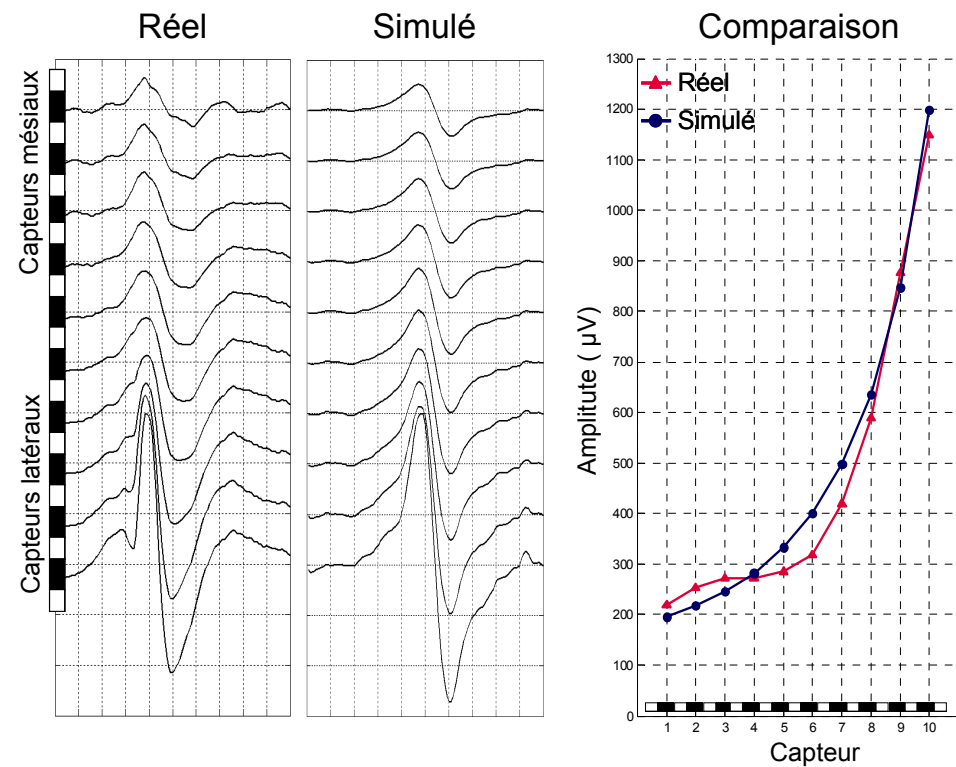
### 3) Relationship between scalp EEG and intracerebral EEG



### 3) Modeling of scalp and intracerebral EEG

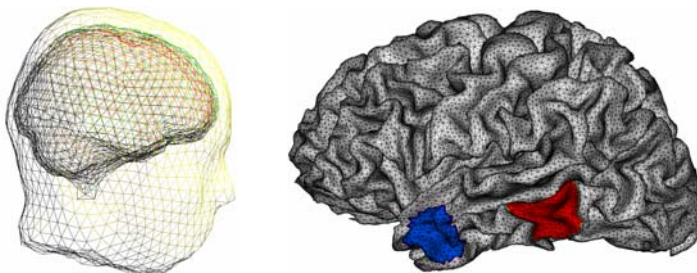


- Source model: **dipole layer + neuronal population model**
- Realistic head model (IRM)
- Electrical potentials : **Forward problem** (sources→sensors)

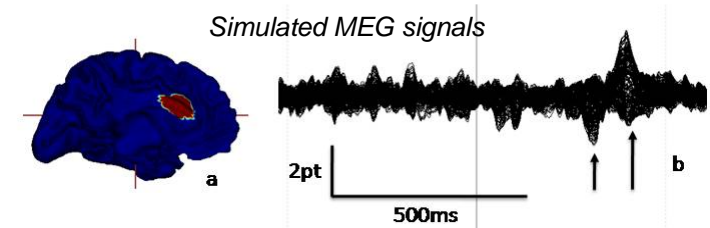
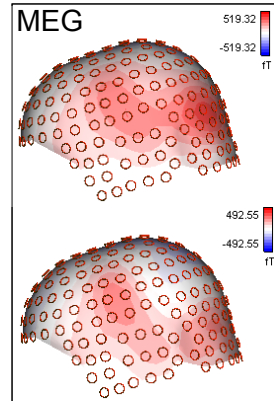
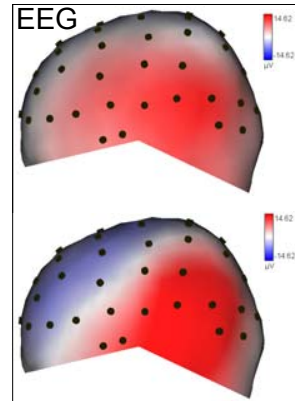


### 3) Work in progress

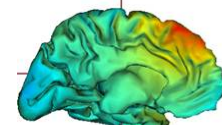
- Parametric study of the model : influence of source parameters related to space and time (extension of sources, position, synchronisation degree)



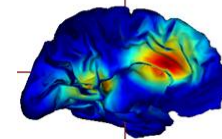
Simulated data (EEG/MEG)



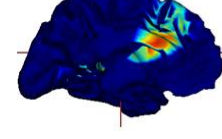
Method 1



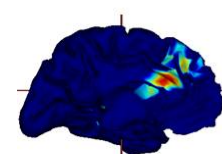
Method 2



Method ...



Method n



Localization results

## Discussion - Conclusion

- “**Epilepsy is a complex dynamical disease**” (F. Lopes da Silva)
- **Approach** combining **signal processing** and **modeling** in order to interpret the observations and to identify some pathological mechanisms
- **Intervalidation** with experimental models is required (intimate link between models and experiments )
- **Open questions**
  - Necessity to develop « multi-scale » approaches
    - Aggregation of variables
    - Dynamical change of modeling level (multi-formalism?)
  - Relationship between neuronal sources of activity and signals collected on sensors (forward problem, biophysics)

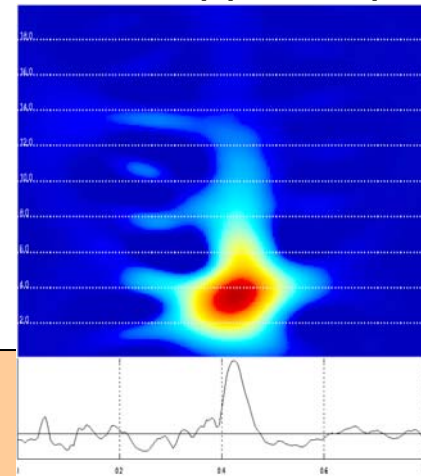
# Conclusion

Les étapes du développement d'un modèle physiologique

## Etape 1 : Observations électrophysiologiques

- Analyse visuelle des signaux
- Caractérisation (TS)
- Classification

Human hippocampus

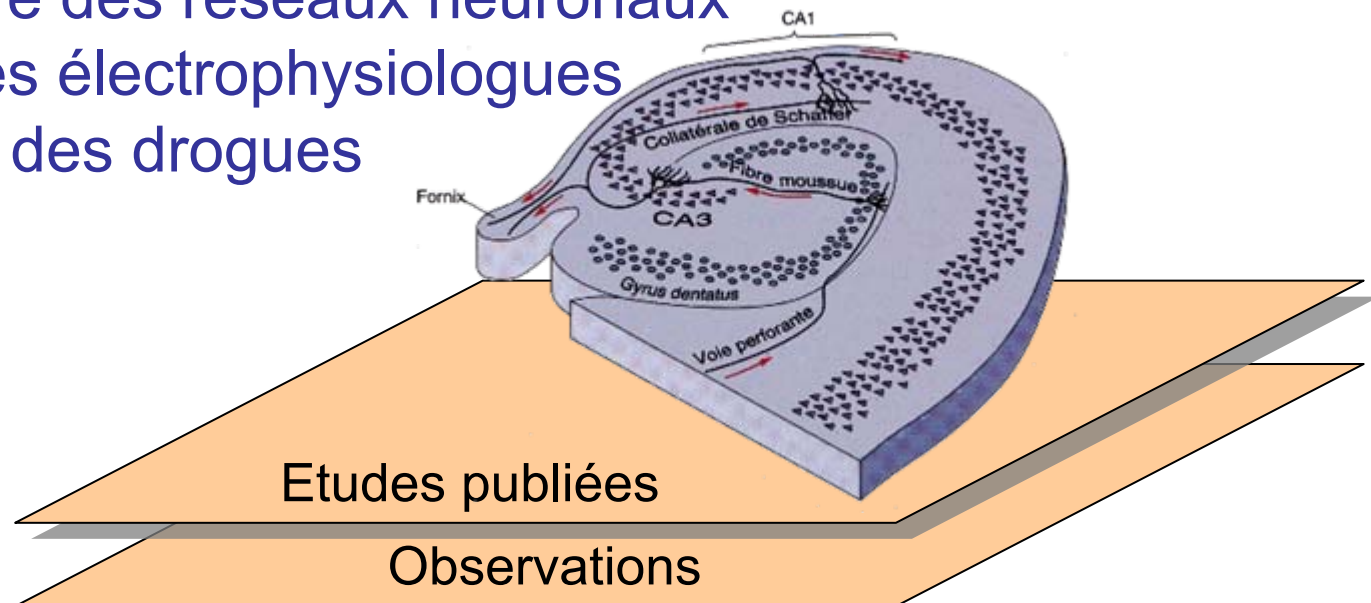


Observations

# *Élaboration d'un modèle*

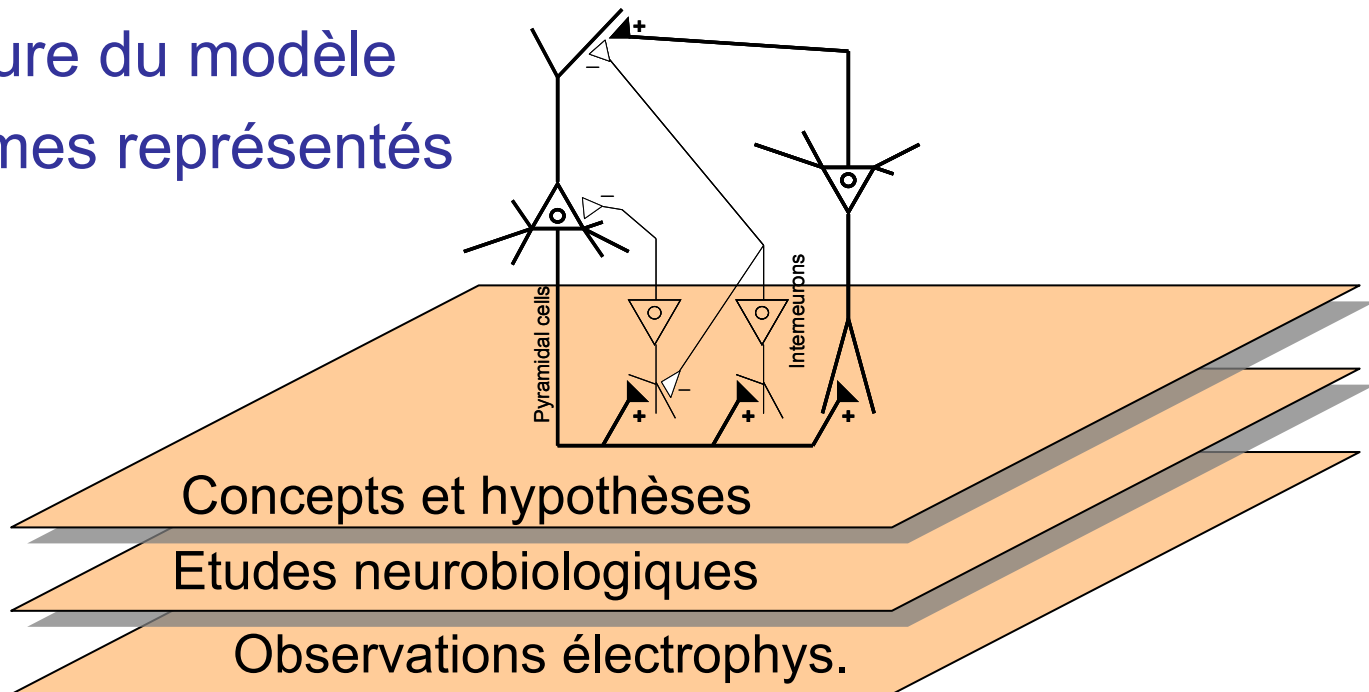
## Etape 2 : Données issues de la littérature

- Neuro-anatomie
- Neurophysiologie
- Structure des réseaux neuronaux
- Données électrophysiologiques
- Actions des drogues



## Etape 3 : Conceptualisation des hypothèses biologiques

- Architecture du modèle
- Mécanismes représentés

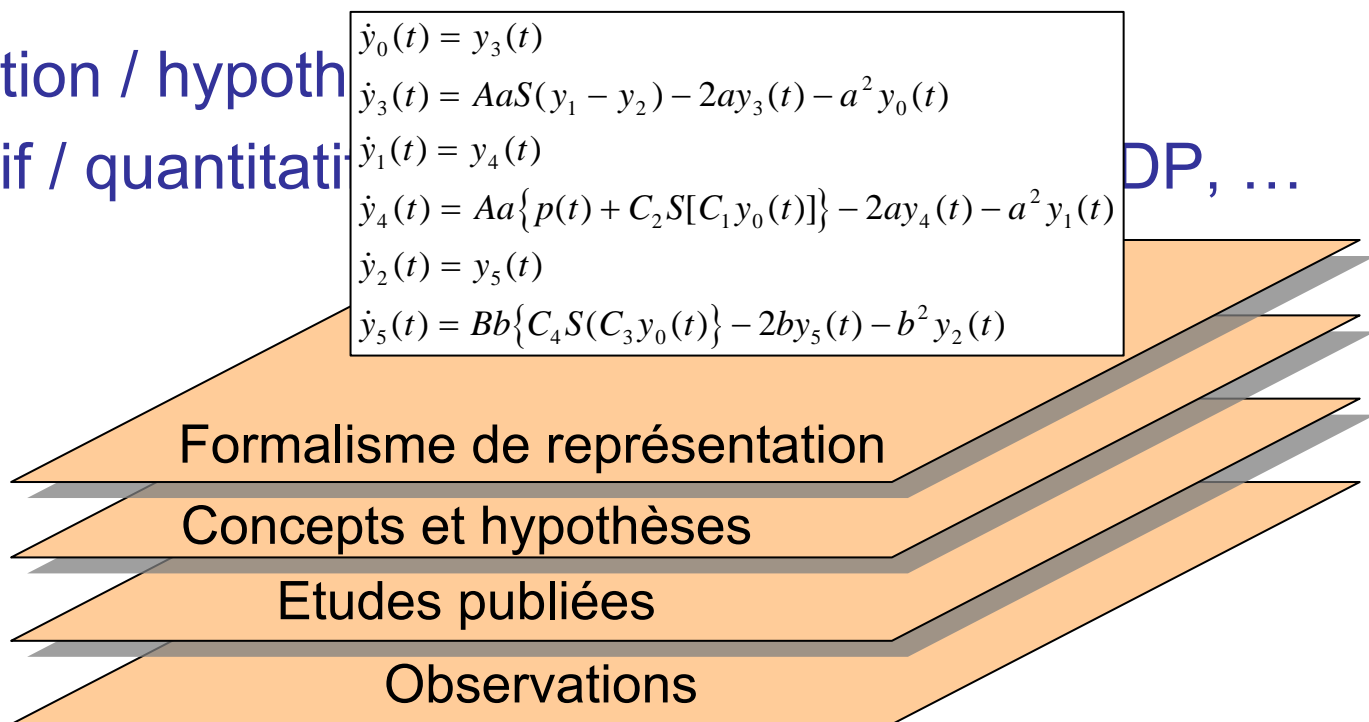


## Etape 4 : Formalisme de représentation du modèle

- Adéquation / hypothèses
- Qualitatif / quantitatifs

$$\begin{aligned}\dot{y}_0(t) &= y_3(t) \\ \dot{y}_3(t) &= AaS(y_1 - y_2) - 2ay_3(t) - a^2 y_0(t) \\ \dot{y}_1(t) &= y_4(t) \\ \dot{y}_4(t) &= Aa\{p(t) + C_2S[C_1y_0(t)]\} - 2ay_4(t) - a^2 y_1(t) \\ \dot{y}_2(t) &= y_5(t) \\ \dot{y}_5(t) &= Bb\{C_4S(C_3y_0(t))\} - 2by_5(t) - b^2 y_2(t)\end{aligned}$$

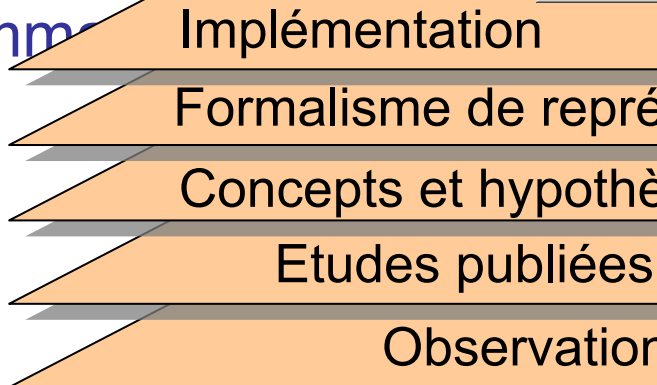
DP, ...



# Élaboration d'un modèle

## Etape 5 : Implémentation informatique

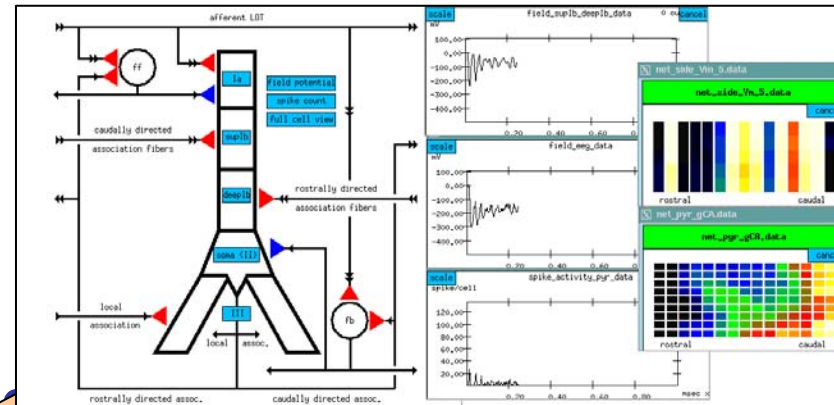
- Choix d'un environnement
- Plusieurs outils déjà disponibles  
Genesis
- Programmation



```
/* pyrCellPRmod.h created by wendling on Fri 31-Mar-2006 */  
  
typedef struct  
{  
    /* currents */  
    float I_Na;  
    float I_K;  
    float I_NaP;  
    float I_KS;  
    float I_leak_s;  
    float I_leak_d;  
  
    float I_soma;  
    float I_dendrite;  
  
    /* membrane capacitance */  
    float Cm;  
  
    /* compartment coupling parameter */  
    float p;  
  
    /* dynamic gate equations */  
    float m_inf;  
    float l_inf;  
    float q_inf;  
    float tau_q;  
  
    float alpha_h;  
    float alpha_n;  
    float beta_h;  
    float beta_n;  
  
    /* Equilibrium potentials and conductances */  
    float E_leak;  
    float E_Na;  
    float E_K;  
  
    float g_leak;  
    float g_Na;  
    float g_K;  
  
    float g_c;  
    float g_NaP.
```

## Etape 6 : Simulation

- Accès aux paramètres
- données comparées



Simulation

Implémentation

Formalisme de représentation

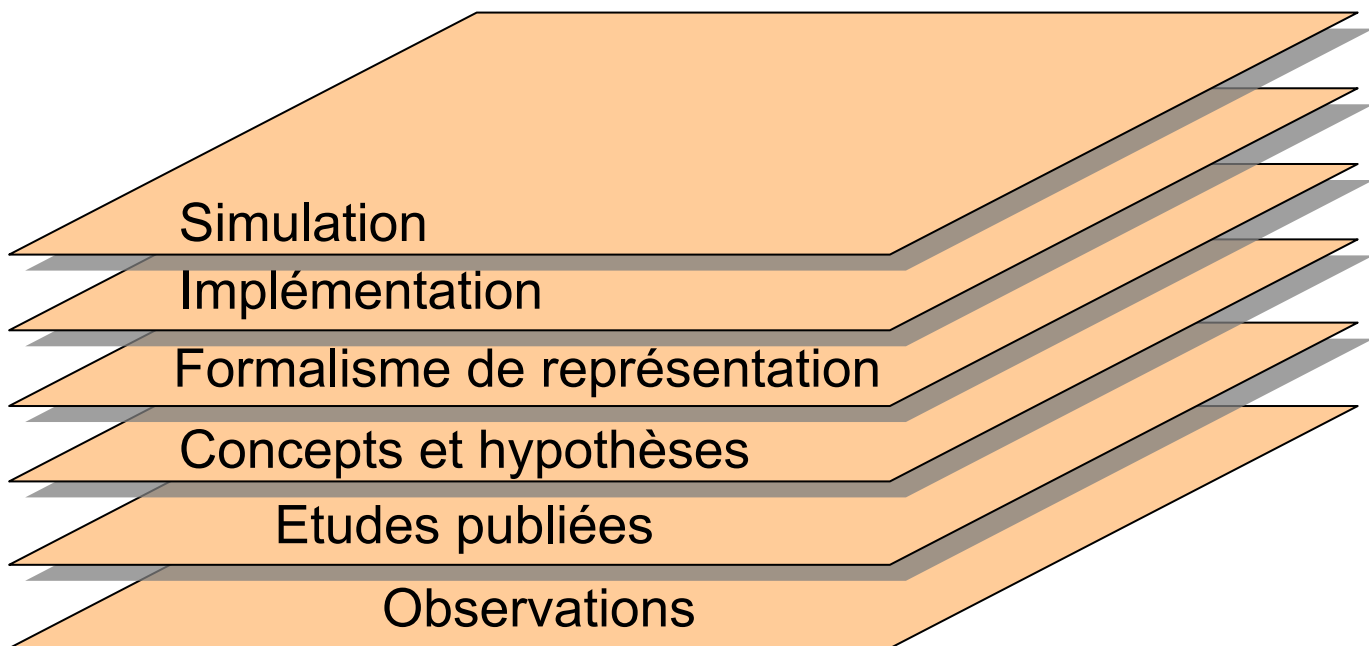
Concepts et hypothèses

Etudes neurobiologiques

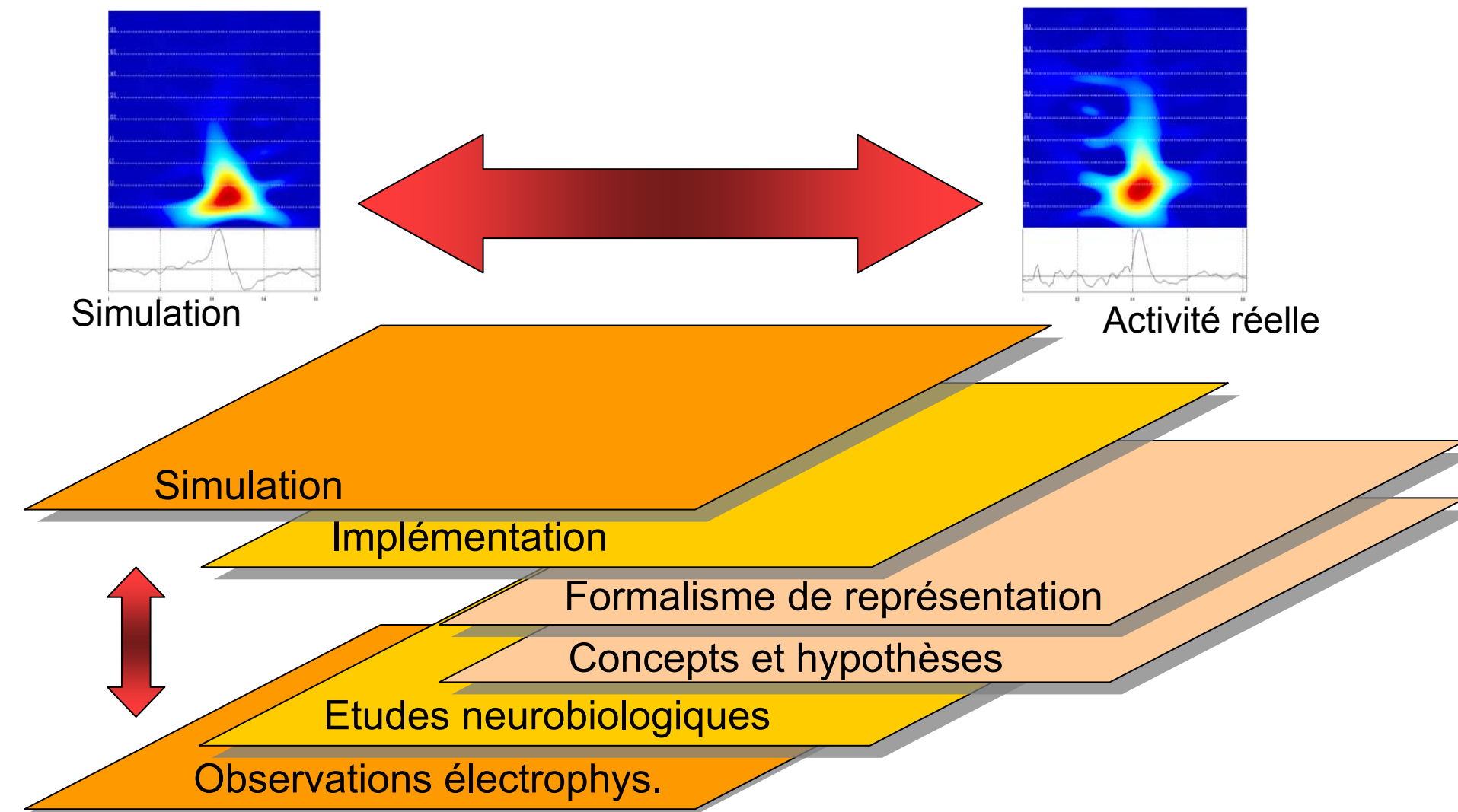
Observations électrophys.

# *Élaboration d'un modèle*

---

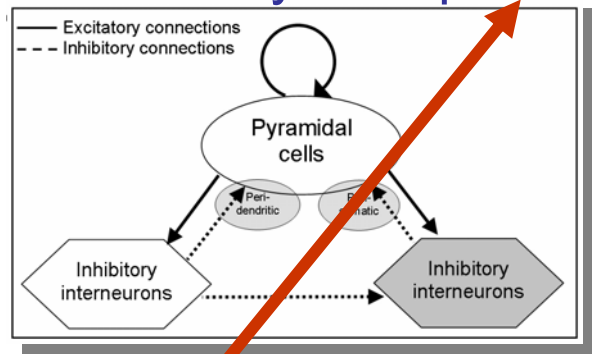


# Élaboration d'un modèle

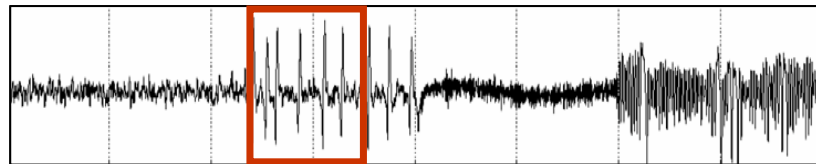


- Analyse et interprétation / paramètres du modèle
- Génération d'hypothèses et validation

## Modèles dynamiques

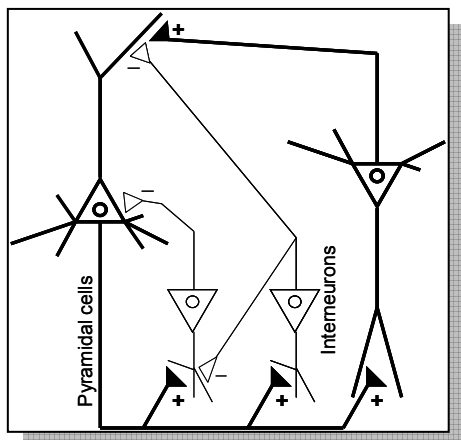


## Simulations



Traitement du signal  
Optimisation

Interprétation  
physiopathologique



Tissu neuronal

Activités épileptiques

Merci pour votre attention...